## UNIVERSIDADE ESTADUAL DE CAMPINAS FACULDADE DE ENGENHARIA ELÉTRICA DEPARTAMENTO DE COMUNICAÇÕES

	and the second s	or a state of the	INC POSSESSES CONTRACTOR	System of the same
	5 S & 160	as final	da	tese
Este exemple: Objection		52 (2) \$ 23 126 <b>4</b>	/	-
	César C	JUARIL	do	
defendida de Elvio		1	NAME OF STREET	AUDIO CONTRACTOR AND
State	er en en en en ele	. with (	Con	ssão
	17 1 1 1 1 1 1 1 1 1 1 1 1 1 1 1 1 1 1	a - 3250 a 646 - 1	hyprine 7 A C	
Section of the sectio	0 95	7)		- (A)
Julgadora - Ott O	× />	.· //		19.72
O. C.	W.	/	1	
I and the second	$\mathcal{M}_{\alpha}$	e freezenin	~~~	3.5
	JULY	Murri 3	(	S-3
		1	ħ .	3 . 汉太操有
<b>1</b> /4/5				

SISTEMA DE TRANSMISSÃO DIGITAL {QAM}<sup>2</sup>

Elvio César Giraudo Orientador : Rege Romeu Scarabucci

Tese de Doutorado apresentada à Faculdade de Engenharia Elétrica da Universidade Estadual de Campinas, como parte dos requisitos exigidos para a obtenção do título de DOUTOR EM ENGENHARIA ELÉTRICA.

Fevereiro 1994

DISLOCAMP DISLOCAMENTAL

À minha esposa,

Maria Cristina

Aos meus pais,

Maria Rosa e Elvio Osvaldo

Ao meu irmão

Osvaldo Daniel

### **SUMÁRIO**

Este trabalho tem como finalidade mostrar uma alternativa de transmissão-recepção digital visando melhorar a eficiência e o desempenho em sistemas de modulação digital. Neste sentido, propomos o sistema chamado  $\{QAM\}^2$  que basicamente, consiste na transmissão de duas constelações QAM de forma superposta. O sistema  $\{QAM\}^2$  apresenta ganhos com respeito aos sistemas QAM convencionais para  $\Delta f < r_s/2$ , onde  $r_s$  [símbolo/s] é a taxa de símbolos de canal, e  $\Delta f$  [Hz] é o grau de afastamento das portadoras dos dois sinais QAM superpostos.

Realizou-se uma análise de desempenho e de eficiência espectral de tal sistema, estudando-se também aspectos relativos à sua sincronização.

O sistema {QAM}<sup>2</sup> apresenta a particularidade de não precisar aumentar a largura de banda do canal de transmissão, nem alterar a taxa de bits de informação quando comparado com os sistemas QAM convencionais.

#### **SUMMARY**

This work shows a new technique for digital transmission that enhances bit error performance and spectral efficiency. The new technique, called {QAM}<sup>2</sup>, is a method of transmitting two digital QAM signals using overlapping bandwidths, namely the transmission of two QAM constellations with common spectrum.

The  $\{QAM\}^2$  system shows better performance when compared with conventional QAM for  $\Delta f < r_S/2$ , where  $r_S$  is the symbol rate and  $\Delta f$  is the frequency separation between the two QAM carriers.

In this work error performance and spectral efficiency of the {QAM}<sup>2</sup> system are analyzed; synchronization studies show that signal to noise ratio gains of the {QAM}<sup>2</sup> system are maintained by means of phase follow-up in the {QAM}<sup>2</sup> receiver.

#### **AGRADECIMENTOS**

Ao Prof. Dr. Rege Romeu Scarabucci, pela sua orientação, conselhos e apoio neste trabalho, e pela sua amizade.

À CAPES e FAPESP, pelo apoio financeiro.

A banca de tese, formada pelos Profs.: Prof. Dr. Paul Jean Etienne Jeszensky, Prof. Dr. Weiler Alvez Finamore, Prof. Dr. Reginaldo Palazzo Jr. e pelo Prof. Dr. Renato Baldini Filho e pelas correções apontadas e importantes sugestões.

Ao Prof. Dr. Vinícius Amaral Armentano pela viabilização do suporte computacional.

Ao Engº Carlos Caballero Petersen, pelas discussões e viabilização do uso do suporte computacional MATEMÁTICA.

Ao Airton Ramos, pelos serviços de desenhos.

As secretárias Maria Lucia Costa Cardoso e Marcia Helena Gibim, pelo suporte de secretaria.

E, em especial, à minha esposa Maria Cristina Balamaceda de Giraudo, pelo companheirismo, pela compreensão e pelo apoio neste doutorado.

# ÍNDICE

CAPÍTULO 1	
INTRODUÇÃO	
1.1. Visão Geral da Área	1
1.2. Finalidade da Tese	2
1.3. Estrutura da Tese	2
CAPÍTULO 2	
REVISÕES QAM e TCM	
2.1. Sinal QAM	4
2.2. Transmissor e Receptor QAM	6
2.3. Ruído AWGN de Banda Estreita	11
2.4. Canal Linear de Banda Limitada	12
2.5. Eficiência de Transmissão	15
2.6. Sinal e Ruído no Receptor QAM	19
2.7. Potência Média do Ruído no Receptor QAM	21
2.8. Desempenho dos Sistemas QAM	23
2.9. Revisão de Modulação Codificada	27
2.9.1. Modulação Codificada usando Cógidos Convolucionais (TCM)	35
CAPÍTULO 3	
SISTEMA DE TRANSMISSÃO DIGITAL {QAM} <sup>2</sup>	
3.1. Sistema {QAM} <sup>2</sup>	46
3.1.1. Análise do Circuito tipo γ	50
3.1.2. Análise do Circuito tipo β	52
3.1.3. Sinal e Ruído no Receptor {QAM} <sup>2</sup>	53
3.2. Potência Média do Ruído no Receptor {QAM} <sup>2</sup>	60
CAPÍTULO 4	
GENERALIZAÇÃO DO SISTEMA DE TRANSMISSÃO {QAM} <sup>2</sup>	
4.1. Sistema Geral {QAM} <sup>2</sup>	71
4.2. Sistema $\{QAM-4\}^2$	75

4.3. Sistema (QAM-16) <sup>2</sup>	78
4.4. Sistema {QAM-64} <sup>2</sup>	83
4.5. Sincronização do Sistema {QAM}2	89
CAPÍTULO 5	
DISCUSSÃO GERAL SOBRE OS SISTEMAS {QAM} <sup>2</sup>	
5.1. Análise dos Resultados	98
5.2. Características Gerais do Sistema {QAM} <sup>2</sup>	100
5.2.1. Simplicidade do Transmissor	100
5.2.2. Simplicidade do Receptor	100
5.2.3. Ganhos em relação ao Sistema QAM	102
5.2.4. Ganho Assintótico	102
5.2.5. Não há necessidade de Codificação	103
5.2.6. Problemas de Sincronização	103
5.2.7. Um Exemplo Prático	105
5.3. Comparação do Sistema {QAM} <sup>2</sup> com o Sistema TCM	108
5.4. Sugestões para Futuras Pesquisas	109
APÊNDICES	
APÊNDICE A	
Solução Geral das Integrais	111
APÊNDICE B	
Solução das Integrais	116
APÊNDICE C	
Transformada de Hilbert	129
APÊNDICE D	
Programas Computacionais	132
REFERÊNCIAS BIBLIOGRÁFICAS	135

### **CAPÍTULO 1**

# INTRODUÇÃO

#### 1.1 Prefácio

Os sistemas básicos de transmissão-recepção digitais, tais como por exemplo os sistemas QAM, PSK, FSK etc., encontram-se operando tanto nos limites de suas capacidades de potência como em suas bandas de ocupação. Na tentativa de melhorar a eficiência destes sistemas, inevitavelmente deve-se renunciar a um parâmetro para fortalecer o outro. Como por exemplo o compromisso que existe entre taxa de bits de informação e largura de banda de ocupação, quando trata-se de sistemas codificados.

Para solucionar este problema, vão-se modificando as estruturas dos sistema básicos de transmissão a tal ponto de se achar uma solução compatível com o grau de complexidade e a função desejada dos mesmos a fim de se obter sistemas mais eficientes.

Por exemplo, uma modificação que unifica o processo de codificação e modulação [1, 2, 3] é a chamada Modulação Codificada. Este sistema, apresenta ganhos sobre os sistemas não codificados, porém, sem alterar a banda.

Outro método que atinge desempenho perto do ideal na demodulação coerente dos sistemas PSK e QAM, utiliza decisão realimentada por recuperação de portadora e integração sobre poucos símbolos [4].

No campo das comunicações ópticas coerentes, um melhor aproveitamento do canal de banda limitada mediante polarizações independentes dentro da fibra óptica, conduz a obter-se melhoria no desempenho comparado com os sistemas convencionais. Uma forma é modular os vértices de um poliedro regular inscrito na esfera de Poincaré [5] do campo eletromagnético dentro da fibra monomodo. Uma outra forma é representar o campo eletromagnético por um vetor quadridimensional, cujas componentes são os termos em fase e em quadratura de duas polarizações do campo elétrico [6].

Usando a modulação em quadratura do campo óptico [6], Cusani, Iannone, Salonico e Todaro [7] propõem representar os sinais nestes campos ortogonais através de um reticulado de pontos [7]. Assim obtem-se uma diminuição da largura de banda em relação aos sistemas convencionais.

Um esquema de modulação eficiente é apresentado em [8], com o nome de Q<sup>2</sup>PSK (quadrature-quadrature phase shift keying). Este esquema utiliza formas de pulsos em bandabásica de informação ortogonais para serem modulados com portadoras em quadratura. Consegue-se assim sinais nos vértices de um hipercubo 4-dimensional. Desta

forma obtêm-se um incremento da eficiência de banda em relação aos esquemas de modulação 2-dimensionais. Por outro lado a probabilidade de erro de bit depende da escolha dos pulsos.

Uma alternativa de transmissão digital, visando melhorar o desempendo dos sistemas é o apresentado neste trabalho com o nome de Sistema {QAM}<sup>2</sup>. Este nome deriva da tentativa de transmitir dois sistemas QAM-m em forma superposta ao invés de se transmitir uma constelação de maior ordem, como a de um sistema QAM-M, onde

$$M = m^2$$

M número de símbolos de canal do sistema QAM simples

m número de símbolos de canal do sistema QAM superposto

como por exemplo, ao invés de se transmitir um sistema QAM-256, propõe-se usar o sistema {QAM-16}<sup>2</sup>.

O grau de afastamento das portadoras dos dois sistemas QAM-m superpostos permite obter alguns ganhos sobre os sistemas QAM convencionais. Este sistema apresenta interesse por não alterar a largura de banda de ocupação nem modificar a taxa de bits de informação em relação aos sistemas QAM convencionais.

#### 1.2 Finalidade do Trabalho

O objetivo deste trabalho é apresentar uma outra forma de melhorar a eficiência do sistema QAM, sem sacrificio da taxa de informação nem da largura de banda de ocupação. Neste caso o sinal é submetido unicamente a modulação, não se utilizando de codificação.

O sistema {QAM}<sup>2</sup> consiste fundamentalmente em transmitir dois sinais QAM superpostos com um certo afastamento entre suas portadoras. No receptor, separam-se os sinais de cada constelação mediante um adequado "hardware", obtendo-se ganhos sobre o sistema não superposto.

#### 1.3 Estrutura do Trabalho

O trabalho desenvolvido está apresentado em 5 capítulos.

No Capítulo 2 realiza-se uma revisão em profundidade do sistema de transmissão digital QAM de faixa estreita. Realiza-se também uma revisão do sistema TCM.

No Capítulo 3 apresenta-se o estudo teórico do sistema de transmissão {QAM}<sup>2</sup>, com ênfase na descrição do seu funcionamento e na análise da potência de ruído nos estágios de decisão.

Várias integrais são resolvidas, cujas soluções encontram-se nos Apêndices A e B.

No Capítulo 4 mostra-se o confronto do Sistema {QAM}<sup>2</sup> com os sistemas convencionais QAM. Resultados de eficiência e de desempenho são mostrados. Realiza-se também uma análise da sincronização do sistema.

No Capítulo 5 apresentam-se aplicações práticas do Sistema {QAM}<sup>2</sup> e problemas de implementação. Compara-se também o Sistema {QAM}<sup>2</sup> com o sistema TCM. Apresentam-se as conclusões deste trabalho e sugestões para sua continuação.

### **CAPÍTULO 2**

### REVISÕES QAM E TCM

Neste capítulo são feitas duas revisões. A primeira delas é sobre sistemas QAM, onde se considera a transmissão QAM por um canal de banda limitada, perturbado pelo ruído aditivo gaussiano branco (AWGN "aditive white Gaussian noise"). A segunda revisão trata de modulação codificada, com um exemplo sobre QAM-8.

### 2.1 Sinal QAM

Um dos sistemas de transmissão utilizados no campo das comunicações digitais é o sistema QAM ("quadrature amplitude-modulation") [9].

Este sistema modula a amplitude e a fase de uma portadora contínua, de modo a construir M formas de onda distintas, onde

A modulação de amplitude e de fase é feita de forma discreta, cujas combinações correpondem aos M símbolos que o sistema pode transmitir.

Cada símbolo é enviado pelo canal de transmissão em intervalos de  $T_{\rm S}$  segundos, onde

$$T_{S}$$
 [s] é o tempo de duração de cada símbolo (2.2)

De forma genérica a portadora modulada é dada por

$$s(t) = A_k \cos[2\pi f_p t + \theta_k]$$
(2.3)

onde

s(t) são as M formas de onda distintas (2.4)
$$A_k \quad \text{\'e a função envolt\'oria do k\'esimo símbolo} \qquad (2.5)$$

$$f_p \quad \text{\'e a frequência da portadora} \qquad (2.6)$$

$$\theta_k$$
 denota a fase de s(t) para o késimo símbolo (2.7)

A equação (2.3) é válida para  $0 \le t \le T_s$ .

Considera-se que as componentes de frequência ocupadas por s(t) estão confinadas na banda de passagem

$$V [Hz]$$
 (2.8)

Também é considerado que

$$V \ll f_{D} \tag{2.9}$$

ou seja s(t) é um sinal tipo passabanda de faixa estreita.

Pode-se expandir na equação (2.3) o coseno da soma, obtendo-se

$$s(t) = A_k \cos \theta_k \cos 2\pi f_p t - A_k \sin \theta_k \sin 2\pi f_p t$$

$$= X_k \cos 2\pi f_p t - Y_k \sin 2\pi f_p t \qquad (2.10)$$

onde

$$X_k = A_k \cos \theta_k$$
 é a componente em fase de s(t) (2.11)

$$Y_k = A_k sen\theta_k$$
 é a componente em quadratura de s(t) (2.12)

Estas duas últimas expressões ficam relacionadas com  $A_k$  e  $\theta_k$  da seguinte forma

$$A_{k} = \sqrt{X_{k}^{2} + Y_{k}^{2}} \tag{2.13}$$

$$\theta_{k} = \operatorname{arc} \operatorname{tg} \left[ \frac{Y_{k}}{X_{k}} \right] \tag{2.14}$$

$$A_k \exp[j\theta_k] = X_k + jY_k \tag{2.15}$$

onde a expressão (2.15) é chamada de envoltória complexa de s(t).

Tanto  $X_k$  como  $Y_k$  possuem suas componentes de frequência nas regiões baixas do espectro. É por isso que  $X_k$  e  $Y_k$  são chamadas de sinais equivalentes passa-baixas.

O plano ocupado por  $X_k$  e  $Y_k$  pode ser chamado de diagrama de sinais. Na Fig. 2.1, mostra-se o diagrama de sinais do sistema QAM, para M=4, 8, 16, 32, 64 e 128, onde

Define-se a potência média de uma constelação QAM como o valor médio esperado sobre a distribuição estatística do quadrado dos sinais QAM, isto é,

$$S = \left\langle A_k^2 \right\rangle = \frac{1}{2M} \sum_{k=1}^{M} \left[ X_k^2 + Y_k^2 \right]$$
 (2.17)

No caso em que o valor de M é potência de 2, a expressão (2.17) é convertida para

$$S = \frac{M-1}{3}d^2$$
 (2.18)

Na Tabela 2.1, calculam-se as potências médias da constelação QAM, para

$$M = 2^n;$$
  $2 \le n \le 12$  (2.19)

que serão utilizados posteriormente.

Os valores na Tabela 2.1, marcados com (\*), foram aproximados pela equação (2.18). Para M grande, o erro cometido resulta desprezível.

### 2.2 Transmissor e Receptor QAM

Na Fig. 2.2, mostra-se o diagrama em blocos de um sistema de transmissão QAM, [9].

Como pode-se observar na Fig. 2.2(a), os bits de informação são apresentados em forma serial com taxa de bits

$$r_b = \frac{1}{T_b} [bit/s]$$
 (2.20)

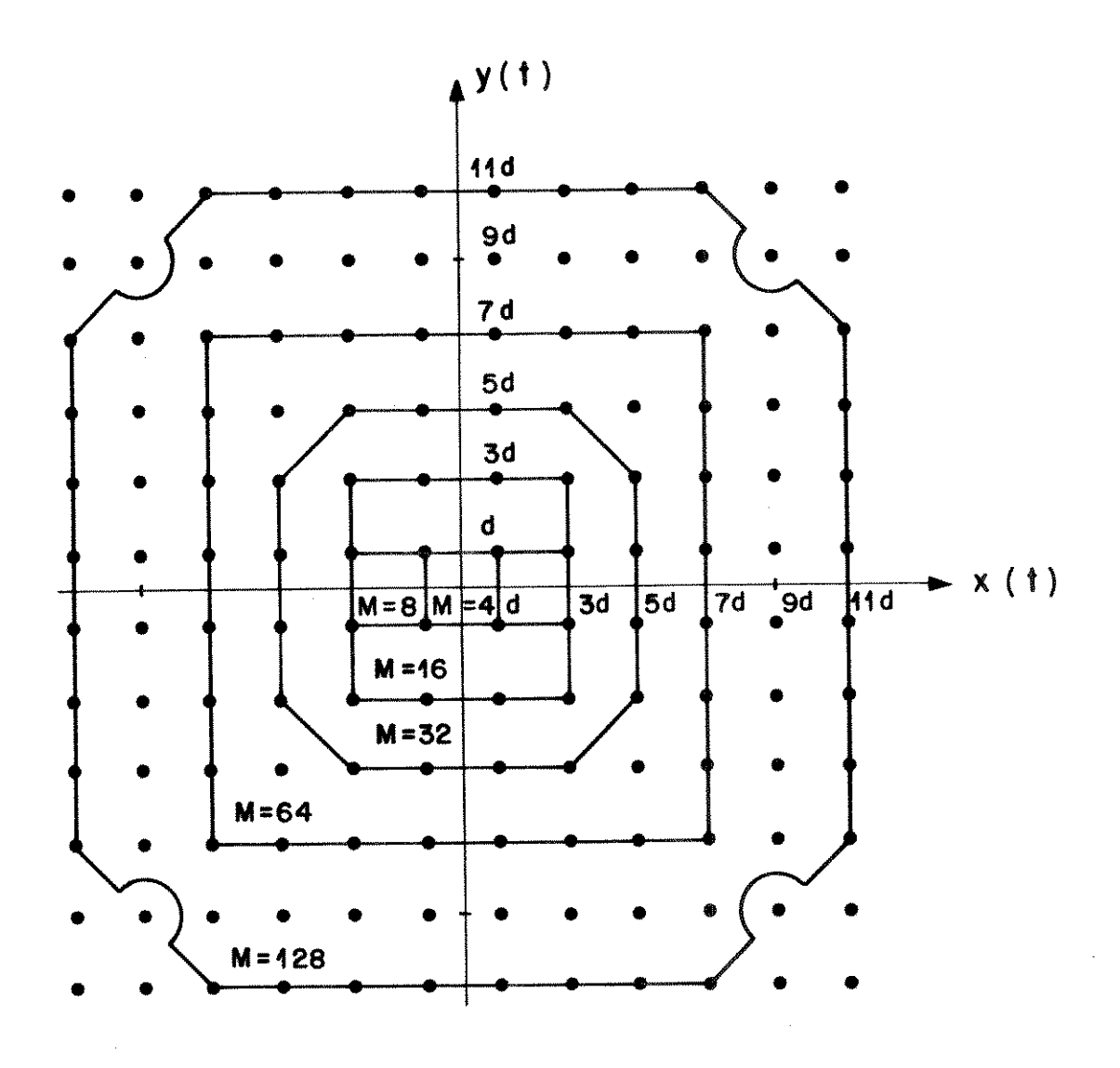
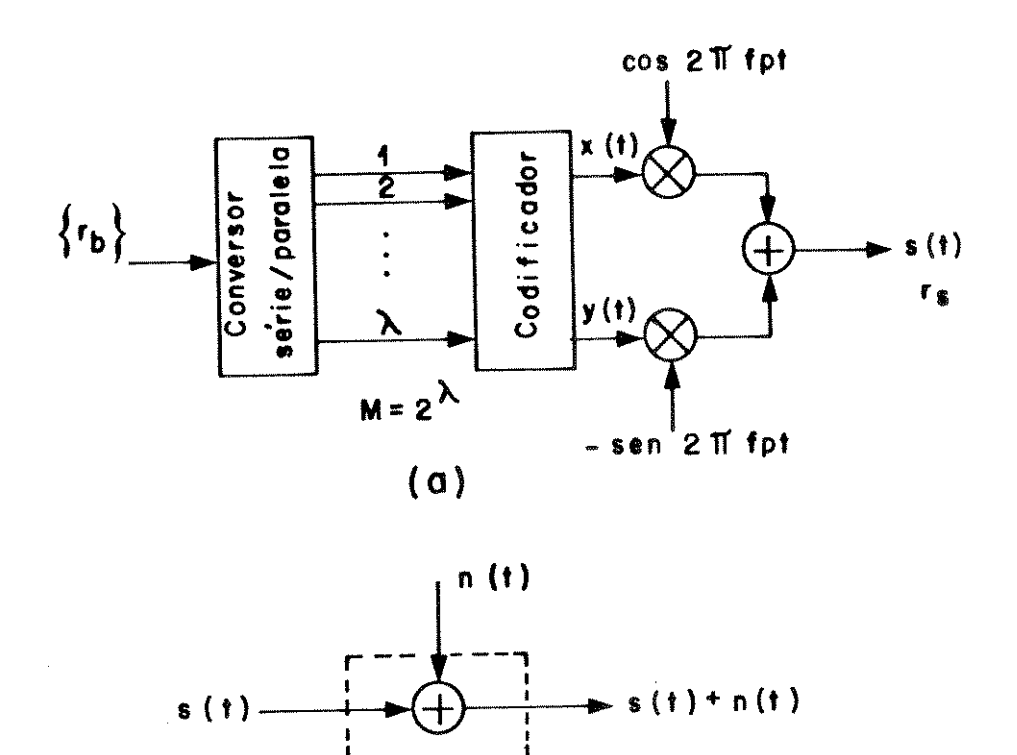
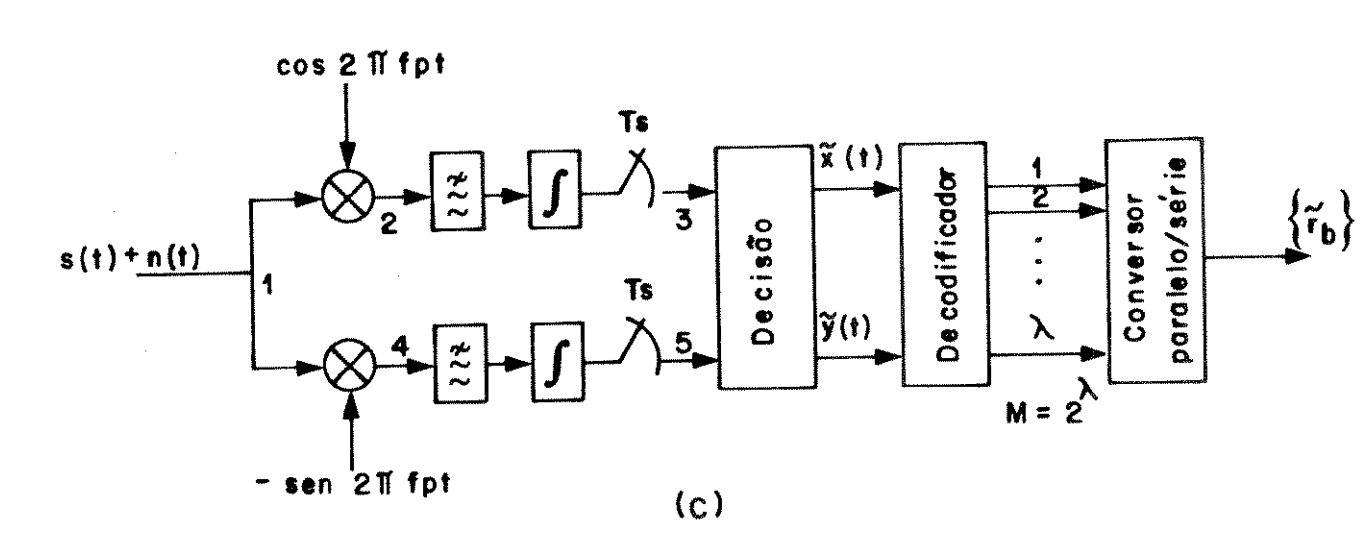


Fig. 2.1 Diagrama de sinais do sistema QAM, para diversos valores de M.

Tabela 2.1 Potências médias das constelações QAM em função do parâmetro d, para diversos valores de M.

p	
M	S
4	$d^2$
8	$3 d^2$
16	5 d <sup>2</sup>
32	10 d <sup>2</sup>
64	21 d <sup>2</sup>
128	$41 d^2$
256	85 d <sup>2</sup>
512	(511/3) d <sup>2</sup> *
1024	341 d <sup>2</sup>
2048	(2047/3) d <sup>2</sup> *
4096	1365 d <sup>2</sup>





(b)

Fig. 2.2 Diagrama em blocos simplificado do sistema de transmissão QAM.

- (a) Transmissor.
- (b) Canal de transmissão.
- (c) Receptor.

onde

Estes bits são convertidos pelo conversor série/paralelo em λ saídas paralelas.

Mediante o codificador (de canal) são codificados em forma binária M símbolos, utilizando as  $\lambda$  saídas, onde

$$\lambda = \log_2 M \tag{2.22}$$

Estes símbolos, mostrados no diagrama de sinais da Fig. 2.1, constituem a constelação QAM.

O codificador também separa o termo em fase  $X_k$  e o termo em quadratura  $Y_k$  de cada símbolo de canal.

Portanto os bits de informação e os símbolos de canal estão relacionados como segue

$$T_{s} = \lambda T_{h} [s]$$
 (2.23)

$$r_{s} = \frac{1}{T_{s}} = \frac{r_{b}}{\lambda} \text{ [simbolo/s]}$$
 (2.24)

onde r<sub>s</sub> é a taxa de símbolos.

A tarefa de modelar a fase e a amplitude da onda portadora de freqüência  $f_p$  é obtida mediante o batimento de  $X_k$  e  $Y_k$  com a portadora em fase  $\cos 2\pi f_p t$  e com a portadora em quadratura  $\sin 2\pi f_p t$ , respectivamente.

Desta forma, conforma-se o sinal s(t) de constituição QAM, que será enviado pelo canal de transmissão mostrado na Fig. 2.2(b).

Considera-se o canal de transmissão como um canal linear, que mantém a amplitude constante com resposta de fase linear. Também considera-se que não existe o efeito "fading", variação da amplitude com o tempo, e que o canal é somente perturbado por ruído AWGN (a ser discutido no item seguinte).

O esquema básico do receptor é apresentado na Fig. 2.2(c). Em essência, o receptor realiza o processo inverso do transmissor. Recupera o termo em fase  $X_k$  e o termo em quadratura  $Y_k$  do sinal s(t), imerso no ruído n(t). Isto é conseguido mediante o batimento com as portadoras em quadratura, juntamente com uma integração realizada durante  $T_s$  segundos. Assim consegue-se uma ortogonalidade entre  $X_k$  e  $Y_k$ , podendo-se separá-los depois da integração.

Na decisão, as componentes já separadas  $X_k$  e  $Y_k$ , degradadas pelo ruído n(t), são submetidas a limiares de comparação (regiões de decisão). Nestas regiões estimam-se as componentes em quadratura, isto é  $\widetilde{X}_k$  e  $\widetilde{Y}_k$ .

Conjuntamente com o decodificador, o conversor paralelo/série recupera a sequência de bits de informação  $\{\tilde{r}_b\}$ .

#### 2.3 Ruído AWGN de Banda Estreita

O ruído branco é um processo estocástico, que possui uma densidade espectral de potência constante sobre toda a banda de freqüências.

Neste trabalho foi conveniente modelar o ruído n(t) como aditivo branco Gaussiano de banda estreita confinado numa banda V e centrado na freqüência  $f_p$ .

Em analogia com os sinais determinísticos de banda estreita, a densidade espectral de potência é nula fora da banda V, V<<f<sub>p</sub>. Assim, pode-se escrever n(t) da seguinte forma [10]:

$$n(t) = n_I(t)\cos 2\pi f_p t - n_O(t)\sin 2\pi f_p t$$
 (2.25)

onde

$$n_{\rm I}$$
 (t) é a componente em fase de ruído n(t) (2.26)

$$n_{O}(t)$$
 é a componente em quadratura do ruído  $n(t)$  (2.27)

Além disso se o ruído n(t) é uma função amostra de um processo N(t), Gaussiano e estacionário em sentido amplo, com média estatística nula

$$\mu = 0 \tag{2.28}$$

e de variância

$$\sigma_{N}^{2} = \eta V \quad [W] \tag{2.29}$$

onde

os termos  $n_I(t)$  e  $n_Q(t)$  são funções Gaussianas estacionárias no sentido amplo, independentes, onde cada uma possui média zero e variância  $\sigma_N^2$ .

Então, pode-se deduzir que [10]

$$\langle n^2(t) \rangle = \langle n_I^2(t) \rangle = \langle n_Q^2(t) \rangle = \eta V$$
 (2.31)

$$\left\langle \mathbf{n}_{1}(\mathbf{t}_{1})\mathbf{n}_{Q}(\mathbf{t}_{2})\right\rangle = \left\langle \mathbf{n}_{1}(\mathbf{t}_{2})\mathbf{n}_{Q}(\mathbf{t}_{1})\right\rangle = 0 \tag{2.32}$$

Um conceito importante, que será utilizado nos itens subsequentes, é a função de autocorrelação dos termos em quadratura  $n_I(t)$  e  $n_O(t)$ .

A autocorrelação de n<sub>I</sub>(t), é por definição

$$\Re_{n_{l}n_{l}}(\tau) = \int_{-\infty}^{\infty} G_{n_{l}}(f) \exp[j2\pi f\tau] df = \eta \int_{-V/2}^{V/2} \exp[j2\pi f\tau] df = \eta V \sin c(V\tau)$$
 (2.33)

Na Fig. 2.3 mostra-se a densidade espectral de potência  $G_n(f)$  e de  $G_{n_I}(f)$ .

Pode-se mostrar também, que

$$\mathfrak{R}_{n_{\mathbf{Q}}n_{\mathbf{Q}}}(\tau) = \mathfrak{R}_{n_{\mathbf{I}}n_{\mathbf{I}}}(\tau) \tag{2.34}$$

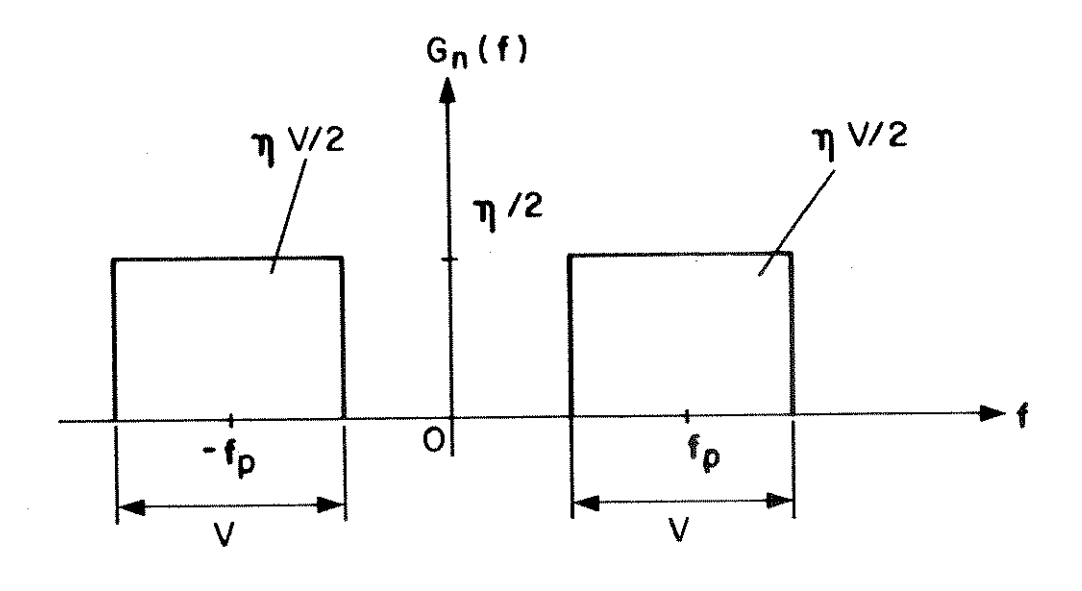
### 2.4 Canal Linear de Banda Limitada

O canal utilizado para a trasmissão digital, vide Fig. 2.2(b), é modelado [9] como um filtro linear, caracterizado como segue

$$C(f) = |C(f)| \exp v(f)$$
 é a resposta em freqüência (2.36)

onde

$$v(f)$$
 é a característica de fase (2.38)



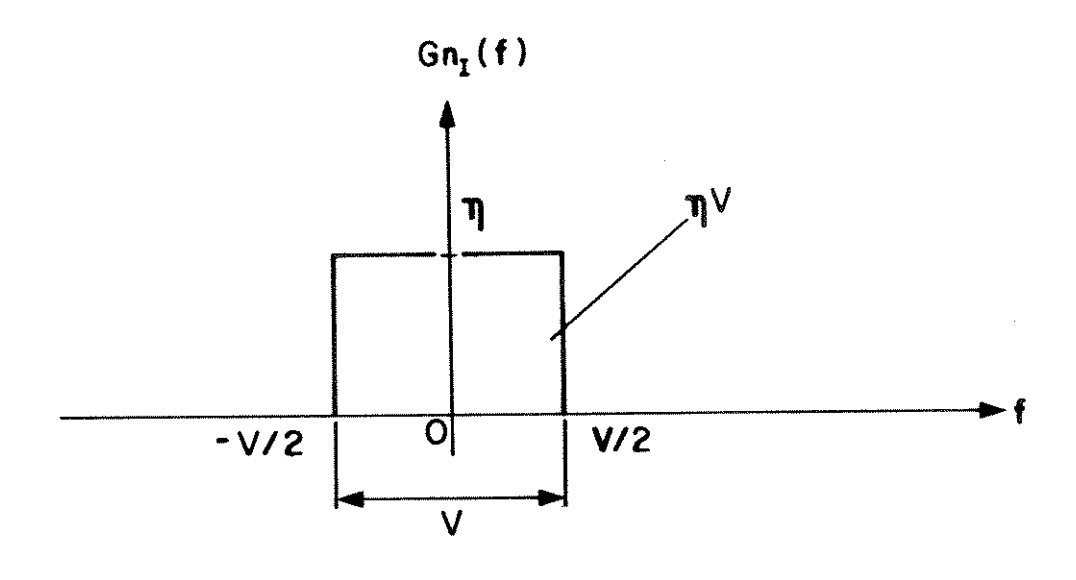


Fig. 2.3 Densidade espectral de potência de  $G_n$  (f) e de  $G_{n_1}$  (f).

Se o canal é limitado em banda à frequência

$$V/2 [Hz]$$
 (2.39)

e, além disso, é um canal ideal, então

$$|C(f)|=1$$
, constante  $\forall |f| \leq V/2$  (2.40)

$$v(f)$$
 é função linear da freqüência (2.41)

$$C(\mathbf{f}) = 0 \quad \forall |\mathbf{f}| > V/2 \tag{2.42}$$

Portanto, é possível transmitir uma variedade de formas de pulsos, de modo a utilizar eficientemente o canal ideal de transmissão, sem ter-se interferência intersimbólica.

As formas de pulsos amplamente utilizadas nas transmissões digitais possuem uma característica espectral chamada espectro de coseno levantado, cuja expressão matemática é

$$X(f) = \begin{cases} T_s & |f| < (1-\alpha)/2T_s \\ \frac{T_s}{2} \left[ 1 - sen\pi T_s \left( f - \frac{1}{2T_s} \right)/\alpha \right] & (1-\alpha)/2T_s \le |f| \le (1+\alpha)/2T_s \\ 0 & |f| > (1+\alpha)/2T_s \end{cases}$$
 (2.43)

onde

$$\alpha$$
 é o fator "rolloff" de canal. (2.44)

Para o projeto do pulso foi utilizado o critério de Nyquist para sinais sem interferência intersimbólica, isto é

$$V/2 < \frac{1}{T_s} < 2(V/2)$$
 (2.45)

Estas formas de pulsos possuem a função do tempo

$$x(t) = \frac{\sin \pi t / T_{s}}{\pi t / T_{s}} = \frac{\cos \alpha \pi t / T_{s}}{1 - 4\alpha^{2} t^{2} / T_{s}}$$
(2.46)

Na Fig. 2.4 (a), mostra-se a função X(f).

Na situação em que  $\alpha = 0$  ( $\frac{V}{2} = \frac{r_s}{2}$ ), a forma do espectro do pulso a transmitir é um retângulo, como pode-se apreciar na Fig. 2.4(a). Existem portanto dois problemas. Um deles, é que X(f) é fisicamente irrealizável. O outro problema, é que o pulso possui uma resposta com um decaimento de cauda 1/t, ocasionando, no momento da amostragem, uma série de componentes de interferência intersimbólica. Isto significa que os pulsos transmitidos são deformados e na recepção existe superposição de pulsos adjacentes.

Na situação em que  $\alpha > 0$   $(\frac{V}{2} > \frac{r_s}{2})$ , o pulso não possui terminações abruptas como no caso de  $\alpha = 0$ , e o decaimento de cauda é agora de  $1/t^3$ , caindo mais rapidamente e facilitando a amostragem, sem interferência intersimbólica.

Por outro lado, se o canal não é ideal, isto é, existe atenuação de amplitude e retardo de fase além de ruído AWGN, apesar de transmitir-se com taxa de símbolo  $r_S \ge V/2$  existe interferência intersimbólica. Como C(f) não é conhecida com suficiente precisão, o que resultaria no projeto de um demodulador fixo para corrigir a interferência intersimbólica, deve-se projetar filtros ou demoduladores adaptativos.

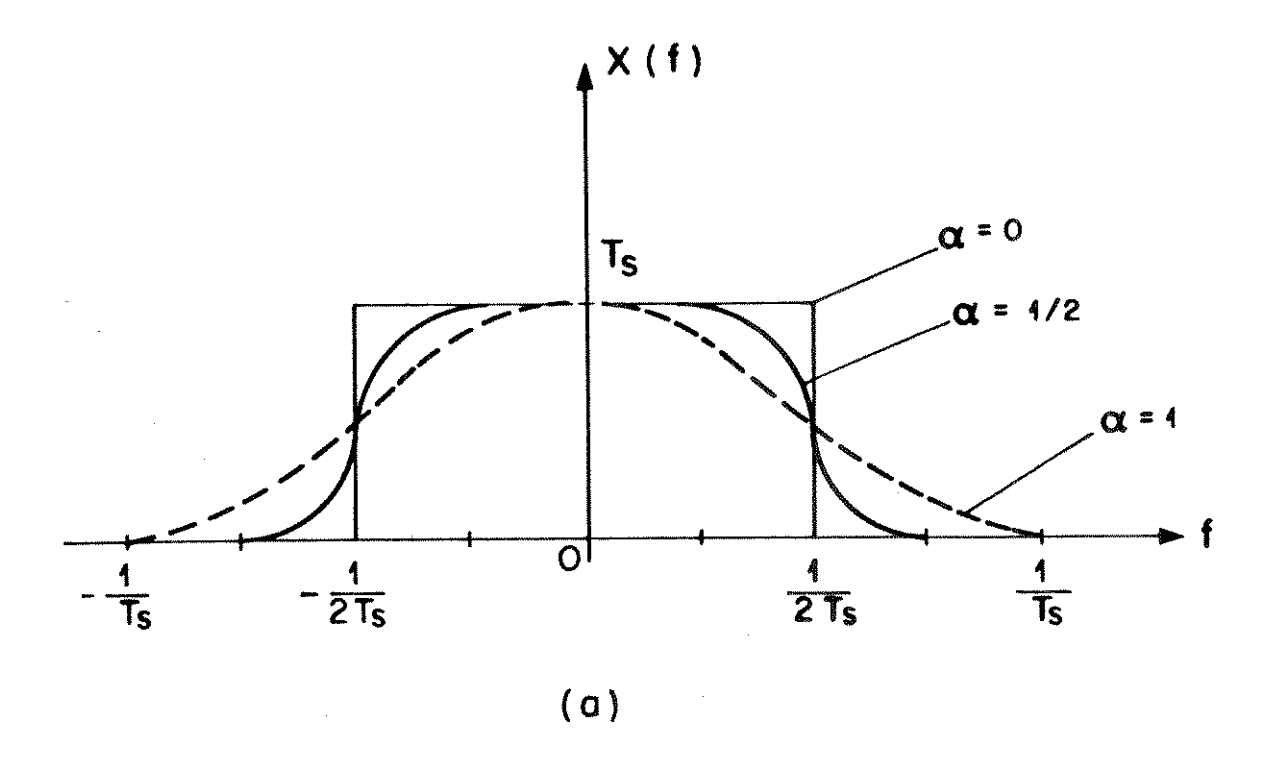
No desenvolvimento deste trabalho, considerou-se o fator "rolloff" de  $\alpha = 0$ . Mas, as conclusões a serem obtidas, serão válidas para o caso  $0 \le \alpha \le 1$ , já que a potência média do ruído contido na área do retângulo ( $\alpha = 0$ ) é igual à contida em uma forma de pulso para  $\alpha > 0$ , como pode-se apreciar na Fig. 2.3(b).

### 2.5 Eficiência de Transmissão

Um importante conceito para quantificar a eficiência de transmissão é o enunciado por Shannon [11] que mostra o seguinte:

Se uma fonte produz informação com taxa  $r_b[bit/s]$ , e o canal de transmissão disponível possui capacidade C[bit/s] com largura de faixa V[Hz], perturbado por ruído AWGN de densidade espectral  $\eta[W/Hz]$  atuando na mesma faixa V, então existe um esquema de codificação e/ou modulação para o sistema de modo que a probabilidade de erro de decodificação pode ser suficientemente pequena para  $r_b < C$ .

A capacidade do canal é dada pela equação de Shannon-Hartley, como segue



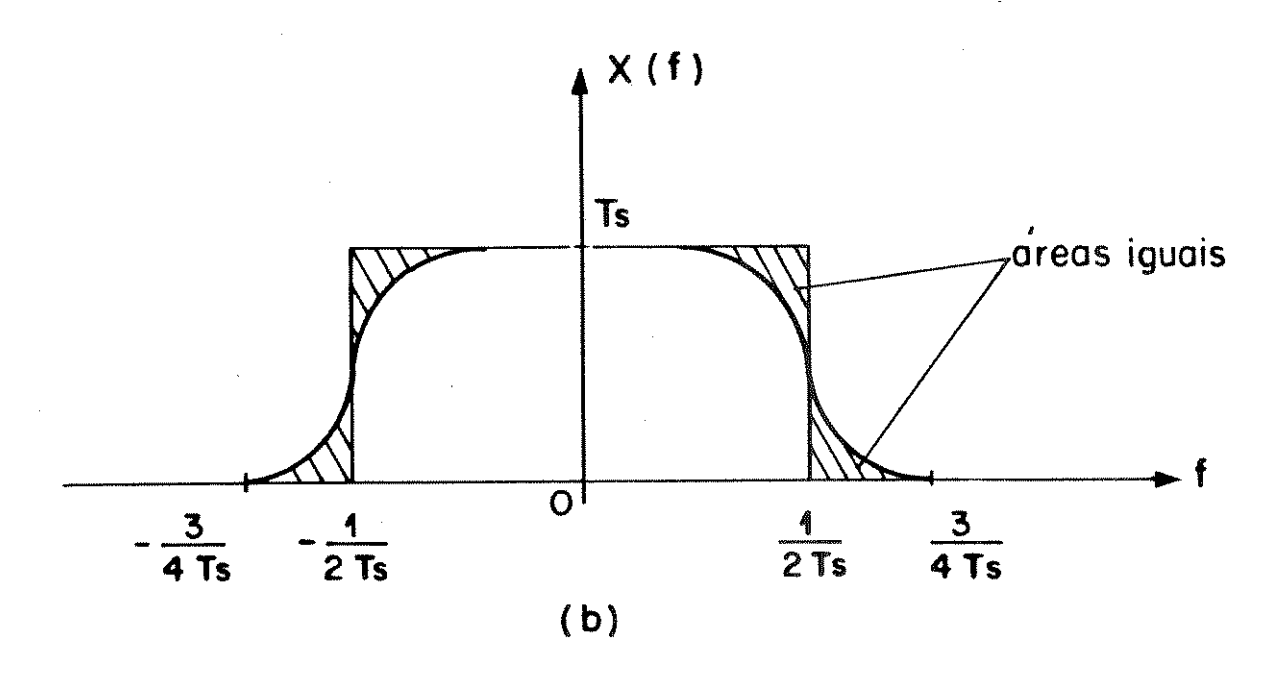


Fig. 2.4 Espectro coseno levantado.

- (a) Diferentes valores de α.
- (b) Comparação das áreas.

$$C = V \log_2(1 + \frac{S}{\eta V}) [bit/s]$$
 (2.47)

onde

Um outro conceito importante é a Eficiência Espectral ou Eficiência de Banda ([11] e [9]), definida como

$$\Re = \frac{\text{taxa de bits}}{\text{largura de faixa do canal}} [\text{bit/s/Hz}]$$
 (2.50)

A fim de comparar a eficiência dos sistemas, pode-se fazer o gráfico da equação (2.47) no plano R versus S/N.

Medindo a relação sinal/ruído S/N sobre uma escala em decibeis, tem-se

$$\frac{S}{N} = \text{ant log}_{10} \left\{ \frac{1}{10} \frac{S}{N} [dB] \right\}$$
 (2.51)

e substituindo esta última expressão na equação (2.47) resulta

$$\frac{C}{V} = \log_2 \{1 + \text{ant } \log_{10} \left[\frac{1}{10} \frac{S}{N} [dB]\right]$$
 (2.52)

Na Fig. 2.5 mostra-se o gráfico da equação (2.52). Esta curva pode ser aproximada por uma reta para valores de  $\frac{S}{N} > 5$  dB.

Utilizou-se neste trabalho a seguinte aproximação linear para a equação (2.52)

$$\frac{C}{V} [bit/s/Hz] = a_1 \frac{S}{N} + a_2$$
 (2.53)

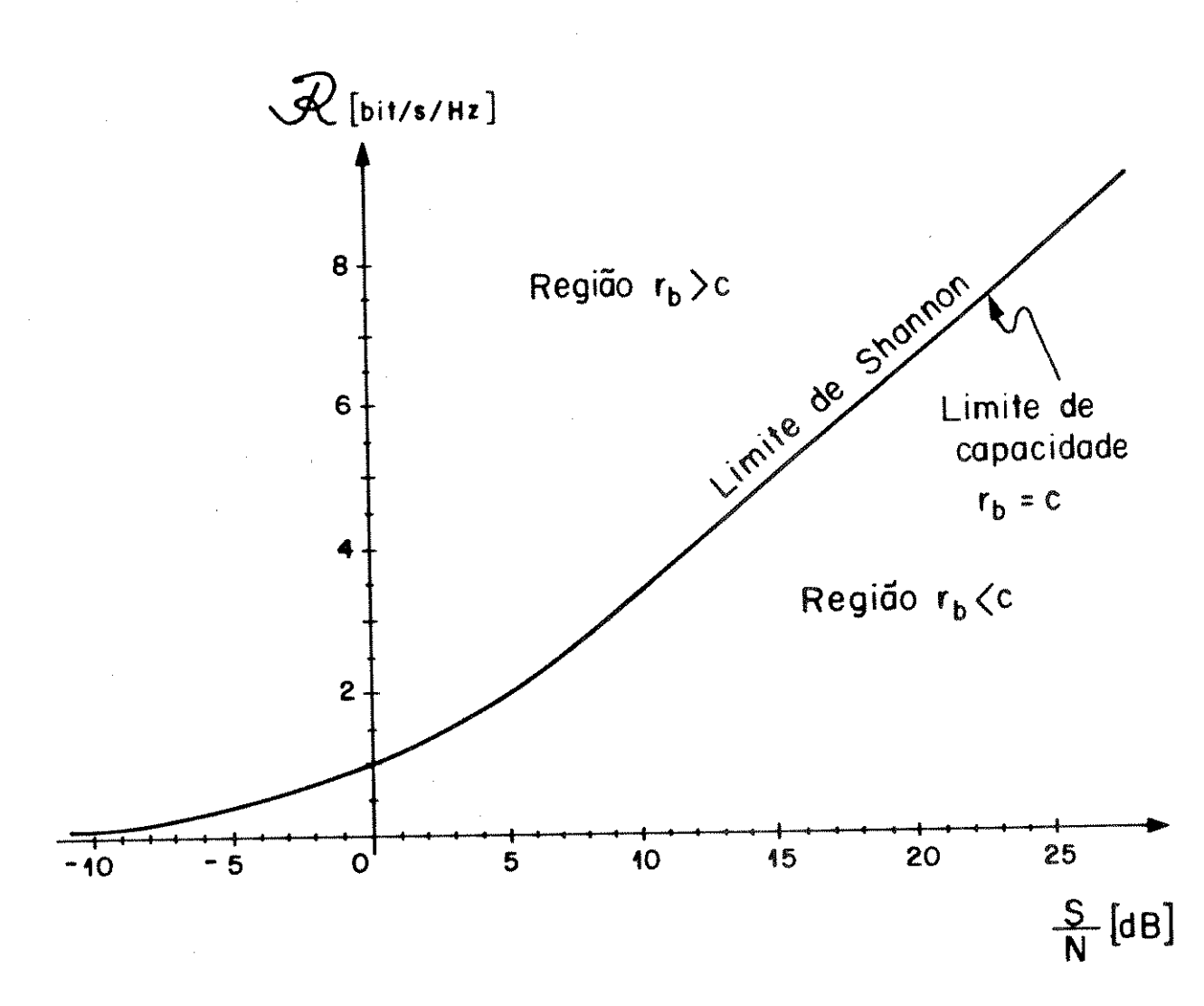


Fig. 2.5 Diagrama de eficiência de transmissão. Curva de Shannon.

onde

$$a_1 = 0.3233$$
 e  $a_2 = 0.2261$  (2.54)

É importante ressaltar que para  $r_b > C$ , não existem sistemas de transmissão que possam transmitir com taxas acima da capacidade do canal.

Para  $r_b < C$ , existem sistemas onde a probabilidade de erro de decodificação pode ser tão pequena como se deseje.

O Limite de Capacidade ou Limite de Shannon acontece para  $r_b = C$ , que é o lugar geométrico dos sistemas ideais.

### 2.6 Sinal e Ruído no Receptor QAM

Neste item analisam-se o sinal e o ruído presentes depois dos amostradores, no receptor mostrado na Fig. 2.2(c).

Admite-se que o sinal foi recuperado através de amplificadores e filtros transversais, de tal modo que o sinal recuperado é o próprio s(t).

O receptor recebe a sua entrada o sinal QAM que foi transmitido misturado com ruído AWGN. Assim, no ponto 1 do circuito da Fig. 2.2(c), tem-se a tensão

$$v_1(t) = s(t) + n(t)$$
 (2.55)

Substitutindo na expressão (2.55) o sinal s(t) da equação (2.3) e o ruído n(t) da expressão (2.25), e considerando

$$\omega_{\mathbf{p}} = 2\pi f_{\mathbf{p}} [rad/s] \tag{2.56}$$

tem-se

$$v_1(t) = A_k \cos[\omega_p t + \theta_k] + n_1(t) \cos \omega_p t - n_2(t) \sin \omega_p t$$
 (2.57)

onde

θk é a fase transmitida

No ponto 2 do circuito, depois do batimento com a portadora em fase, resulta

$$v_2(t) = A_k \cos[\omega_p t + \theta_k] \cos\omega_p t + nI(t) \cos^2\omega_p t - nQ(t) \sin\omega_p t \cos\omega_p t$$
 (2.58)

Mas, sabe-se que

$$\cos A \cos B = \frac{1}{2} \left[ \cos(A-B) + \cos(A+B) \right] \tag{2.59}$$

$$senA cosB = \frac{1}{2} [sen(A-B) + sen(A+B)]$$
 (2.60)

Portanto, substituindo estas duas últimas expressões na (2.58), obtém-se

$$v_2(t) = \frac{1}{2} A_k \cos \theta_k + \frac{1}{2} n_I(t) + \frac{1}{2} A_k \cos[2\omega_p t + \theta_k] + \frac{1}{2} [n_I(t)\cos 2\omega_p t - n_Q(t) \sin 2\omega_p t]$$
(2.61)

Mas, como foram instalados filtros passa-baixas antes dos integradores, tanto o sinal como o ruído do dobro da frequência  $\omega_p$  ficam filtrados, obtendo-se

$$v_2'(t) = \frac{1}{2} A_k \cos\theta_k + \frac{1}{2} \eta_1(t)$$
 (2.62)

Depois da integração e da amostragem tem-se, para o ponto 3 do circuito, a seguinte tensão

$$v_3(T_s) = \frac{1}{2} A_k \cos\theta_k \int_0^{T_s} dt + \frac{1}{2} \int_0^{T_s} n_1(t) dt$$
 (2.63)

mas, pode-se escrever

$$v_3(T_S) = S_X(T_S) + Q_X(T_S)$$
 (2.64)

onde

$$S_X(T_S) = \frac{1}{2} T_S A_K \cos \theta_K = \frac{1}{2} T_S X_K$$
 (2.65)

$$Q_{x}(T_{s}) = \frac{1}{2} \int_{0}^{T_{s}} n_{I}(t) dt$$
 (2.66)

De forma similar, analisando os pontos 4 e 5 do circuito, chega-se aos seguintes resultados

$$v_5(T_S) = S_V(T_S) + Q_V(T_S)$$
 (2.67)

onde:

$$S_v(T_s) = \frac{1}{2}T_s A_k \sin\theta_k = \frac{1}{2}T_s Y_k$$
 (2.68)

$$Q_{y}(T_{s}) = \frac{1}{2} \int_{0}^{T_{s}} n_{Q}(t) dt$$
 (2.69)

A constante (1/2) presente nas expressões (2.65-69), não precisa ser levada em conta na análise, já que tanto os termos de sinal como os termos de ruído são afetados de forma igual.

# 2.7 Potência Média do Ruído no Receptor QAM

Neste item deduz-se a potência média ou potência média quadrática do ruído no receptor QAM. Esta potência será utilizada posteriormente para avaliar o desempenho destes sistemas.

O ruído na saída dos amostradores, como achados nas expressões (2.66) e (2.69), pode ser escrito da seguinte forma

$$Q(T_s) = \int_0^{T_s} n_{\Delta}(t) dt \qquad (2.70)$$

onde  $n_{\Delta}$  (t), é uma variável estocástica estacionária em sentido amplo, isto é, sua média estatística é constante

$$\langle \mathsf{n}_{\Delta}(\mathsf{t}) \rangle = 0 \tag{2.71}$$

e, sua autocorrelação depende somente do intervalo  $\boldsymbol{\tau}$  , onde

$$\tau = t_2 - t_1 \tag{2.72}$$

$$\mathfrak{R}_{n_1 n_2}(\tau) = \langle n_{\Delta}(t_2) n_{\Delta}(t_1) \rangle \tag{2.73}$$

Então, a potência média [12] do ruído, pode ser calculada como

$$\langle Q^2(T_s) \rangle = \int_0^{T_s} \int_0^{T_s} \mathfrak{R}_{n_A n_A}(t_2 - t_1) dt_1 dt_2$$
 (2.74)

Portanto, relacionando a expressão do ruído dada na equação (2.66) com a (2.70), resulta

$$n_{\Lambda}(t) = n_{\bar{I}}(t) \tag{2.75}$$

ficando a expressão (2.74), da seguinte forma

$$\langle Q_{x}^{2}(T_{s}) \rangle = \int_{0}^{T_{s}} \int_{0}^{T_{s}} \mathfrak{R}_{n_{1}n_{1}}(t_{2} - t_{1}) dt_{1} dt_{2}$$
 (2.76)

Agora, substituindo nesta última expressão a (2.33), obtem-se

$$\langle Q_x^2(T_s) \rangle = \frac{\eta}{\pi} \int_o^{\tau_s} \int_o^{\tau_s} \frac{sen\pi \, V(t_2 - t_1)}{t_2 - t_1} \, dt_1 dt_2$$
 (2.77)

Mas pelo Apêndice B sabe-se que

$$\int_{0}^{T_{s}} \int_{0}^{T_{s}} \frac{\sin a(t_{2} - t_{1}) \cos b(t_{2} - t_{1})}{t_{2} - t_{1}} dt_{1} dt_{2} = a T_{s}^{2} I(a, b)$$
 (2.78)

Associando esta última expressão com a (2.77), tem-se

$$a = \pi V \tag{2.79}$$

$$b = 0 ag{2.80}$$

resultando para a expressão (2.77)

$$\left\langle Q_{X}^{2}\left(T_{s}\right)\right\rangle = \eta V T_{s}^{2} I\left(\pi V,0\right) \tag{2.81}$$

Para não termos interferência intersimbólica, considera-se a largura de faixa mínima utilizada

$$V = r_S [Hz]$$
 (2.82)

Utilizou-se o programa computacional do Apêndice D para avaliar a série de potências da equação (2.78). Assim, a potência média do ruído resulta

$$\langle Q_x^2(T_s) \rangle = 0.7737 \, \eta \, r_s T_s^2$$
 (2.83)

Usando a expressão do ruído (2.49), esta última equação resulta

$$\langle Q_x^2(T_s) \rangle = 0.7737 \text{ N T}_s^2$$
 (2.84)

Uma análise similar, aplicada ao ruído  $Q_y(T_s)$  dado pela expressão (2.69), fornece o mesmo resultado achado para  $Q_x(T_s)$ , isto é

$$\langle Q_{\rm X}^2(T_{\rm S}) \rangle = \langle Q_{\rm V}^2(T_{\rm S}) \rangle$$
 (2.85)

Pode-se observar, que a potência média do ruído de faixa estreita foi reduzida em 22.63%, comparada com o ruído de faixa estreita que tivesse sido somente amplificado com ganho  $T_S^2$ 

$$\langle Q^2(T_s) \rangle = \eta r_s T_s^2$$
 (2.86)

### 2.8 Desempenho dos Sistemas QAM

Neste item apresenta-se de forma resumida a probabilidade de erro de símbolo dos sistemas QAM.

No processo de decisão, a componente em fase  $X_k$  e a componente em quadratura  $Y_k$  dos sistemas QAM são consideradas independentes. Por isto, realiza-se duas decisões ortogonais, uma para cada componente.

Assim, para a probabilidade de deteção correta, tem-se

$$P_c = (1-p_e)^2 \cong 1 - 2 p_e$$
 para  $p_e << 1$  (2.87)

onde  $p_e$  é a probabilidade de erro, em cada uma das componentes  $X_k$  e  $Y_k$  e pode ser escrita como segue

$$p_{e} = \frac{1}{M} \sum_{i=1}^{M} p_{i}$$
 (2.88)

$$p_{e} = 2\left(1 - \frac{1}{\sqrt{M}}\right) Q\left(\sqrt{\frac{a^{2}}{\langle Q_{x}^{2}(T_{s})\rangle}}\right)$$
 (2.89)

onde

$$p_i$$
 é a probabilidade de erro em cada um dos M símbolos, no eixo de  $X_k$  ou  $Y_k$  (2.91)

Q é a função cauda; é a probabilidade dada pela função distribuição normal de uma distância  $\frac{a}{\left\{\left\langle \mathcal{Q}_{x}^{2}(T_{s})\right\rangle\right\}^{1/2}}$  até  $\infty$  (2.92)

$$\langle Q_x^2(T_s) \rangle = 0,7737 \text{ NT}_s^2$$
 é a potência média do ruído contido na faixa V de ocupação do sinal (2.94)

O parâmetro "a", definido na expressão (2.93), está vinculado com o espaçamento do reticulado "d" do sistema QAM, definido na expressão (2.16), através da equação (2.65), como segue

$$\mathbf{a} = \mathbf{T_S} \, \mathbf{d} \tag{2.95}$$

e esta última expressão está ligada com a potência média da constelação, segundo a expressão (2.18), da seguinte forma

$$a^2 = \frac{3}{M-1} S T_s^2$$
 (2.96)

A probabilidade de erro de símbolo, resulta

$$P_{M} = 1 - P_{C}$$
 (2.97)

e substituindo nesta, as expressões (2.87), (2.89), (2.94) e (2.96), obtém-se

$$P_{M} \cong 4\left(1 - \frac{1}{\sqrt{M}}\right) Q\left(\sqrt{\frac{3}{0,7737(M-1)}} \frac{S}{N}\right)$$
 (2.98)

Esta última equação, não é exata para valores de M = 8, 32, 128, 512 e 2048. Estas constelações apresentam um reticulado não completo e portanto a equação (2.89) não é válida. Nesta situação, deve-se utilizar a expressão (2.88).

Para M = 128, 512 e 2048, utilizou-se a equação (2.98), encontrando que para estes valores de M, o cálculo exato da probabilidade de erro de símbolo não difere substancialmente daquela obtida através desta equação.

Aprimorou-se a probabilidade de erro de símbolo para os seguintes casos

QAM-8

$$P_{M} \cong \frac{5}{2} Q \left( \sqrt{\frac{1}{0,7737 (3)}} \frac{S}{N} \right)$$
 (2.99)

QAM-32

$$P_{M} \cong \frac{27}{8} Q \left( \sqrt{\frac{1}{0,7737 (10)} \frac{S}{N}} \right)$$
 (2.100)

A Tabela 2.2 mostra o desempenho do sistema QAM para

$$M = 2^{i}$$
;  $2 \le i \le 12$  (2.101)

Também na Tabela 2.2, apresenta-se também o cálculo da eficiência de banda, que segundo a equação (2.50), resulta

Tabela 2.2 Desempenho e eficiência de banda para vários sistemas QAM.

Σ	n (bit/s/H <sub>7</sub> )				S/N (dB)	(qB)			
	ì	$P_{M}=10^{-1}$	P <sub>M</sub> =10-2	$P_{M}=10^{-3}$	P <sub>M</sub> =10-4	$P_{M}=10^{-5}$	PM=10-6	$P_{M}=10^{-7}$	$P_{M}=10^{-8}$
4	2	3,2090	7,1012	9,2873	10,7169	11,8080	12,6880	13,4240	14,0543
8	3	8,5232	12,1218	14,2177	15,6059	16,6723	17,5361	18,2607	18,8813
16	4	11,1425	14,5562	16,5625	17,9185	18,9655	19,8164	20,5318	21,1446
32	5	14,3998	17,6840	19,6526	20,9886	22,0234	22,8662	23,5758	24,1834
49	9	17,6927	20,9396	22,8991	24,2290	25,2603	26,1005	26,8083	27,4144
128	7	20,8170	24,0203	25,9711	27,2942	28,3213	29,1587	29,8645	30,4689
256	<b></b>	23,9010	27,0711	29,0170	30,3356	31,3598	32,1954	32,8998	33,5029
512	6	26,9580	30,1058	32,0486	33,3640	34,3863	35,2206	35,9241	36,5263
1024	10	29,9985	33,1371	35,0720	36,3852	37,4062	38,2396	38,9424	39,5441
2048		33,0289	36,1645	38,0906	39,4023	40,4224	41,2551	41,9575	42,5587
4096	12	36,0528	39,1864	41,1063	42,4169	43,4363	44,2687	44,9707	45,5717

$$\Re[\operatorname{bit/s/Hz}] = \frac{rb}{V} = \frac{r_s \lambda}{r_s} = \log_2 M \tag{2.102}$$

No Apêndice D encontra-se o programa computacional utilizado para o levantamento da Tabela 2.2.

Na Fig. 2.6 são mostradas as curvas de desempenho que correspondem à Tabela 2.2.

Observa-se que os sistemas QAM analisados de banda estreita diferem dos analisados nas bibliografias, com respeito a seus desempenhos, em 1.11 dB. Por exemplo para uma probabilidade de erro de símbolo de P<sub>M</sub> =10<sup>-6</sup>, o sistema QAM-16 aparece com 18,70 dB de relação sinal/ruído média por símbolo, em bibliografias usuais, enquanto que o valor aqui é 19,81 dB analisado como banda estreita. Para o QAM-256, segundo referências usuais, tem-se 31,08 dB, enquanto o sistema de faixa estreita apresenta 32,19 dB.

### 2.9 Revisão de Modulação Codificada

Um modelo simplificado de um sistema de comunicações digitais, em termos de blocos funcionais, é apresentado na Fig. 2.7(a). A fonte de informação com taxa  $r_b$  entrega uma sequência de k bits ao codificador. Tanto o codificador como o decodificador contribuem para redução dos possíveis erros cometidos no canal de transmissão. Para isto o codificador entrega uma sequência  $\{s(t)\}$  de n bits com taxa  $r_b$ , onde n>k, para obter-se redundância de bit de informação e assim realizar-se uma proteção de erro [13]. Deste modo, o codificador possui a taxa de codificação

$$R = \frac{k}{n} \tag{2.103}$$

O modulador é o responsável pelo mapeamento entre os n bits de canal e o alfabeto de modulação de M símbolos de canal, onde

$$M = 2^n$$
 [símbolo de canal] (2.104)

e cuja taxa de modulação será

$$r_{s} = \frac{r_{b}'}{\log_{2} M} [simbolo/s]$$
 (2.105)

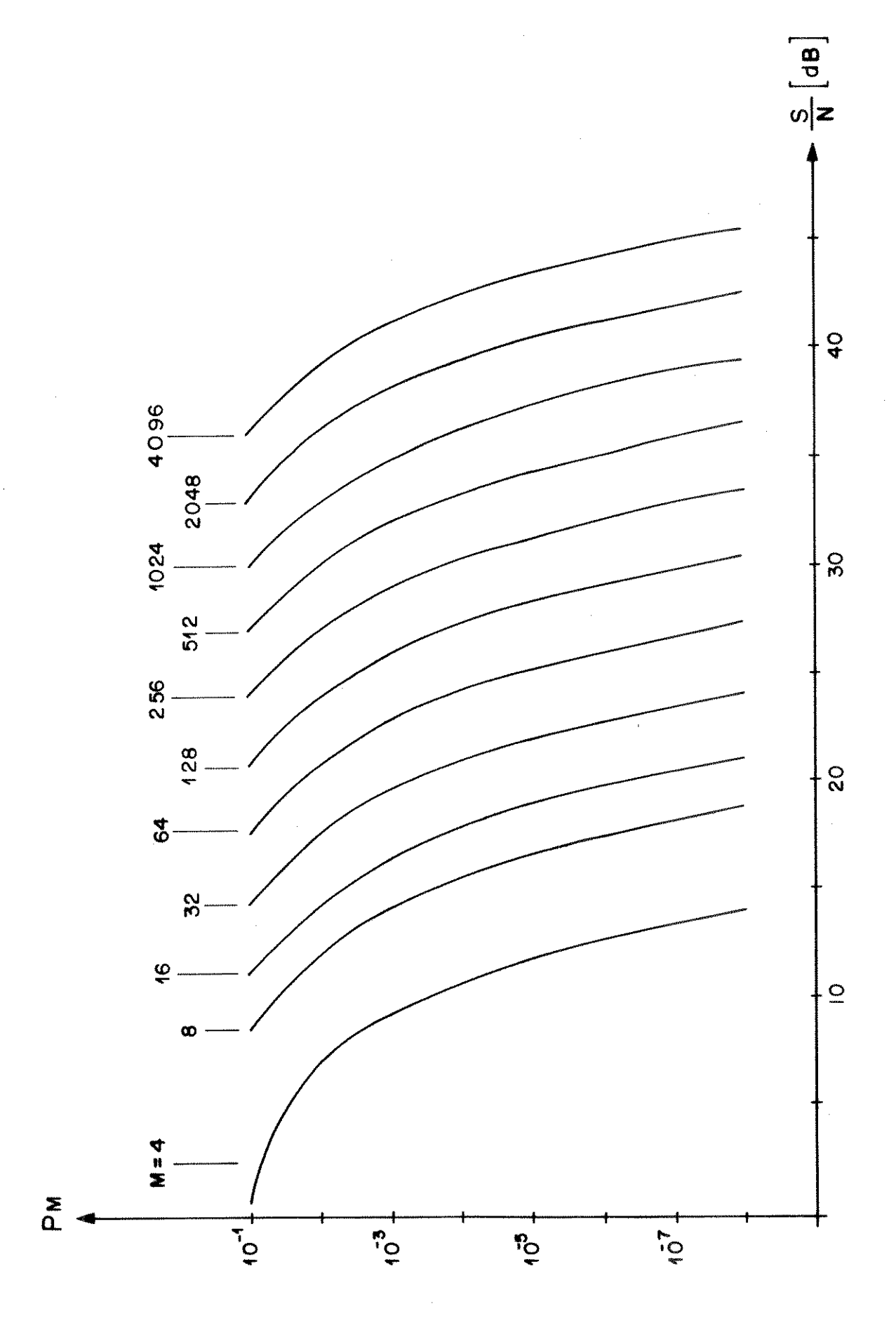
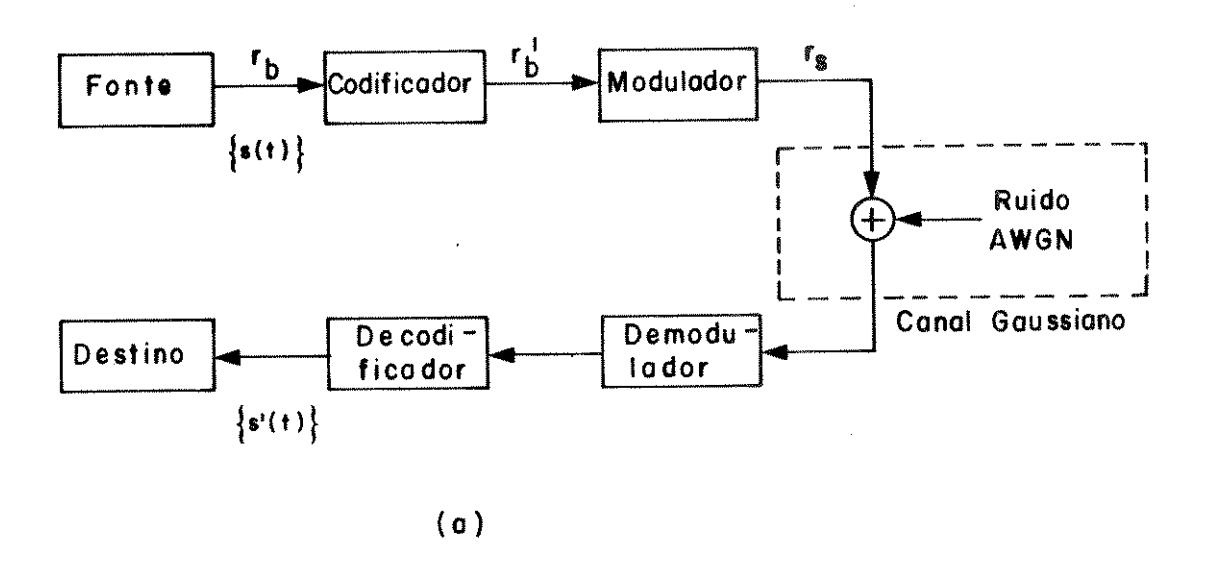


Fig. 2.6 Curvas de desempenho para vários sistemas QAM.



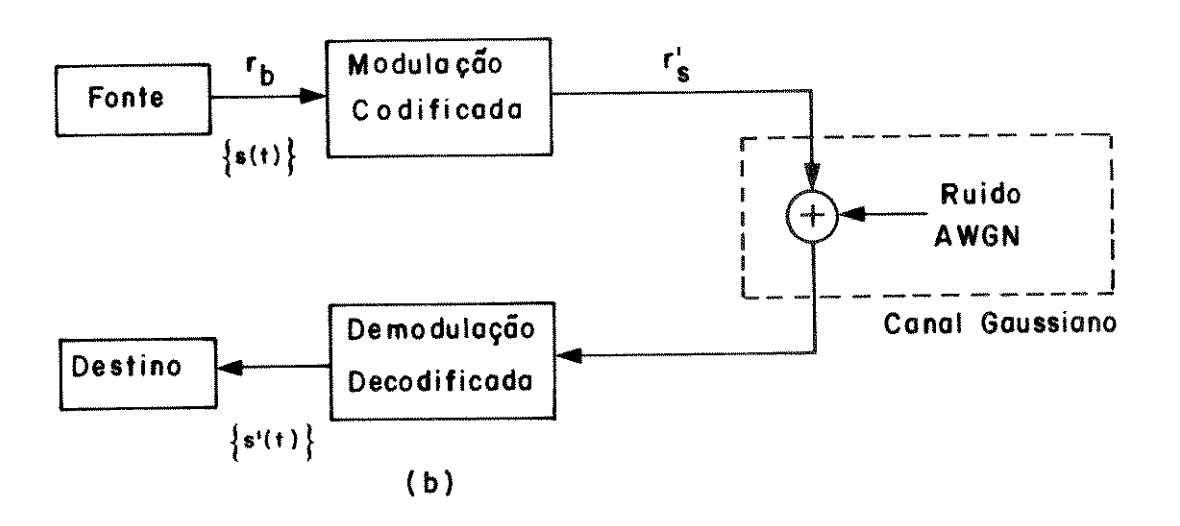


Fig. 2.7 Diagrama simplificado dos sistemas de transmissão digital.

- (a) Sistema convencional.
- (b) Sistema com modulação codificada.

Posteriormente na recepção, um processo de decodificação por verossimilhança recebe a sequência de símbolos de canal interferido por ruído AWGN [9], e estima os k bits de informação transmitidos da sequência {s(t)}.

Neste modelo de comunicação digital, considera-se tanto a modulação como a codificação, duas entidades separadas.

Na tentativa de projetar sistemas mais confiáveis, isto é, sistemas com baixa probabilidade de erro de símbolo, os sistemas são obrigados a:

- i. Aumentar a potência de seus sinais, e deste modo melhorar o desempenho do sistema, e/ou
- ii. Diminuir a taxa de informação, se o canal de transmissão não permite expansão de largura de banda. Isto é, na tentativa de codificar para obter-se redundância de informação e assim menor probabilidade de erro, a taxa de informação com codificação cairia para

$$r_{b_c} = \frac{k}{n} r_b \tag{2.106}$$

iii. Aumentar a largura de banda de ocupação do sistema, se o mesmo pretende manter fixa a taxa de informação. Ou seja, ao codificar está-se aumentando a banda em

$$U_{c} = \frac{n}{k} U [Hz]$$
 (2.107)

onde

U é a banda ocupada pelo sistema sem codificação.

Os sistemas de transmissão da atualidade trabalham nas fronteiras de suas larguras de banda e de suas potências. Por isso mostra-se inviável projetar sistemas de maior eficiência, utilizando o critério estrutural de transmissão-recepção tradicional apresentado na Fig. 2.7(a).

O trabalho apresentado por Massey [14], no ano de 1974, mostra que é possível melhorar o comportamento dos sistemas, considerando a codificação e a modulação como uma única entidade. Mais tarde, dentro desta linha, Ungerboeck [1] no ano de 1982 apresenta uma técnica que lhe permite obter ganhos significativos sobre os sistemas de modulação convencionais. Esta técnica, que considera como base o processo de codificação

e modulação como uma única entidade - vide Fig. 2.7(b) - e daí o nome de Modulação Codificada, não sacrifica a eficiência espectral do sistema. Isto é, não modifica nem a taxa de informação nem a largura de banda de ocupação.

Na Fig. 2.8, mostra-se o gráfico [1] capacidade de canal C [bit/T<sub>S</sub>] versus relação sinal ruído S/N[dB] onde

$$T_{S}[s]$$
 é o intervalo de modulação (2.108)

Neste gráfico, mostra-se curvas de capacidade de canal discretos sem memória limitados em banda e interferidos por ruído AWGN, para os sistemas QAM-8/16/32/64. A potência média da constelação dos sistemas QAM é considerada unitária.

Observa-se que as curvas apresentadas para os sistemas permanecem constantes e começam a se curvar no momento em que é incorporada a codificação.

Por exemplo, no caso de se usar o sistema de modulação não codificado QAM-8, precisa-se de uma taxa de 3 bit/T<sub>S</sub> e uma relação sinal/ruído de 17 dB aproximadamente, para uma probabilidade de erro de símbolo de 10<sup>-5</sup>. Se agora duplica-se a constelação para QAM-16, pode-se transmitir teoricamente a 3 bit/T<sub>S</sub> sem erro de símbolo utilizando-se ilimitado esforço de codificação e decodificação com uma relação sinal/ruído de agora 9,5 dB aproximadamente. Obtem-se assim um ganho, ao dobrar a constelação de 7,5 dB. Por outro lado, para transmitir 3 bit/T<sub>S</sub>, usando constelações maiores, o ganho não diferiria substancialmente do calculado, já que as curvas para estas constelações iriam se encontrar nas imediações da curva do QAM-16 para 3 bit/T<sub>S</sub>.

Assim, Ungerboeck [1,2,3] observa que é suficiente dobrar os símbolos de canal e, mediante alguma técnica, codificar e modular obtendo-se ganhos significativos sobre os sistemas não codificados.

Ao se duplicar o alfabeto de modulação, a técnica aproveita a redundância de símbolos de canal para realizar um controle de erro através de codificação.

Esta codificação é feita de tal forma que realiza um adequado mapeamento entre os n+1 bit de canal de taxa rb" e os

$$M' = 2^{n+1}$$
 [símbolo] (2.109)

símbolos de canal de taxa

$$r_s = \frac{r_b''}{\log_2 M}$$
 [símbolo de canal / s] (2.110)

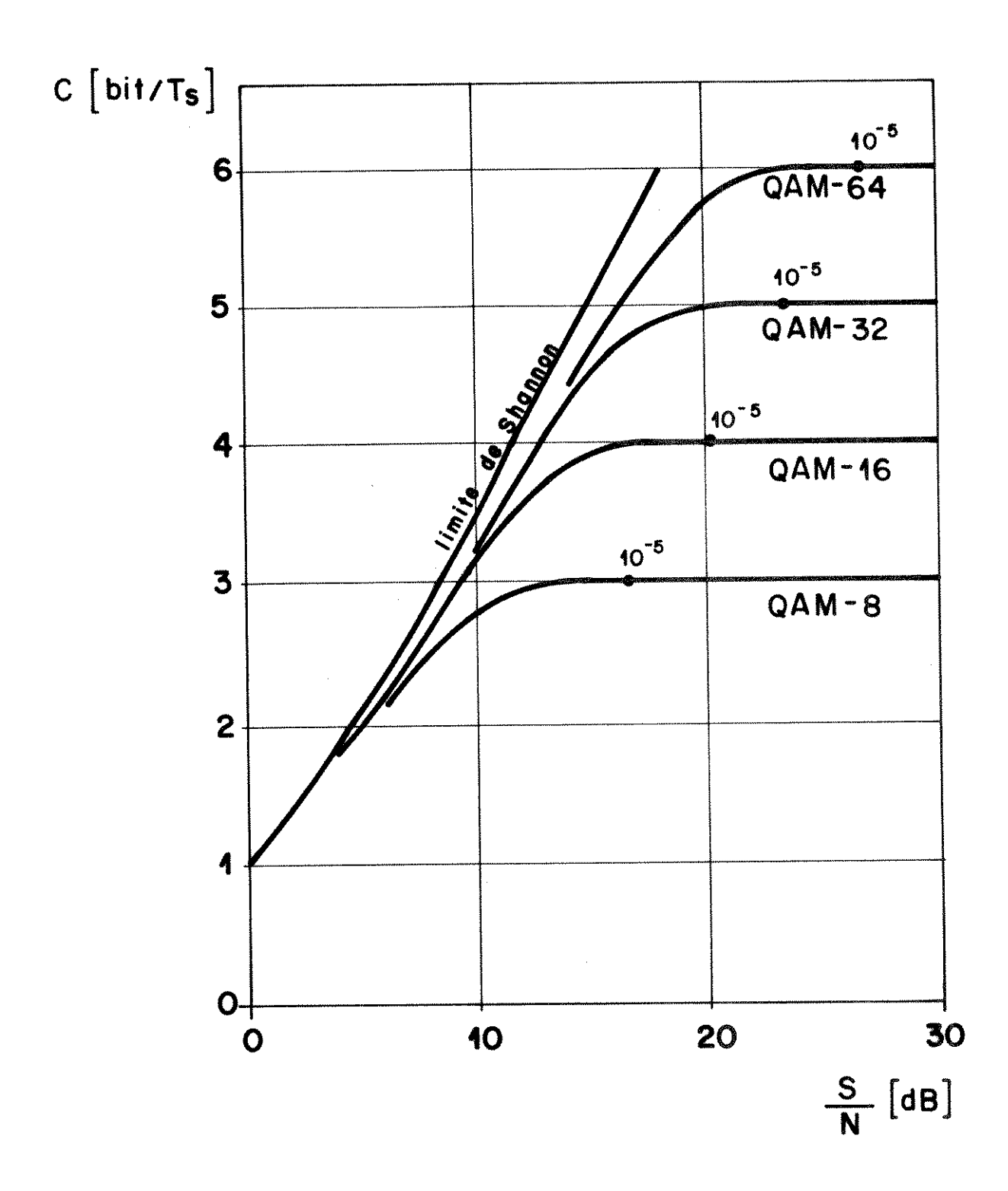


Fig. 2.8 Capacidade de canal versus relação sinal/ruído para alguns sistemas QAM.

A regra de mapeamento utilizada é a chamada "Mapeamento por Partição de Conjunto" que consiste em sucessivas partições, realizadas pela codificação, do conjunto dos M' símbolos de canal em subconjuntos onde vai-se incrementando o quadrado das Distâncias Mínimas Euclidianas  $\Delta_0^2 \langle \Delta_1^2 \rangle \langle \Delta_2^2 \rangle \langle \Delta_3^2 \rangle$  entre os símbolos que compõem cada subconjunto. O conceito de partição de conjunto aplicado ao sistema QAM-16 é mostrado na Fig. 2.9. A modulação codificada pode ser implementada mediante códigos convolucionais ou códigos de bloco. Também é possível utilizar códigos concatenados [13].

Muitos trabalhos usando códigos convolucionais (TCM) foram desenvolvidos. Citam-se alguns a seguir.

A arquitetura TCM é mais sensível às variações de fase que o sistema não codificado. Um estudo [15, 16] aborda a codificação invariante à rotação de fase.

Constelações assimétricas [17] são utilizadas, obtendo-se melhorias de desempenho em relação ao sistema TCM tradicional.

Melhores códigos convolucionais para as modificações PSK-16 e 32, usando a técnica de modulação codificada, foram desenvolvidos por Benedetto et alli [18].

Utilizando-se constelações multidimensionais, Fang Wei [19] obteve melhor tolerância à ambiguidade de fase e um melhor ompromisso entre ganho de codificação e complexidade.

Por outro lado, no trabalho de Wolf & Pandovani [20] para modulação codificada, combinam-se as modulações FSK e PSK, fazendo uso de codificação por treliça, conseguindo-se melhorar o desempenho deste em relação ao esquema de modulação PSK não codificado.

A técnica de modulação codificada utilizando anéis de inteiros Módulo-q para códigos convolucionais [21], permite criar códigos multiníveis baseados em anéis de resíduos de inteiros.

Mencionam-se a seguir alguns trabalhos realizados utilizando códigos de bloco.

Dentre os pioneiros desta área, um que destaca o uso da partição de conjunto, foi Cusack [22], utilizando o espaço de sinais QAM e códigos de Reed-Muller.

Outros tipos de modulação foram utilizados por Sayegh [23] como extensão do trabalho de Cusack.

Com relação ao processo de decodificação, Sayegh [23] apresenta um processo mais adequado para o caso onde o número de bits de informação é grande. Outro foi desenvolvido por Williams e Farrell [24].

Também, para códigos de blocos, pesquisou-se modulação codificada sobre anéis de inteiros Módulo-q [25].

Forney et al. [26] apresenta uma revisão, que mostra, dentre outras coisas, o trabalho estrutural para modulação codificada utilizando códigos de blocos e códigos convolucionais. Também comentam sobre algumas técnicas apresentadas até essa época.

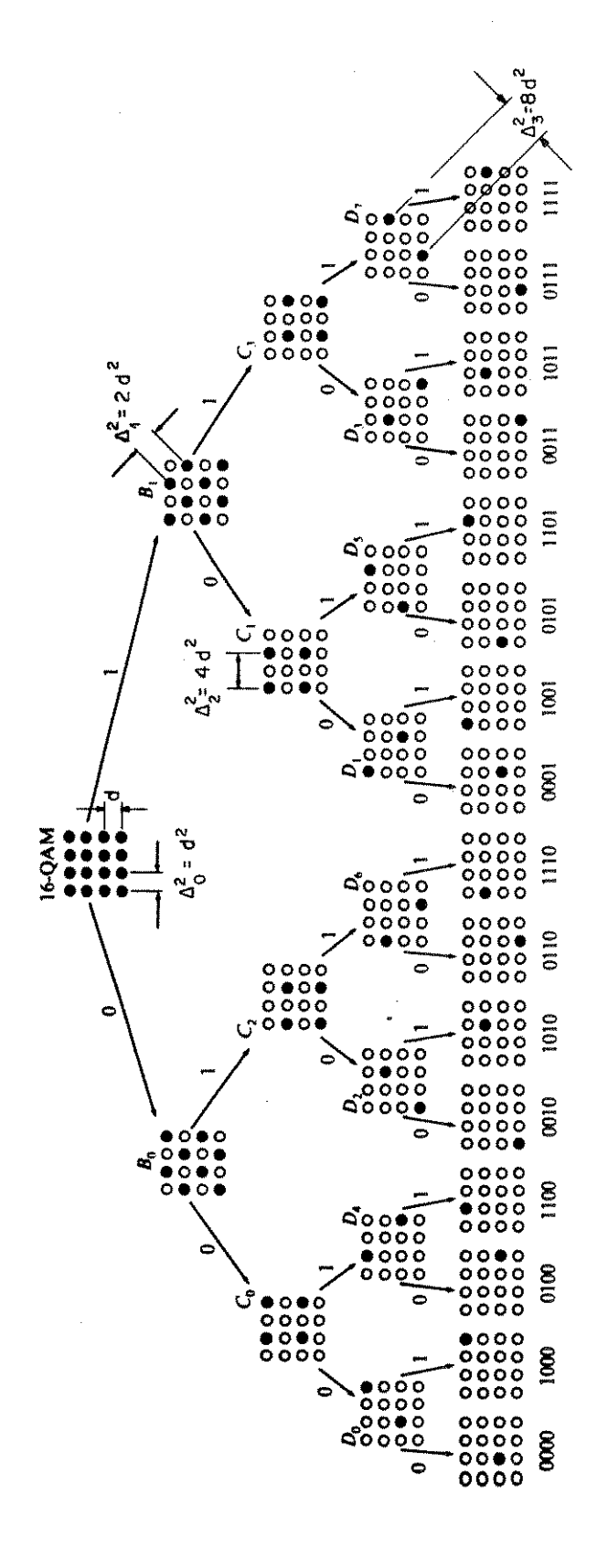


Fig. 2.9 Partição do conjunto de sinais do sistema QAM-16 incrementando o quadrado das distâncias mínimas  $\Delta_{\circ}^{2}, \ \Delta_{1}^{2}, \ \Delta_{2}^{2} \in \Delta_{3}^{2}$  dos subconjuntos.

### 2.9.1 Modulação Codificada usando Códigos Convolucionais (TCM)

O codificador convolucional (n, k, m) é um dispositivo de k entradas, n saídas e m memórias.

Atua como uma máquina finita de 2<sup>m</sup> estados com transições entre os mesmos, que pode ser representada por um Diagrama de Estados. Existem 2<sup>k</sup> transições chegando ou partindo de cada estado.

As transições entre estados, no transcurso do tempo, são descritas mediante o Diagrama de Treliça. Depois de m tempos de símbolos, a treliça entra em estado de regime, onde cada janela de tempo da treliça possui  $2^{(k+m)}$  transições.

Em seguida apresenta-se alguns conceitos que serão utilizados neste item.

 Define-se a Distância Livre dfree de um código convolucional, como o mínimo dos quadrados das distâncias euclideanas entre pares de sequências de símbolos de canal distintas que o codificador pode gerar.

$$- d_{free}^2 = min \{ \Delta^2 \text{ entre pares de sequências distintas} \}$$
 (2.111)

 Define-se como Ganho Assintótico a diferença entre as relações sinal/ruído do sistema codificado e o não codificado quando a relação sinal/ruído é muito grande

$$G_{a}[dB] = 10 \log_{10} \left\{ \left( \frac{S}{N} \right)_{c} - \left( \frac{S}{N} \right) \right\}; \frac{S}{N} \to \infty$$

$$= 10 \log_{10} \left\{ \frac{d_{free}^{2} c}{S_{c}} / \frac{d_{free}^{2}}{S} \right\}$$
(2.112)

onde d<sub>free</sub>c é o quadrado da Distância Livre do código do sistema expandido e d<sub>free</sub> do sistema base; S<sub>C</sub> é a potência média da constelação (vide item 2.1 do capítulo seguinte) do sistema expandido e S do sistema base.

- Codificador Sistemático Equivalente com Realimentação

As saídas do codificador convolucional podem ser representadas pelo polinômio

$$b(D) = [b_{k+1}(D), b_{k}(D), ..., b_{1}(D)]$$
(2.113)

que deve satisfazer a seguinte equação

$$b(D) H^{T}(D) = 0$$
 (2.114)

onde

$$H(D) = [H^{k+1}(D), H^{k}(D), ..., H^{1}(D)]$$
 (2.115)

é a Matriz Verificação de Paridade do código que é constituída, para m ≥ 2, por

$$H^{i}(D) = 0$$
 ;  $p+1 < i \le k+1$  (2.116)

$$H^{i}(D) = H_{m-1}^{i} D^{m-1} + H_{m-2}^{i} D^{m-2} + \dots + H_{1}^{i} D; 2 \le i \le p+1$$
 (2.117)

$$H^{1}(D) = D^{m} + H_{m-1}^{1} D^{m-1} + H_{m-2}^{1} D^{m-2} + \dots + H_{1}^{1} D + 1$$
 (2.118)

onde p é o número de bit da entrada do código que será verificado; estes bits são responsáveis pela seleção dos subconjuntos. Existem (k-p) bits que passam a saída do codificador e que são responsáveis pela seleção dos símbolos de canal dentro de cada subconjunto. No Diagrama de Treliça existem  $2^{(k-p)}$  transições paralelas.

Na Fig. 2.11 mostra-se o esquema geral de um Codificador-Modulador utilizando codificador sistemático equivalente com realimentação.

A seguir, descreve-se o método heurístico de Ungerboeck [1, 2] através de um exemplo.

### Exemplo

Seja o sistema QAM-8, cuja constelação mostra-se na Fig. 2.10(a), de potência média S.

Pretende-se usar modulação codificada com um código convolucional (4,3,2), de matriz verificação de paridade

$$H(D) = [0, 0, D, D^2 + 1]$$
 (2.119)

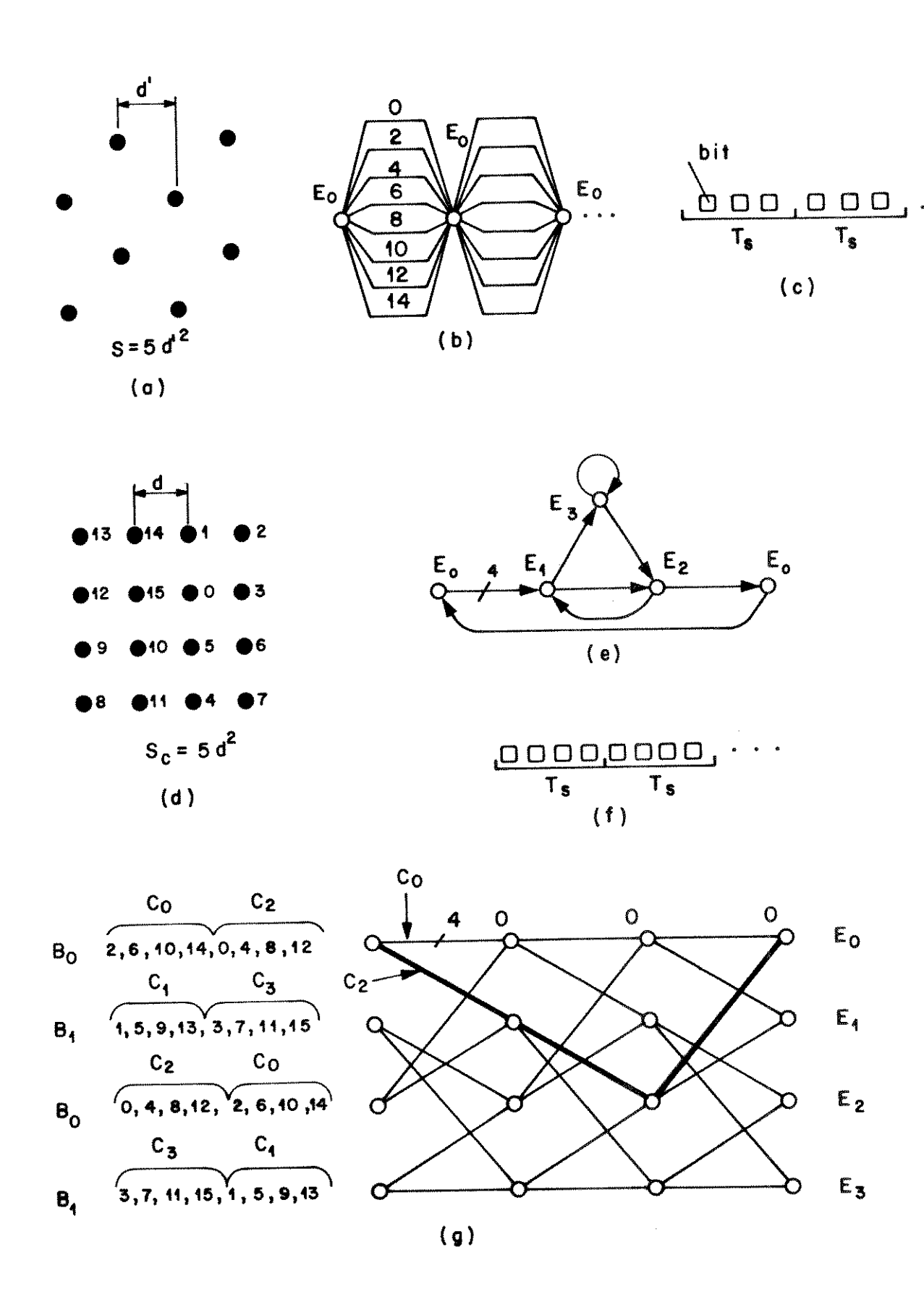
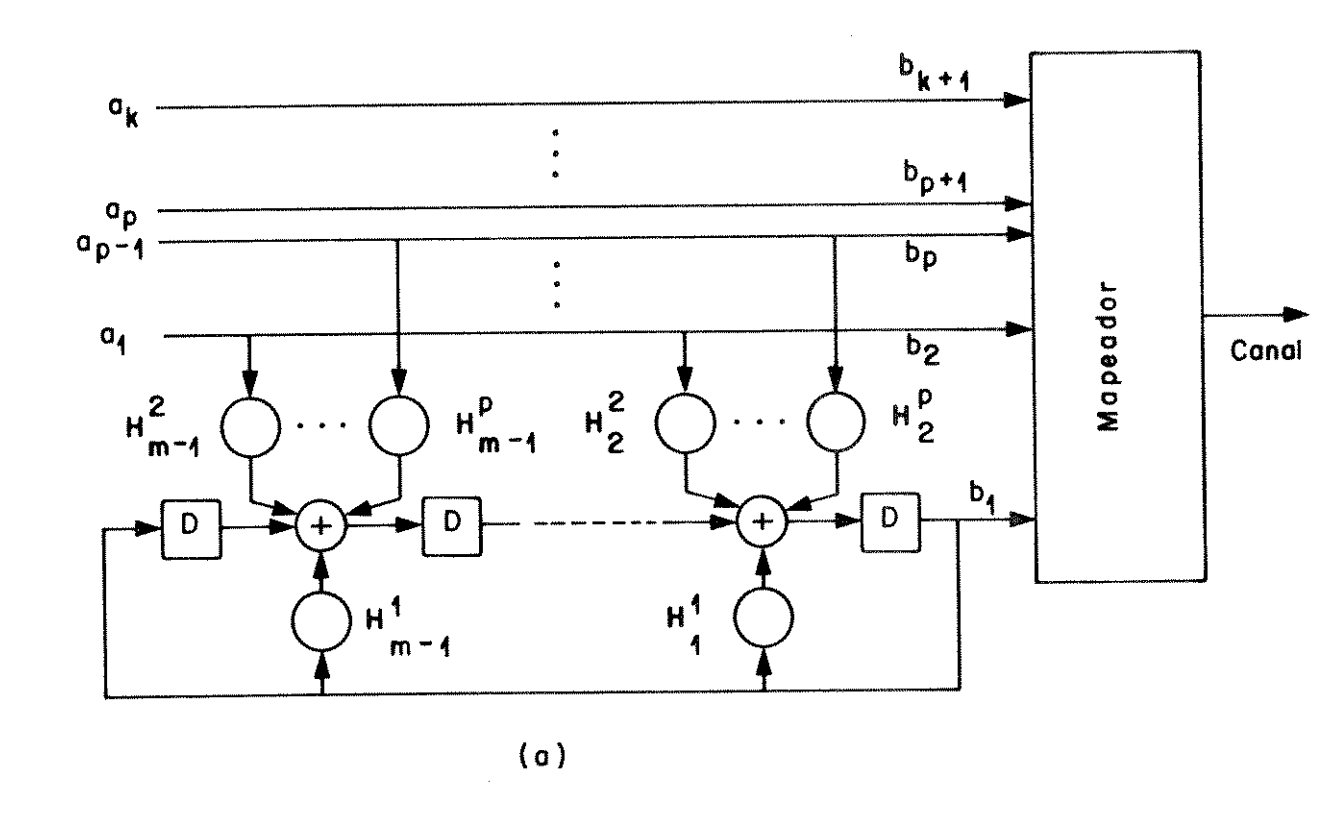


Fig. 2.10 Ilustrações relacionadas ao exemplo.



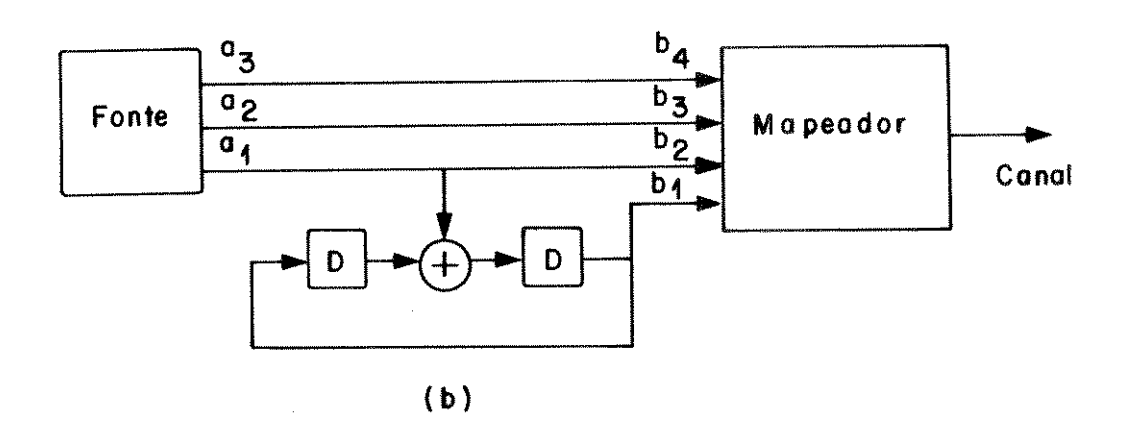


Fig. 2.11 Estrutura para modulação codificada.

- (a) Estrutura geral.
- (b) Caso particular.

#### Sistema não codificado:

O Sistema QAM-8 tomado como referência, possui um diagrama de treliça de um estado, com 8 transições paralelas partindo e chegando neste estado como ilustra-se na Fig. 2.10(b).

As transições paralelas serão atribuídas com os sinais de canal de grupo B<sub>0</sub> das partições mostradas na Fig.2.9, que corresponde ao diagrama de sinais desta constelação.

Assim, a distância livre do sistema base será

 $d_{free}^2 = min \{ \text{quadrado da distância mínima euclidiana dos sinais do grupo } B_0 \}$ 

$$= \min \left\{ \Delta_1^2 \right\}$$

$$= 2d^2 \tag{2.120}$$

Por outro lado, a taxa de bit de informação será

$$r_b = \frac{3}{Ts} \left[ bit / s \right] \tag{2.121}$$

considerando que a fonte de informação entrega 3 bits em T<sub>S</sub> segundos. Mostra-se na Fig. 2.10(c), um desenho explicativo.

#### Sistema expandido:

Para obter-se ganho sobre o sistema QAM-8, é suficiente dobrar o espaço de sinais. Portanto deve-se codificar o sistema QAM-16, cujo diagrama de sinais numerado mostra-se na Fig. 2.10(d); esta constelação possui potência média S<sub>C</sub>.

O diagrama de estados do sistema codificado possui 4 estados E<sub>0</sub>, E<sub>1</sub>, E<sub>2</sub> eE<sub>3</sub>, com 8 transições partindo e chegando em cada estado. Assim possui 4 transições paralelas entre estados, como mostrado na Fig. 2.10(e). Após 2 janelas de tempo, o diagrama de treliça apresenta 32 transições por janela ou 8 transições entre estados como ilustrado na Fig. 2.10(g), onde o númeo de transições paralelas é indicado como um número 4 por razões de espaço.

Considera-se por convenção, o Caminho Todo Nulo, como o caminho existente entre estados  $E_0$  e, se por alguma interferência (ruído AWGN), saírmos deste estado, o menor caminho realizado para voltar ao estado  $E_0$  será o caminho  $E_0$  -  $E_1$  -  $E_2$  -  $E_0$  que é mostrado com linha grossa no diagrama de treliça.

Uma vez escolhido o diagrama de treliça, resta atribuir às transições deste diagrama os sinais de canal do sistema expandido, de modo a se conseguir o máximo d<sub>free</sub>c. Para isto utiliza-se as regras dadas por Ungerboeck:

- 1. Todos os sinais da constelação expandida ocorrem com igual frequência, com a mesma regularidade e simetria.
- 2. As transições paralelas na treliça, receberão sinais dos subconjuntos de máxima distância mínima euclideana. Isto é, um dos subconjuntos  $C_0$ ,  $C_1$ ,  $C_2$ ,  $C_3$  para cada transição paralela com  $\Delta_2^2 = 4d^2$ .
- 3. As transições que partem ou chegam a um estado recebem sinais dos subconjuntos B<sub>0</sub> ou B<sub>1</sub> de  $\Delta_1^2 = 2d^2$ .

Deste modo as transições da treliça recebem sinais de canal adequados para obter-se o máximo dfree como é mostrada na Fig. 2.10(g).

Na Tabela 2.3, mostra-se a lógica de mapeamento entre as saídas do codificador e os símbolos de canal.

Para calcular a distância livre, tem-se

 $d_{free}^2 c = min$  {distância mínima entre transições paralelas, distância do caminho mínimo com respeito ao caminho todo nulo}

min {distância no grupo C<sub>0</sub>, distância entre o grupo C<sub>0</sub> e C<sub>2</sub> +
 distância entre o grupo C<sub>0</sub> e C<sub>1</sub> + distância entre o grupo C<sub>0</sub> e C<sub>2</sub>}

$$= \min \left\{ \frac{2}{\Delta_2}, \frac{2}{\Delta_1} + \frac{2}{\Delta_0} + \frac{2}{\Delta_1} \right\}$$

$$= \min \left\{ 4d^2, 5d^2 \right\}$$

$$= 4d^2$$
(2.122)

Para códigos de até 8 estados, é possível realizar a correspondência dos sinais de canal para as transições, "a mão". Para maior número de estados, um suporte computacional é necessário a fim de achar o dfreec.

Assim, obtem-se um ganho assintótico utilizando modulação codificada neste caso de

$$G_a[dB] = 10 \log_{10} \left\{ \frac{4d^2}{5d^2} / \frac{2d^{'2}}{5d^{'2}} \right\}$$

$$= 3dB \qquad (2.123)$$

Tabela 2.3 Lógica de mapeamento de sinais de canal.

	Subconjuntos C <sub>2</sub> ou C <sub>3</sub>	Seleção dentro de cada Subconjunto		Símbolo QAM-16
b <sub>4</sub>	b3	b <sub>2</sub>	b <sub>1</sub>	
0	0	0	0	10
0	0	0	1	2
0	О	1	0	6
0	0	1		14
0	1	0	0	8
0	1	0	1	0
0	1	11	0	4
0	1	1	1	12
1	0	0	0	5
1	0	0	1	13
1	0	1	0	9
1	0	1	1	1
1	1	0	0	7
1	1	0	1	15
1	1	1	0	11
1	1	1	1	3

Por outro lado se a taxa de modulação é

$$R_{M} = n + 1$$
 [bit/símbolo de canal] (2.124)

e a taxa da modulação codificada é

$$R_{MC} = \frac{r_b}{r_S} = R \cdot R_M$$
 [bit/símbolo de canal] (2.125)

então a taxa de símbolo será

$$r_{s} = \frac{r_{b}}{R \cdot R_{M}} = \frac{3/T_{s}}{\frac{3}{4} \cdot 4} = \frac{1}{T_{s}} [\text{símbolo de canal/s}]$$
 (2.126)

isto significa que no tempo T<sub>S</sub> o sistema de modulação codificada transmite um símbolo da constelação QAM-16, ou seja 4 bits. A Fig. 2.10(f) serve para ilustração. Portanto no sistema expandido precisa-se transmitir mais bit no tempo T<sub>S</sub>, o que demanda um sistema mais rápido e de maior custo.

Pode-se perceber que a largura de faixa de ocupação do sistema codificado não foi alterada, sendo igual ao sistema não codificado, isto é

$$W_c = W = \frac{1}{T_s} [Hz] \qquad (2.127)$$

Para o codificador convolucional em questão, tem-se os seguintes parâmetros

$$k = 3$$
 $p = 1$ 
 $m = 2$ 
(2.128)

obtendo-se, segundo a Fig. 2.11(a)

$$H^{i}(D) = 0 : H^{3}(D) = H^{4}(D) = 0 \quad 2 < i \le 4$$
 (2.129)

$$H^{i}(D) = H_{1}^{i} D : H_{1}^{2} = 1 \quad 2 \le i \le 4$$
 (2.130)

$$H^{1}(D) = D^{2} + H_{1}^{1}D + 1 : H_{1}^{1} = 0$$
 (2.131)

e segundo o dado da expressão (2.119), tem-se o codificador mostrado na Fig. 2.11(b).

O processo de decodificação mais adequado para evitar perdas de informação no receptor é mediante uma decodificação por decisão suave. A sequência enviada pelo transmissor, composta por sinal interferido por ruído AWGN, chega ao receptor onde é amostrado. O decodificador de sequência determina dentre as sequências codificadas possíveis aquela que pode gerar a sequência que mais perto está da sequência recebida, isto é, a sequência que possua a menor distância euclidiana e toma esta como uma estimativa da sequência original.

Nos códigos convolucionais, o algoritmo de Viterbi [13] é utilizado no processo de decodificação, a decodificação por decisão suave pode-se efetuar em dois passos:

- a) Dentro de cada subconjunto C<sub>0</sub>, C<sub>1</sub>, C<sub>2</sub>, C<sub>3</sub> associados às transições paralelas mediante os sinais b<sub>3</sub> e b<sub>4</sub>, escolhe-se o sinal mais perto ao sinal recebido. Estes sinais são armazenados juntamente com o quadrado de suas distâncias mínimas em relação ao sinal recebido.
- b) Utiliza-se o algoritmo de Viterbi para achar o caminho do sinal através da treliça. Este caminho possui a soma mínima do quadrado das distâncias euclidianas em relação ao sinal recebido.

A probabilidade do decodificador errar no passo a), isto é, tomar uma decisão errada nas transições paralelas, ou errar no passo b), isto é, decidir por um caminho incorreto por desvio de um estado, é chamado de Erro de Evento.

Para altas relações sinal/ruído, a probabilidade de erro de evento fica

$$P_r(e) \approx N(d_{free}) \cdot Q(d_{free}/2\sigma)$$
 (2.132)

onde

$$\sigma^2$$
 é a variância do ruído AWGN (2.135)

Na Tabela 2.4 listam-se códigos convolucionais adequados para TCM "Trellis Coded Modulation" dados por Ungerboeck para sistemas QAM. Foram obtidos computacionalmente mediante o programa desenvolvido pelo autor [1]. Nesta Tabela, os códigos são representados por seus polinômios verificação de paridade mediante a notação octal. Especifica-se o parâmetro p e o número de memórias m do código em função do número de estados. Para cada código, mostra-se o quadrado da distância livre normalizado com  $\Delta_o^2$ . Especifica-se também o parâmetro N(dfree). A taxa do código está implicitamente mostrado através do valor de k. Assim, comparações entre os sistemas QAM-8/PSK-4, QAM-16/QAM-8, QAM-32/QAM-16 e QAM-64/QAM-32 são realizadas, mostrando-se os ganhos assintóticos para cada código.

Tabela 2.4 Códigos convolucionais para modulação codificada em sistemas QAM.

	Coeficientes Verificação de Paridade				Ganho Assintótico [dB]	ntótico [dB]		
H <sub>3</sub> (D) H <sub>2</sub> (D)		H <sub>1</sub> (D)	$\frac{d_{free}^2}{\Delta_0^2}$	k=2 QAM-8 /PSK-4	k=3 QAM-16 /QAM-8	k=4 QAM-32 /QAM-16	k=5 QAM-64 /QAM-32	N(dfree)
2	1	\$	4,0	~2,0	~3,0	~2,8	~30	4
02	ı	11	5,0	3,0	4,0	3,8	4,0	91
04	4	23	6,0	3,8	4,8	4,6	4,8	99
90	1	41	6,0	3,8	4,8	4,6	4,8	16
064 016		101	7,0	4,5	5,4	5,2	5,4	56
042 014	1	203	8,0	5,1	6,0	5,8	0,9	344
305 056	1	401	8,0	5,1	0,9	5,8	6,0	44
0510 0346	,	1001	0.6	5.6	ŧ	•	1	4

## CAPÍTULO 3

## Sistema de Transmissão Digital {QAM}<sup>2</sup>

Neste capítulo analisa-se o sistema {QAM}<sup>2</sup>, abordando a concepção do sistema assim como o estudo da potência média do ruído no receptor.

## 3.1 Sistema {QAM}<sup>2</sup>

Pretende-se, com este sistema, transmitir dois sinais QAM superpostos e posteriormente realizar a separação no receptor.

Para isto, os sinais a serem transmitidos podem ser escritos, conforme analisado no capítulo 2, da seguinte forma

$$s_1(t) = A_1 \cos \left[\omega_1 t + \theta_1\right] \tag{3.1}$$

$$s_2(t) = A_2 \cos [\omega_2 t + \theta_2]$$
 (3.2)

Na Fig. 3.1(a) mostra-se o transmissor capaz de superpor os sinais  $s_1(t)$  e  $s_2(t)$ , definidos acima.

Para cada sistema, tem-se

$$r_{b_1}$$
 [bit / s] taxa de bit associada ao sistema QAM<sub>1</sub> (3.3)

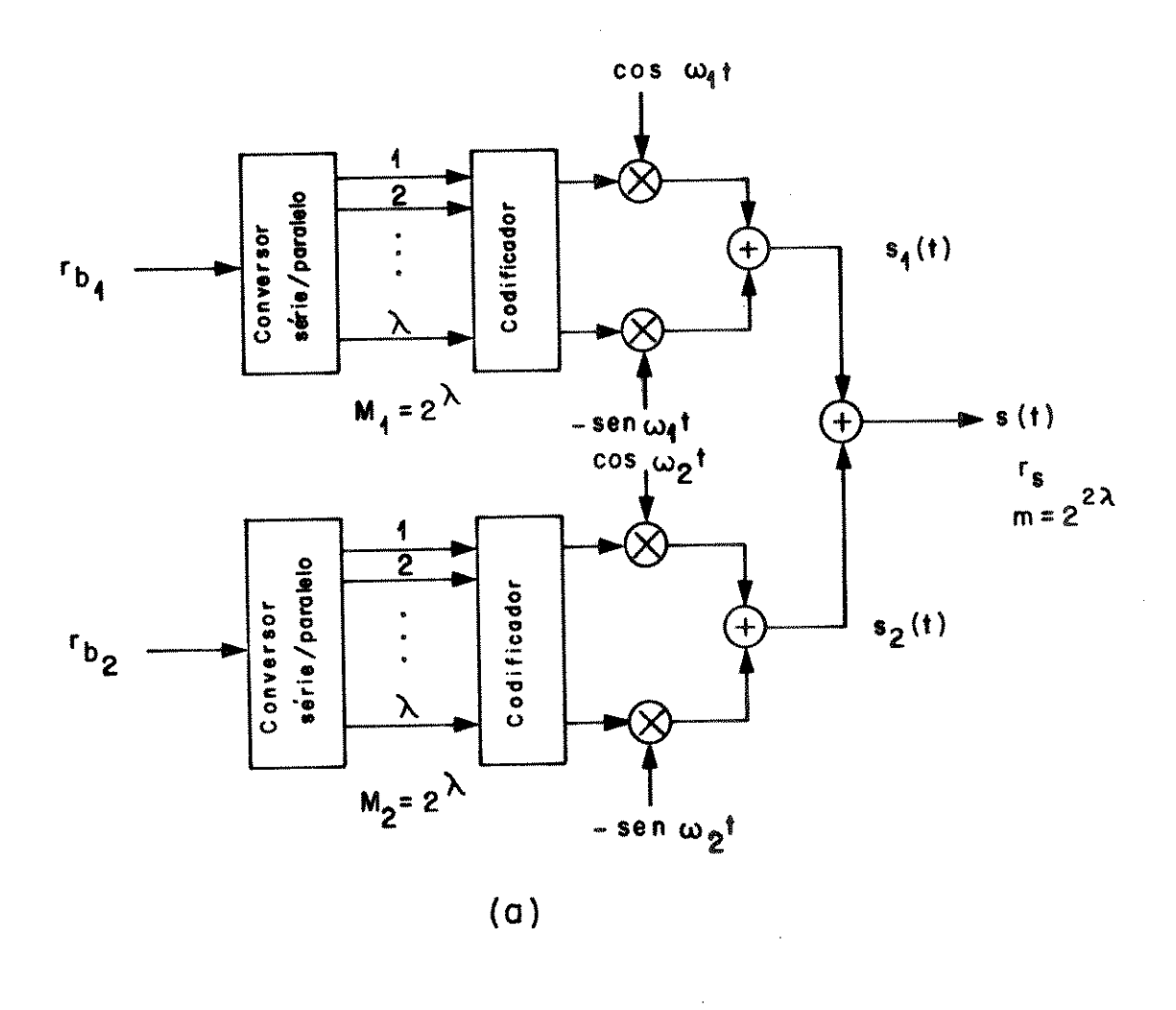
$$r_{b_2}$$
 [bit /s] taxa de bit associada ao sistema QAM<sub>2</sub> (3.4)

possuindo, os dois sistemas, a mesma taxa de bit de informação ( $r_{b_1} = r_{b_2}$ )

Através de conversores série/paralelo transforma-se esta informação serial em  $\lambda$  saídas paralelas, originando-se deste modo,  $2^{\lambda}$  pontos no diagrama de sinais para cada constelação. Isto é

$$M_1 = 2^{\lambda} \tag{3.5}$$

$$M_2 = 2^{\lambda} \tag{3.6}$$



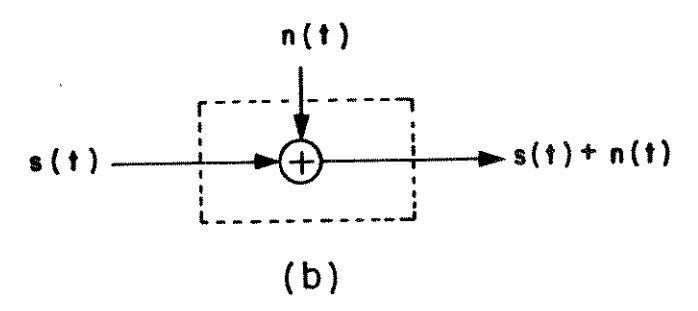


Fig. 3.1 Sistemas de transmissão digital {QAM}<sup>2</sup>.

- (a) Transmissor.
- (b) Canal de transmissão.

Mas, como os sinais serão transmitidos simultaneamente, o sistema {QAM}<sup>2</sup> possui a capacidade de transmitir m pontos no diagrama de sinais, onde

$$m = 2^{2\lambda} \tag{3.7}$$

Os restantes elementos no transmissor dão origem às formas de ondas para os dois sistemas QAM. Estas são somadas e transmitidas pelo canal de transmissão.

Assim, na saída do transmissor tem-se o sinal

$$s(t) = s_1(t) + s_2(t)$$
 (3.8)

capaz de carregar m símbolos, onde cada dois símbolos são transmitidos com taxa

$$r_{S}$$
 [símbolo/s] (3.9)

O canal de transmissão, mostrado na Fig. 3.1(b), é do tipo linear e de banda limitada como foi discutido no capítulo 2. Considera-se também que o canal é perturbado pelo ruído AWGN de banda estreita

$$n(t) = nI(t) \cos \omega_0 t - nO(t) \sin \omega_0 t$$
 (3.10)

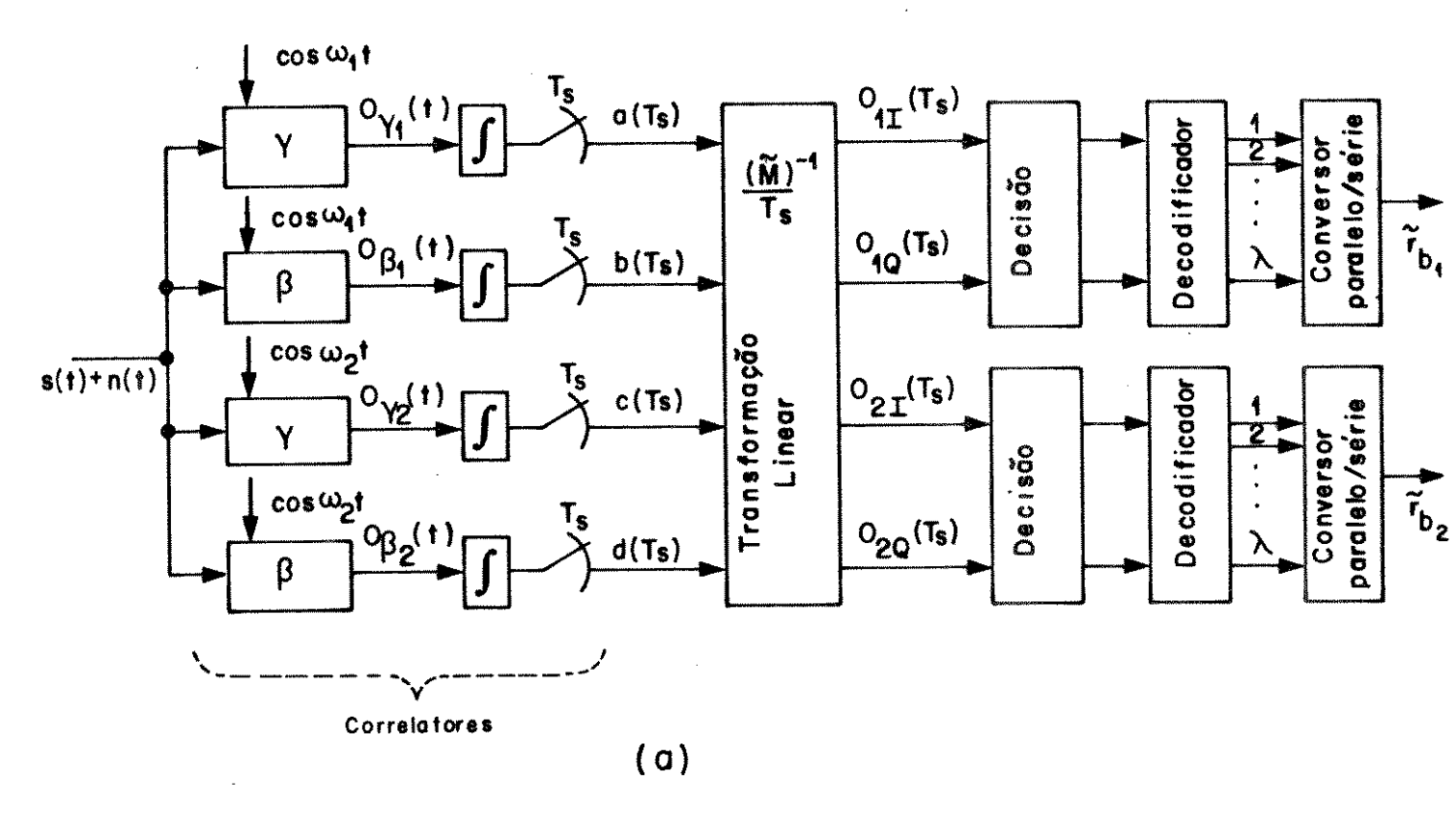
onde

$$\omega_0 = \frac{\omega_1 + \omega_2}{2} \quad [rad/s] \tag{3.13}$$

Observa-se que o ruído, como formulado por (3.10), está centrado na frequência angular  $\omega_0$ , resultado do valor médio entre  $\omega_1$  e  $\omega_2$ . Observe que este ruído está contido na faixa de ocupação do sinal superposto s(t).

O receptor do sistema {QAM}<sup>2</sup> é mostrado na Fig. 3.2(a). É composto principalmente de quatro correlatores, onde os sinais s<sub>1</sub>(t) e s<sub>2</sub>(t) são separados parcialmente. Em seguida é realizada uma amostragem para cada Ts segundos, onde

$$T_{s} = \frac{1}{r_{s}} [s] \tag{3.14}$$



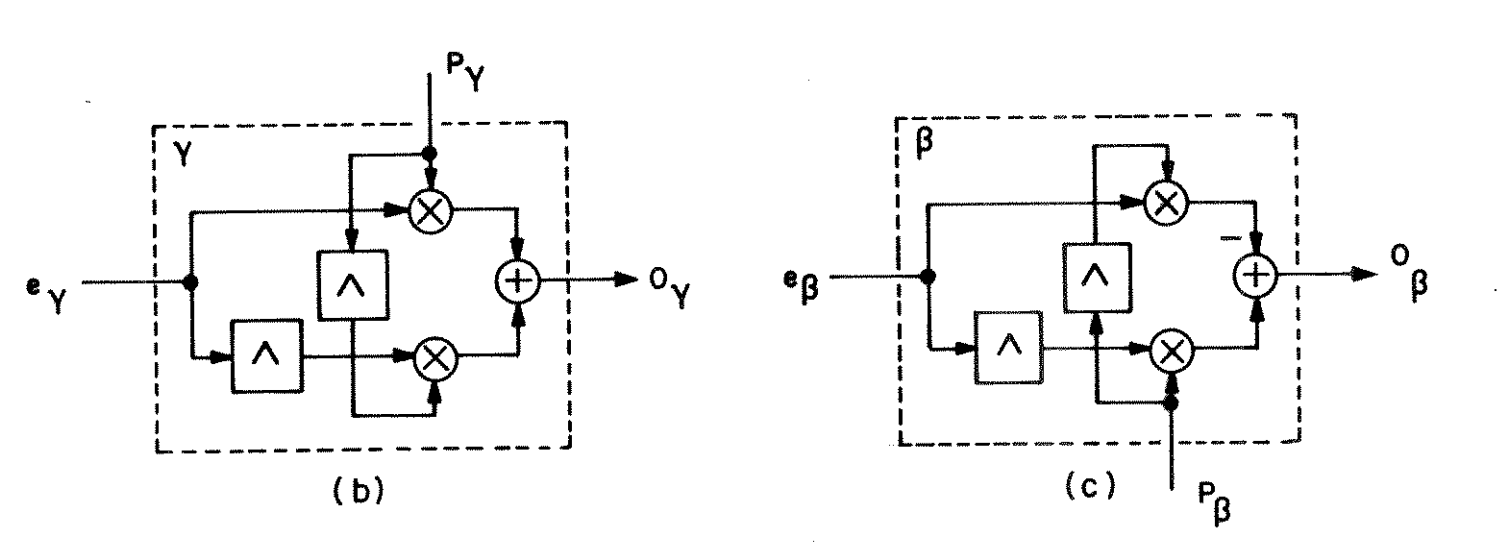


Fig. 3.2 Sistema de recepção digital {QAM}<sup>2</sup>.

- a) Receptor.
- b) Circuito tipo γ.
- c) Circuito tipo β.

Neste tempo de amostragem as grandezas A<sub>1</sub>, A<sub>2</sub>,  $\theta_1$  e  $\theta_2$ , definidas nas equações (3.1) e (3.2), permanecem constantes.

Depois da amostragem, os sinais  $a(T_S)$ ,  $b(T_S)$ ,  $c(T_S)$  e  $d(T_S)$ , são processados linearmente de modo a separar totalmente as duas constelações QAM, que inicialmente foram superpostas.

Os sinais resultantes da transformação linear passam por estágios de decisão, de modo a estimar-se os parâmetros de informação carregados pelos dois sistemas.

Os decodificadores, juntamente com os conversores paralelo/série, realizam o processo inverso executado no transmissor, obtendo-se assim as taxas originais dos sinais  $s_1$  (t) e  $s_2$ (t).

Cada correlator é composto de um amostrador, um integrador e um circuito, que pode ser tanto de tipo γγ como de tipo β. Estes circuitos são mostrados nas Fig. 3.2(b) e (c). Em cada um destes circuitos, utilizam-se as operações designadas por "^", que indicam uma transformação de Hilbert [27]. Esta transformação é analisada no Apêndice C e consiste basicamente em aplicar uma defasagem de -90 no sinal de entrada.

Os circuitos tipo  $\gamma$  e  $\beta$ , realizam os processos

$$O_{\gamma} = \hat{e}_{\gamma} \hat{p}_{\gamma} + e_{\gamma} p_{\gamma} \tag{3.15}$$

$$O_{\beta} = \hat{\mathbf{e}}_{\beta} \, \mathbf{p}_{\beta} - \mathbf{e}_{\beta} \, \hat{\mathbf{p}}_{\beta} \tag{3.16}$$

respectivamente.

Visando estudar o comportamento dos sinais de informação e ruído no receptor, analisaremos em seguida os circuitos tipo  $\gamma$  e  $\beta$ .

## 3.1.1 Análise do Circuito tipo y

A resposta deste tipo de circuito, equacionada em (3.15), pode ser escrita na forma

$$O_{\gamma} = O_{\gamma a} + O_{\gamma b} \tag{3.17}$$

onde

$$O_{\gamma a} = \hat{e}_{\gamma} \hat{p}_{\gamma} \tag{3.18}$$

$$O_{\gamma b} = e_{\gamma} p_{\gamma} \tag{3.19}$$

e

$$e_{\gamma} = s(t) + n(t) \tag{3.20}$$

$$p_{\gamma} = \cos \omega_{i} t \quad ; \qquad i=1,2 \tag{3.21}$$

Trabalhando sobre a expressão (3.18), substitui-se na mesma as expressões (3.20) e (3.21), obtendo-se

$$O_{\gamma a} = [s(t) + n(t)] = c\hat{o}s\omega_{i}t$$
(3.22)

e segundo a propriedades da transformada de Hilbert, conjuntamente com as equações (3.8) e (3.10), resulta

$$O_{\gamma a} = A_1 \operatorname{sen}[\omega_1 t + \theta_1] \operatorname{sen} \omega_i t + A_2 \operatorname{sen}[\omega_2 t + \theta_2] \operatorname{sen} \omega_i t + \\ + n_I(t) \operatorname{sen} \omega_0 t \operatorname{sen} \omega_i t + n_Q(t) \operatorname{cos} \omega_0 t \operatorname{sen} \omega_i t$$
(3.23)

Manipulando-se a equação (3.23) chega-se a

$$O_{\gamma a} = \frac{1}{2} A_1 \left\{ \cos[(\omega_1 - \omega_i)t + \theta_1] + \cos[(\omega_1 + \omega_i)t + \theta_1 + 180^\circ] \right\} + \\ + \frac{1}{2} A_2 \left\{ \cos[(\omega_2 - \omega_i)t + \theta_2] + \cos[(\omega_2 + \omega_i)t + \theta_2 + 180^\circ] \right\} + \\ + n_I(t) \operatorname{sen}_{O} t \operatorname{sen}_{O} t \operatorname{sen}_{O} t \operatorname{sen}_{O} t \operatorname{sen}_{O} t$$
(3.24)

Analisando agora, a expressão (3.19)

$$O_{\gamma b} = [s(t) + n(t)] \cos \omega_i t \tag{3.25}$$

Substituindo nesta última expressão as equações (3.8) e (3.10), obtém-se de forma similar

$$O_{\gamma b} = \frac{1}{2} A_1 \left\{ \cos[(\omega_1 - \omega_i)t + \theta_1] + \cos[(\omega_1 + \omega_i)t + \theta_1] \right\} +$$

$$+ \frac{1}{2} A_2 \left\{ \cos[(\omega_2 - \omega_i)t + \theta_2] + \cos[(\omega_2 + \omega_i)t + \theta_2] \right\} +$$

$$+ n_I(t)\cos\omega_0 t \cos\omega_i t - n_O(t) \sin\omega_0 t \cos\omega_i t$$
(3.26)

Portanto, substituindo as expressões (3.24) e (3.26) na (3.17), e após alguma manipulação obtem-se

$$O_{\gamma} = A_1 \cos[(\omega_1 - \omega_i)t + \theta_1] + A_2 \cos[(\omega_2 - \omega_i)t + \theta_2] + + n_I(t) \cos(\omega_0 - \omega_i)t - n_O(t) \sin(\omega_0 - \omega_i)t$$
(3.27)

Voltando para o circuito do receptor, mostrado na Fig. 3.2(a), obtem-se para  $\omega_i = \omega_1$  a seguinte expressão para  $O_{\gamma,1}(t)$ 

$$O_{\gamma 1}(t) = A_1 \cos \theta_1 + A_2 \cos \left[\Delta \omega t + \theta_2\right] + n_1(t) \cos \frac{\Delta \omega}{2} t - n_Q(t) \sin \frac{\Delta \omega}{2} t \qquad (3.28)$$

onde

$$\Delta \omega = \omega_2 - \omega_1 \tag{3.29}$$

Da mesma forma, o sinal e o ruído presentes em  $O_{v2}$  será dado por

$$O_{\gamma 2}(t) = A_2 \cos \theta_2 + A_1 \cos \left[-\Delta \omega t + \theta_1\right] + n_1(t) \cos \frac{\Delta \omega}{2} t + n_Q(t) \sin \frac{\Delta \omega}{2} t \qquad (3.30)$$

## 3.1.2 Análise do Circuito tipo β

Para a resposta deste tipo de circuito, segundo a expressão (3.16), tem-se

$$O_{\beta} = O_{\beta a} + O_{\beta b} \tag{3.31}$$

onde

$$O_{\beta a} = \hat{e}_{\beta} p_{\beta} \tag{3.32}$$

$$O_{\beta b} = -e_{\beta} \hat{p}_{\beta} \tag{3.33}$$

Também considera-se que

$$e\beta = s(t) + n(t) \tag{3.34}$$

$$p\beta = \cos\omega_i t$$
; para  $i=1,2$  (3.35)

De forma similar, como realizado no circuito tipo γ, a resposta do circuito tipo β será

$$O_{\beta}(t) = A_1 \operatorname{sen}[(\omega_1 - \omega_i)t + \theta_1] + A_2 \operatorname{sen}[(\omega_2 - \omega_i)t + \theta_2] + \\ + \operatorname{nI}(t) \operatorname{sen}(\omega_0 - \omega_i)t + \operatorname{nO}(t) \operatorname{cos}(\omega_0 - \omega_i)t$$
(3.36)

Voltando novamente ao circuito do receptor mostrado na Fig. 3.2(a), o sinal e o ruído presentes em Oβ1(t) são derivados da equação (3.36)

$$O_{\beta 1}(t) = A_1 \operatorname{sen}\theta_1 + A_2 \operatorname{sen}\left[\Delta\omega t + \theta_2\right] + n_1(t) \operatorname{sen}\frac{\Delta\omega}{2}t + n_Q(t) \cos\frac{\Delta\omega}{2}t \qquad (3.37)$$

De forma similar, o sinal e o ruído presentes em Oβ2(t)

$$O_{\beta 2}(t) = A_2 \operatorname{sen}\theta_2 + A_1 \operatorname{sen}\left[-\Delta\omega t + \theta_1\right] - n_1(t) \operatorname{sen}\frac{\Delta\omega}{2}t + n_Q(t) \cos\frac{\Delta\omega}{2}t \tag{3.38}$$

## 3.1.3 Sinal e Ruído no Receptor {QAM}<sup>2</sup>

Como mostra a Fig. 3.2(a), as saídas  $O\gamma_1(t)$ ,  $O\beta_1(t)$ ,  $O\gamma_2(t)$  e  $O\beta_2(t)$  achadas nas expressões (3.28), (3.37), (3.30) e (3.38) respectivamente, serão integradas num tempo igual ao período de amostragem  $T_S$ . Deste modo tem-se as seguintes expressões

$$a(T_s) = \int_0^{T_s} O_{\gamma 1}(t)$$
 (3.39)

$$b(T_s) = \int_0^{T_s} O_{\beta 1}(t) \tag{3.40}$$

$$c(T_s) = \int_0^{T_s} O_{\gamma 2}(t) \tag{3.41}$$

$$d(T_s) = \int_0^{T_s} O_{\beta 2}(t)$$
 (3.42)

Também, utilizam-se as seguintes igualdades

$$X_1 = A_1 \cos \theta_1 \tag{3.43}$$

$$Y_1 = A_1 \sin \theta_1 \tag{3.44}$$

$$X_2 = A_2 \cos \theta_2 \tag{3.45}$$

$$Y_2 = A_2 \sin \theta_2 \tag{3.46}$$

Define-se

$$K_{i} = \frac{\sin \Delta \omega T_{s}}{\Delta \omega T_{c}} \tag{3.47}$$

$$K_2 = \frac{\cos \Delta \omega T_s - 1}{\Delta \omega T_s} \tag{3.48}$$

Além disso tem-se os seguintes resultados

$$\int_{0}^{T_{s}} \operatorname{sen}[\pm \Delta \omega t + \theta] dt = T_{s}[K_{1} \operatorname{sen}\theta \mp K_{2} \cos \theta]$$
(3.49)

$$\int_{0}^{T_{s}} \cos[\pm \Delta \omega t + \theta] dt = T_{s} [K_{1} \cos \theta \pm K_{2} \sin \theta]$$
(3.50)

Assim, utilizando as equações (3.43-50) nas expressões (3.39-42), tem-se

$$a(T_S) = T_S[X_1 + K_1X_2 + K_2Y_2] + Q_a(T_S)$$
(3.51)

onde

$$Q_{a}(T_{s}) = \int_{0}^{T_{s}} \left[ n_{I}(t) \cos \frac{\Delta \omega}{2} t - n_{Q}(t) \sin \frac{\Delta \omega}{2} t \right] dt$$
 (3.52)

$$b(T_s) = T_s[Y_1 + K_1Y_2 - K_2X_2] + Q_b(T_s)$$
(3.53)

onde

$$Q_{b}(T_{s}) = \int_{0}^{T_{s}} \left[ n_{1}(t) \operatorname{sen} \frac{\Delta \omega}{2} t + n_{Q}(t) \cos \frac{\Delta \omega}{2} t \right] dt$$
 (3.54)

$$c(T_S) = T_S[X_2 + K_1X_1 - K_2Y_1] + Q_c(T_S)$$
(3.55)

onde

$$Q_{c}(T_{s}) = \int_{0}^{T_{s}} \left[ n_{1}(t) \cos \frac{\Delta \omega}{2} t + n_{Q}(t) \sin \frac{\Delta \omega}{2} t \right] dt$$
 (3.56)

$$d(T_S) = T_S[Y_2 + K_1Y_1 + K_2X_1] + Q_d(T_S)$$
(3.57)

onde

$$Q_{d}(T_{s}) = \int_{0}^{T_{s}} \left[ -n_{I}(t) \operatorname{sen} \frac{\Delta \omega}{2} t + n_{Q}(t) \cos \frac{\Delta \omega}{2} t \right] dt$$
 (3.58)

Pode-se escrever matricialmente as equações (3.51-58) da seguinte foma

$$\overrightarrow{O} = \begin{bmatrix} a(T_s) \\ b(T_s) \\ c(T_s) \\ d(T_s) \end{bmatrix}$$
 vetor de saídas (3.59)

$$\vec{S} = \begin{bmatrix} A_1 \cos \theta_1 \\ A_1 \sin \theta_1 \\ A_2 \cos \theta_2 \\ A_2 \sin \theta_2 \end{bmatrix} \text{ vetor de sin ais}$$
(3.60)

$$\vec{Q} = \begin{bmatrix} Q_a(T_s) \\ Q_b(T_s) \\ Q_c(T_s) \\ Q_d(T_s) \end{bmatrix}$$
 vetor de ruído (3.61)

$$\widetilde{\mathbf{M}} = \begin{bmatrix} 1 & 0 & \mathbf{K}_{1} & \mathbf{K}_{2} \\ 0 & 1 & -\mathbf{K}_{2} & \mathbf{K}_{1} \\ \mathbf{K}_{1} & -\mathbf{K}_{2} & 1 & 0 \\ \mathbf{K}_{2} & \mathbf{K}_{1} & 0 & 1 \end{bmatrix}$$
 matriz de acoplamento entre sistemas (3.62)

De forma compacta, as expressões matriciais anteriores, ficam

$$\overrightarrow{O} = T_s \overrightarrow{M} \overrightarrow{S} + \overrightarrow{Q}$$
 (3.63)

No diagrama em blocos do receptor, mostrado na Fig. 3.2(a), observa-se um estágio de transformação linear. Esta transformação é a solução linear do sistema de equações (3.63), para o vetor de sinais S. Isto é

$$\overrightarrow{S} + (T_s)^{-1} (\widetilde{M})^{-1} \overrightarrow{Q} = (T_s)^{-1} (\widetilde{M})^{-1} \overrightarrow{Q}$$
(3.64)

Portanto, pode-se escrever para a equação matricial (3.63)

$$\begin{bmatrix} O_{1I}(T_s) \\ O_{1Q}(T_s) \\ O_{2I}(T_s) \\ O_{2Q}(T_s) \end{bmatrix} = \begin{bmatrix} A_1 \cos \theta_1 \\ A_1 sen \theta_1 \\ A_2 \cos \theta_2 \\ A_2 sen \theta_2 \end{bmatrix} + \begin{bmatrix} Q_{1I}(T_s) \\ Q_{1Q}(T_s) \\ Q_{2I}(T_s) \\ Q_{2Q}(T_s) \end{bmatrix}$$

$$(3.65)$$

$$\begin{bmatrix} O_{11}(T_s) \\ O_{1Q}(T_s) \\ O_{21}(T_s) \\ O_{2Q}(T_s) \end{bmatrix} = (T_s)^{-1} \left( \tilde{M} \right)^{-1} \vec{O}$$

$$(3.66)$$

onde

 $O_{11}(T_s)$ ,  $O_{1Q}(T_s)$ ,  $O_{21}(T_s)$   $O_{2Q}(T_s)$  são as saídas indicadas na figura 3.2(a);

$$\left(\tilde{M}\right)^{-1} = \frac{1}{K} \begin{bmatrix} 1 & 0 & -K_1 & -K_2 \\ 0 & 1 & K_2 & -K_1 \\ -K_1 & K_2 & 1 & 0 \\ -K_2 & -K_1 & 0 & 1 \end{bmatrix}$$
(3.67)

$$K = 1 - (K_1^2 + K_2^2) \tag{3.68}$$

e

$$\begin{bmatrix}
Q_{11}(T_s) \\
Q_{1Q}(T_s) \\
Q_{21}(T_s) \\
Q_{2Q}(T_s)
\end{bmatrix} = \frac{1}{KT_s} \begin{bmatrix}
1 & 0 & -K_1 & -K_2 \\
0 & 1 & K_2 & -K_1 \\
-K_1 & K_2 & 1 & 0 \\
-K_2 & -K_1 & 0 & 1
\end{bmatrix} \begin{bmatrix}
Q_a(T_s) \\
Q_b(T_s) \\
Q_c(T_s) \\
Q_d(T_s)
\end{bmatrix}$$
(3.69)

Desta forma, como mostra a equação (3.65), consegue-se separar os dois sistemas QAM que foram superpostos na transmissão.

O grau de superposição dos sistemas é medido pelo fator  $\Delta\omega$  definido na expressão (3.29).

Se cada sistema é transmitido com uma largura de banda V[Hz], de modo a não termos interferência intersimbólica, como foi comentado no Capítulo 2, a largura de banda mínima permitida será

$$V = r_S [Hz] ag{3.70}$$

Então para o sistema {QAM}<sup>2</sup> que resulta da superposição de dois sinais simples QAM, a largura de banda será

$$W = \Delta f + r_S [Hz] \tag{3.71}$$

que pode-se escrever em função do parâmetro  $\Delta f/r_S$  que será muito utilizado nos itens subsequentes.

$$W = r_s \left( 1 + \frac{\Delta f}{r_s} \right) \tag{3.72}$$

onde

$$\Delta f = \frac{\Delta \omega}{2\pi} \tag{3.73}$$

Existem dois valores extremos para o parâmetro  $\Delta f$ . Quando os dois sistemas são transmitidos de tal modo que suas bandas de ocupação fiquem contíguas, sem superposição, isto é,  $\Delta f = r_S$ , os seguintes parâmetros resultam

$$K_1 = K_2 = 0$$
 (3.74)

$$W = 2 r_S \tag{3.75}$$

e a matriz de acoplamento entre os sistemas, definida em (3.62), é uma matriz unitária; isto significa que os dois sistemas transmitidos foram desacoplados.

O segundo ponto a ressaltar ocorre para  $\Delta f = 0$ . Isto significa que a superposição é total, um espectro está em cima do outro; na realidade está se transmitindo dois sinais QAM com mesma portadora e independentes entre si. Nestas condições temos os seguintes parâmetros

$$K_1 = 1$$

$$K_2 = 0$$

$$W = r_S$$

$$K = 0$$
(3.76)

Como K = 0, o sistema matricial (3.69) fica indeterminado. Em outras palavras, o sistema linear de equações dada em (3.64) não possui solução; não existem suficientes equações linearmente independentes para que a matriz M possua inversa.

Na Fig. 3.3 mostra-se uma forma mais compacta de representar os correlatores do circuito do receptor. Observa-se que, neste caso, utiliza-se somente três processos "^" de transformação em quadratura.

### Observação:

A solução linear apresentada em (3.64) é válida para o caso em que as duas portadoras  $\omega_1$  e  $\omega_2$  partem com fases nulas e depois de um período de tempo  $T_s$  realiza-se a amostragem. Neste ponto aquelas portadoras já não possuem as mesmas fases por serem de freqüências diferentes, mas a informação desta defasagem está embutida nos parâmetros  $K_1$  e  $K_2$ .

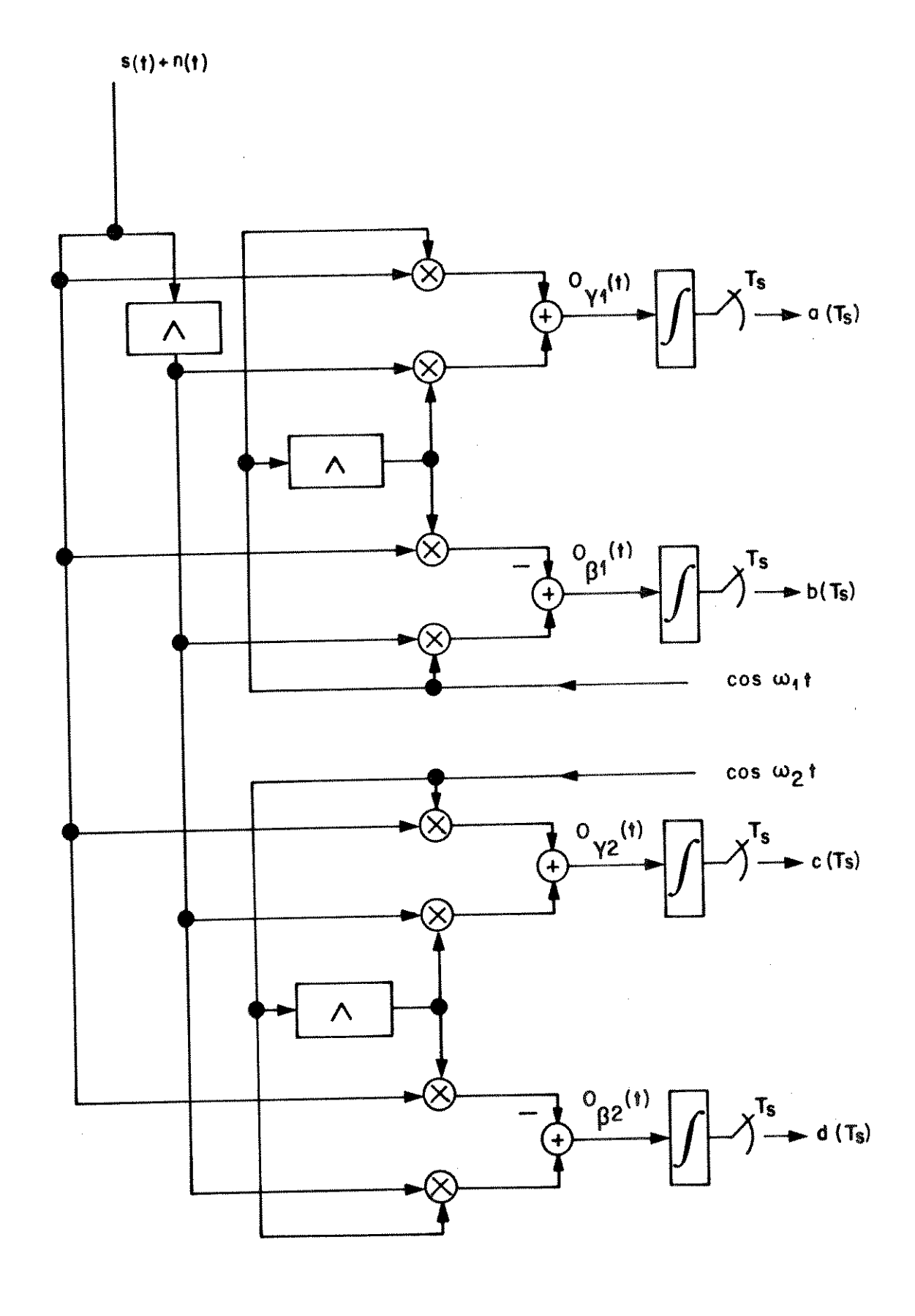


Fig. 3.3 Outra forma de representar os correlatores do circuito do receptor.

Para sucessivas amostragens de períodos  $T_S$  a solução linear dada em (3.64), não é válida e será analisada em detalhe no Capítulo 4.

# 3.2 Potência Média do Ruído no Receptor {QAM}<sup>2</sup>

No receptor  $\{QAM\}^2$  mostrado na Fig. 3.2(a), os sinais  $O_{1I}(T_S)$ ,  $O_{1Q}(T_S)$ ,  $O_{2I}(T_S)$ , e  $O_{2Q}(T_S)$  serão submetidos ao processo de decisão a fim de estimar os parâmetros de informação. É necessário para tanto calcular a potência média do ruído neste ponto. Estas potências serão utilizadas no capítulo seguinte.

As expressões dos ruídos que são de interesse para a análise foram mostradas na equação matricial (3.69). Transcrevendo esta de uma outra forma, tem-se

$$Q_{11}(T_s) = \frac{1}{KT_s} \{ Q_a(T_s) - K_1 Q_c(T_s) - K_2 Q_d(T_s) \}$$
(3.77)

$$Q_{1Q}(T_s) = \frac{1}{KT_s} \{ Q_b(T_s) - K_1 Q_d(T_s) + K_2 Q_c(T_s) \}$$
 (3.78)

$$Q_{2I}(T_s) = \frac{1}{KT_s} \{ Q_c(Ts) - K_1 Q_a(T_s) + K_2 Q_b(T_s) \}$$
 (3.79)

$$Q_{2Q}(T_s) = \frac{1}{KT_s} \{ Q_d(Ts) - K_1 Q_b(T_s) - K_2 Q_a(T_s) \}$$
 (3.80)

Calculando o valor quadrático médio de cada termo

$$\left\langle Q_{1I}^{2}(T_{s})\right\rangle = \frac{1}{K^{2}T_{s}^{2}} \left\{ \left\langle Q_{a}^{2}(T_{s})\right\rangle + K_{1}^{2}\left\langle Q_{c}^{2}(T_{s})\right\rangle + K_{2}^{2}\left\langle Q_{d}^{2}(T_{s})\right\rangle \right\} +$$

$$+2\left[-K_{1}\left\langle Q_{a}(T_{s})Q_{c}(T_{s})\right\rangle - K_{2}\left\langle Q_{a}(T_{s})Q_{d}(T_{s})\right\rangle +$$

$$+K_{1}K_{2}\left\langle Q_{c}(T_{s})Q_{d}(T_{s})\right\rangle \right] \right\}$$

$$(3.81)$$

$$\left\langle Q_{1Q}^{2}(T_{s})\right\rangle = \frac{1}{K^{2}T_{s}^{2}} \left\{ \left\langle Q_{b}^{2}(T_{s})\right\rangle + K_{1}^{2}\left\langle Q_{d}^{2}(T_{s})\right\rangle + K_{2}^{2}\left\langle Q_{c}^{2}(T_{s})\right\rangle \right\} +$$

$$+2\left[-K_{1}\left\langle Q_{b}(T_{s})Q_{d}(T_{s})\right\rangle + K_{2}\left\langle Q_{b}(T_{s})Q_{c}(T_{s})\right\rangle -$$

$$-K_{1}K_{2}\left\langle Q_{d}(T_{s})Q_{c}(T_{s})\right\rangle \right] \right\}$$

$$(3.82)$$

$$\left\langle Q_{2I}^{2}(T_{s})\right\rangle = \frac{1}{K^{2} T_{s}^{2}} \left\{ \left\langle Q_{c}^{2}(T_{s})\right\rangle + K_{1}^{2} \left\langle Q_{a}^{2}(T_{s})\right\rangle + K_{2}^{2} \left\langle Q_{b}^{2}(T_{s})\right\rangle + K_{2}^{2} \left\langle Q_{b}^{2}(T_{s})\right\rangle + K_{2}^{2} \left\langle Q_{c}(T_{s}) Q_{b}(T_{s})\right\rangle - K_{1} K_{2} \left\langle Q_{a}(T_{s}) Q_{b}(T_{s})\right\rangle \right\}$$

$$\left\{ -K_{1} K_{2} \left\langle Q_{a}(T_{s}) Q_{b}(T_{s})\right\rangle \right\}$$

$$(3.83)$$

$$\left\langle Q_{2Q}^{2}(T_{s}) \right\rangle = \frac{1}{K^{2} T_{s}^{2}} \left\{ \left\langle Q_{d}^{2}(T_{s}) \right\rangle + \frac{2}{K_{1}^{2}} \left\langle Q_{b}^{2}(T_{s}) \right\rangle + \frac{2}{K_{2}^{2}} \left\langle Q_{a}^{2}(T_{s}) \right\rangle + \frac{2}{K_{2}^{2}} \left\{ Q_{d}^{2}(T_{s}) \right\rangle + \frac{2}{K_{1}^{2}} \left\{ Q_{d}^{2}(T_{s}) Q_{d}(T_{s}) \right\rangle - K_{2} \left\langle Q_{d}^{2}(T_{s}) Q_{a}(T_{s}) \right\rangle + \frac{2}{K_{1}^{2}} \left\{ Q_{d}^{2}(T_{s}) Q_{a}(T_{s}) \right\rangle - K_{2} \left\langle Q_{d}^{2}(T_{s}) Q_{a}(T_{s}) \right\rangle + \frac{2}{K_{1}^{2}} \left\{ Q_{d}^{2}(T_{s}) Q_{a}^{2}(T_{s}) \right\}$$

$$+ K_{1} K_{2} \left\langle Q_{b}^{2}(T_{s}) Q_{a}^{2}(T_{s}) \right\rangle \right\}$$

$$(3.84)$$

Em seguida acham-se as potências médias dos ruídos  $Q_a(T_s)$ ,  $Q_b(T_s)$ ,  $Q_c(T_s)$  e  $Q_d(T_s)$ , assim como os termos cruzados dos mesmos.

Como foi comentado no Capítulo 2, se o ruído fosse levado para a forma

$$Q_{i}(T_{s}) = \int_{0}^{T_{s}} n_{\Lambda}(t) dt$$
 (3.85)

onde  $n_{\Delta}(t)$  é um processo estocástico estacionário no sentido amplo, isto é, sua média estatística

$$\langle n_{\Lambda}(t) \rangle = constante$$
 (3.86)

e a sua autocorrelação dependesse somente de

$$\tau = t_2 - t_1$$
 (3.87)

ou seja

$$\langle \mathbf{n}_{\Lambda}(\mathbf{t}_{2}) \, \mathbf{n}_{\Lambda}(\mathbf{t}_{1}) \rangle = \mathfrak{R}_{\mathbf{n},\mathbf{n}_{1}}(\tau) \tag{3.88}$$

então a potência média do ruído dada pela expressão (3.85), seria [12]

$$\left\langle Q_i^2 \left( T_s \right) \right\rangle = \int_O^{T_s} \int_O^{T_s} \mathfrak{R}_{n_{\Delta} n_{\Delta}} \left( t_2 - t_1 \right) dt_1 dt_2 \tag{3.89}$$

Para a potência média do ruído da expresão (3.52) tem-se

$$n_{\Delta}(t) = n_{I}(t) \cos \frac{\Delta \omega}{2} t - n_{Q}(t) \sin \frac{\Delta \omega}{2} t$$
 (3.90)

Segundo o item 2.3 do Capítulo 2, resulta para o processo estocástico n∆ (t)

$$\langle n_{\Delta}(t) \rangle = \langle n_{I}(t) \rangle \cos \frac{\Delta \omega}{2} t - \langle n_{Q}(t) \rangle \sin \frac{\Delta \omega}{2} t = 0$$
 (3.91)

$$\Re n_{\Delta} n_{\Delta}(\tau) = \left\langle \left[ n_{I}(t_{2}) \cos \frac{\Delta \omega}{2} t_{2} - n_{Q}(t_{2}) sen \frac{\Delta \omega}{2} t_{2} \right] \right\rangle$$

$$\left[ n_{I}(t_{1}) \cos \frac{\Delta \omega}{2} t_{1} - n_{Q}(t_{2}) sen \frac{\Delta \omega}{2} t_{1} \right] \right\rangle$$
(3.92)

e, depois de algumas operações, a última expressão resulta

$$\mathfrak{R}_{n_{\Delta}^{n_{\Delta}}}(\tau) = \mathfrak{R}_{n_{I}^{n_{I}}}(\tau)\cos\frac{\Delta\omega}{2}\tau \tag{3.93}$$

Segundo as expressões (3.93), (2.33) e considerando W[Hz] a largura de banda do ruído, tem-se

$$\left\langle Q_{a}^{2}(T_{s})\right\rangle = \frac{\eta}{\pi} \int_{0}^{T_{s}} \int_{0}^{T_{s}} \frac{\operatorname{sen}\pi W(t_{2} - t_{1}) \cos \frac{\Delta \omega}{2} (t_{2} - t_{1})}{t_{2} - t_{1}} dt_{1} dt_{2}$$
(3.94)

No Apêndice B, desenvolve-se a solução para este tipo de integral, resultando

$$\int_{0}^{T} s \int_{0}^{T} s \frac{\operatorname{sen} a(t_{2} - t_{1}) \cos b(t_{2} - t_{1})}{t_{2} - t_{1}} dt_{1} dt_{2} = a T_{s}^{2} I(a, b)$$
(3.95)

onde I(a,b) é a série de potência utilizada para avaliar a integral. O programa computacional desta série, acha-se no Apêndice D.

Relacionando as equações (3.94) e (3.95), tem-se

$$a = \pi W = \pi r_s \left( 1 + \frac{\Delta f}{r_s} \right) \tag{3.96}$$

$$b = \frac{\Delta \omega}{2} = \pi \, r_s \left( \frac{\Delta f}{r_s} \right) \tag{3.97}$$

Com base nestes resultados, a expressão da potência do ruído fica

$$\left\langle Q_a^2(T_s) \right\rangle = \eta W_{T_s}^2 I \left\{ \pi r_s \left( 1 + \frac{\Delta f}{r_s} \right), \pi r_s \left( \frac{\Delta f}{r_s} \right) \right\}$$
 (3.98)

Por outro lado, pode-se também provar que

$$\langle Q_a^2(T_s) \rangle = \langle Q_b^2(T_s) \rangle = \langle Q_c^2(T_s) \rangle = \langle Q_d^2(T_s) \rangle$$
 (3.99)

Observando as expressões (3.52), (3.54), (3.56) e (3.58), pode-se escrever

$$\left\langle Q_{a}(T_{s})Q_{b}(T_{s})\right\rangle = \left\langle Q_{c}(T_{s})Q_{d}(T_{s})\right\rangle = \int_{0}^{T_{s}} \int_{0}^{T_{s}} \Re_{n_{\Lambda}n_{\Lambda}}\left(t_{2} - t_{1}\right) dt_{1} dt_{2}$$
(3.100)

onde

$$\Re_{\mathbf{n}_{\Lambda}\mathbf{n}_{\Lambda}}(\tau) = \pm \Re_{\mathbf{n}_{\mathbf{I}}\mathbf{n}_{\mathbf{I}}}(\tau) \left[ \cos \frac{\Delta \omega}{2} \mathbf{t}_{2} \operatorname{sen} \frac{\Delta \omega}{2} \mathbf{t}_{1} - \operatorname{sen} \frac{\Delta \omega}{2} \mathbf{t}_{2} \cos \frac{\Delta \omega}{2} \mathbf{t}_{1} \right]$$
(3.101)

já que nI(t) e nQ(t) são estatisticamente independentes, como comentado na seção 2.3, são nulos os termos cruzados dos mesmos. Trabalhando nesta última expressão, obtem-se

$$\Re_{n_{\Delta} n_{\Delta}}(\tau) = \mp \Re_{n_{I} n_{I}}(\tau) sen \frac{\Delta \omega}{2} \tau$$
(3.102)

Substituindo na equação (3.100), as expressões (3.102), (2.33) e considerando W[Hz] a largura de faixa do ruído, obtêm-se

$$\begin{split} \left\langle Q_{a}(T_{s})Q_{b}(T_{s})\right\rangle &= -\left\langle Q_{c}(T_{s}) \ Q_{d}(T_{s})\right\rangle = \\ &= -\frac{\eta}{\pi} \int_{0}^{T_{s}} \int_{0}^{T_{s}} \frac{\mathrm{sen}\pi W\left(t_{2} - t_{1}\right) \mathrm{sen} \frac{\Delta \omega}{2} \left(t_{2} - t_{1}\right)}{t_{2} - t_{1}} \, \mathrm{d}t_{1} \, \mathrm{d}t_{2} \end{split} \tag{3.103}$$

Mas, segundo o Apêndice B, o resultado desta integral é nulo, obtendo-se deste modo

$$=  = 0$$
 (3.104)

Para os termos cruzados  $Q_a(T_S)$   $Q_c(T_S)$  e  $Q_b(T_S)$   $Q_d(T_S)$  tem-se

$$\left\langle Q_{a}\left(T_{s}\right)Q_{c}\left(T_{s}\right)\right\rangle = \left\langle Q_{b}\left(T_{s}\right)Q_{d}\left(T_{s}\right)\right\rangle = \int_{0}^{T_{s}}\int_{0}^{T_{s}}\mathfrak{R}_{n_{A}n_{A}}\left(t_{1},t_{2}\right)dt_{1}dt_{2} \tag{3.105}$$

onde

$$\Re_{\mathbf{n}_{\Delta}\mathbf{n}_{\Delta}}(\mathbf{t}_{1},\mathbf{t}_{2}) = \Re_{\mathbf{n}_{\mathbf{I}}\mathbf{n}_{\mathbf{I}}}(\mathbf{t}_{2} - \mathbf{t}_{1}) \left[\cos\frac{\Delta\omega}{2}\mathbf{t}_{2}\cos\frac{\Delta\omega}{2}\mathbf{t}_{1} - \sin\frac{\Delta\omega}{2}\mathbf{t}_{2}\sin\frac{\Delta\omega}{2}\mathbf{t}_{1}\right]$$
(3.106)

Ou seja

$$\mathfrak{R}_{n_{\Lambda}^{n_{\Lambda}}}\left(t_{1},t_{2}\right) = \mathfrak{R}_{n_{I}^{n_{I}}}\left(t_{2}-t_{1}\right)\cos\frac{\Delta\omega}{2}\left(t_{2}+t_{1}\right) \tag{3.107}$$

Substituindo agora na expressão (3.105) as equações (3.107), (2.33) com o ruído na faixa W[Hz], obtemos

$$\langle Q_{a}(T_{s})Q_{c}(T_{s})\rangle = \langle Q_{b}(T_{s}) Q_{d}(T_{s})\rangle =$$

$$= \frac{\eta}{\pi} \int_{0}^{T_{s}} \int_{0}^{T_{s}} \frac{\operatorname{sen}\pi W(t_{2} - t_{1}) \cos \frac{\Delta \omega}{2}(t_{2} + t_{1})}{t_{2} - t_{1}} dt_{1} dt_{2}$$

$$(3.108)$$

Observa-se que a integral da equação (3.108) agora não somente depende da diferença dos tempos  $t_1$  e  $t_2$  como também da soma dos mesmos. Isto implica que a função  $n_{\Delta}(t)$  que originou a função autocorrelação na expressão (3.105), não mostrada aqui, já não é um processo estacionário no sentido amplo. Isto nos leva a outro tipo de solução para as integrais, como mostrado no Apêndice A e transcrito a seguir

$$\int_{0}^{T_{s}} \int_{0}^{T_{s}} \frac{\sin a(t_{2} - t_{1}) \cos b(t_{2} + t_{1})}{t_{2} - t_{1}} dt_{1} dt_{2} = a K_{1} T_{s}^{2} r(a, b) I(a, b)$$
(3.109)

Neste caso, as expressões (3.96) e (3.97) são também válidas. Portanto, substituindo a expressão (3.109) na (3.108), a equação (3.105) fica

$$\begin{split} \left\langle Q_{a}\left(T_{s}\right) Q_{c}\left(T_{s}\right) \right\rangle &= \left\langle Q_{b}\left(T_{s}\right) Q_{d}\left(T_{s}\right) \right\rangle = \\ &= K_{1} \eta W T_{s}^{2} I \left\{ \pi r_{s} \left(1 + \frac{\Delta f}{r_{s}}\right), \ \pi r_{s} \frac{\Delta f}{r_{s}} \right\} . r \left\{ \pi r_{s} \left(1 + \frac{\Delta f}{r_{s}}\right), \ \pi r_{s} \frac{\Delta f}{r_{s}} \right\} \end{split} \tag{3.110}$$

A última combinação possível seria

$$\langle Q_{a}(T_{s})Q_{d}(T_{s}) \rangle = \langle Q_{c}(T_{s}) Q_{b}(T_{s}) \rangle =$$

$$= \int_{0}^{T_{s}} \int_{0}^{T_{s}} \mathfrak{R}_{n_{\Delta}}^{T_{\Delta}} (t_{1}, t_{2}) dt_{1} dt_{2}$$

$$(3.111)$$

onde

$$\Re_{n_{\Lambda}^{n_{\Lambda}}}(t_{1},t_{2}) = \mp \Re_{n_{I}^{n_{I}}}(t_{2}-t_{1}) \left[\cos\frac{\Delta\omega}{2}t_{2}sen\frac{\Delta\omega}{2}t_{1} + sen\frac{\Delta\omega}{2}t_{2}\cos\frac{\Delta\omega}{2}t_{1}\right]$$
(3.112)

ou seja

$$\mathfrak{R}_{n_{\Delta}n_{\Delta}}(t_1, t_2) = \mp \mathfrak{R}_{n_I n_I}(t_2 - t_1) \left[ sen \frac{\Delta \omega}{2} (t_2 + t_1) \right]$$
(3.113)

Substituindo na equação (3.111), as expressões (3.113), (2.33) e considerando o ruído na faixa W[Hz], obtem-se

$$-\left\langle Q_{a}(T_{s})Q_{d}(T_{s})\right\rangle = \left\langle Q_{c}(T_{s})Q_{b}(T_{s})\right\rangle$$

$$= \int_{0}^{T_{s}} \int_{0}^{T_{s}} \frac{\operatorname{sen}\pi \ W(t_{2} - t_{1})\operatorname{sen}\frac{\Delta\omega}{2}(t_{2} + t_{1})}{t_{2} - t_{1}} dt_{1} dt_{2}$$
(3.114)

Esta integral cai no caso discutido anteriormente e a solução da mesma, mostrada no apêndice B, é

$$\int_{0}^{T_{S}} \int_{0}^{T_{S}} \frac{\sin a(t_{2} - t_{1}) \sin b(t_{2} + t_{1})}{t_{2} - t_{1}} dt_{1} dt_{2} = -a T_{S}^{2} K_{2} I(a, b) r(a, b)$$
(3.115)

Também neste caso, as expressões (3.96) e (3.97) são válidas. Assim, substituindo a equação (3.115) na expressão (3.114), obtem-se para a expressão (3.111)

$$\langle Q_{a}(T_{S}) Q_{d}(T_{S}) \rangle = -\langle Q_{c}(T_{S}) Q_{b}(T_{S}) \rangle =$$

$$= K_{2} \eta W T_{S}^{2} I \left\{ \pi r_{S} \left( 1 + \frac{\Delta f}{r_{S}} \right), \pi r_{S} \left( \frac{\Delta f}{r_{S}} \right) \right\} r \left\{ \pi r_{S} \left( 1 + \frac{\Delta f}{r_{S}} \right), \pi r_{S} \left( \frac{\Delta f}{r_{S}} \right) \right\}$$
(3.116)

Finalmente, substituindo os resultados obtidos nas expressões (3.99), (3.104), (3.110) e (3.116) nas equações da potência média de ruído (3.81-84), tem-se a potência de ruído  $N_0$  em cada uma das saídas

$$\begin{split} N_{o} &= \left\langle Q_{1I}^{2}(T_{s}) \right\rangle = \left\langle Q_{1Q}^{2}(T_{s}) \right\rangle = \left\langle Q_{2I}^{2}(T_{s}) \right\rangle = \left\langle Q_{2Q}^{2}(T_{s}) \right\rangle = \\ &\left( 3 \cdot \frac{\eta W}{k^{12}} \right) \left\{ 1 + \left[ 1 - 2r\left(a, b\right) \right] \left( \frac{2}{K_{1}} + \frac{2}{K_{2}} \right) \right\} I\left(a, b\right) \end{split} \tag{3.117}$$

Substituindo a largura de banda do sistema {QAM} dada na equação (3.72), na expressão (3.117), tem-se

$$N_{o} = \eta r_{s} \frac{\left(1 + \frac{\Delta f}{r_{s}}\right) \left\{1 + [1 - 2r(a, b)] \left(K_{1}^{2} + K_{2}^{2}\right)\right\} I(a, b)}{\left[1 - \left(K_{1}^{2} + K_{2}^{2}\right)\right]^{2}} = N\delta(a, b)$$
(3.118)

com 
$$N = \eta r_s (1 + \Delta f/r_s)$$
. (3.119)

Como pode se observar, as potências médias de ruído nestes pontos do receptor, são iguais à potência do ruído N na faixa de passagem  $(r_S + \Delta f)$  (de modo a não termos interferência intersimbólica), afetada de um termo que depende do afastamento das duas constelações QAM. Este termo tem a seguinte forma

$$\delta(a,b) = \frac{\left\{1 + \left[1 - 2r(a,b)\right]\left(\frac{2}{K_1} + \frac{2}{K_2}\right)\right\}I(a,b)}{\left\{1 - \left(\frac{2}{K_1} + \frac{2}{K_2}\right)\right\}^2}$$
(3.119)

Na Tabela 3.1 calculam-se os valores correspondentes de  $\delta(a,b)$  para diversos valores do parâmetro  $\Delta f/r_s$ . O gráfico correpondente é mostrado na Fig. 3.4. A região onde  $\delta(a,b) \le 2$  é a região de maior interesse.

Por outro lado, a matriz de correlação  $\tilde{\mathbf{R}}$  pode ser calculada, a partir dos resultados (3.99), (3.104), (3.110), (3.117) e (3.118):

$$\tilde{\mathbf{R}} = N_0 \begin{pmatrix} 1 & 0 & K_1 F & K_2 F \\ 0 & 1 & -K_2 F & K_1 F \\ K_1 F & -K_2 F & 1 & 0 \\ K_2 F & K_1 F & 0 & 1 \end{pmatrix}$$
(3.121)

Tabela 3.1 Funções  $\delta(a,b)$ ,  $K_1F$  e  $K_2F$  para diversos valores do parâmetro  $\Delta f/r_s$ .

Δf/r <sub>S</sub>	δ(a,b)	K <sub>l</sub> F	K <sub>2</sub> F
1	0,4262	0	0
11/13	0,4425	-0,0103	-0,0054
<b>7</b> /9	0,4564	0,0449	0,0377
5/7	0,4758	0,0813	0,1019
3/5	0,5349	0,0841	0,2589
1/2	0,6301	0	0,4071
5/11	0,6963	-0,0670	0,4661
7/17	0,7795	-0,1456	0,5118
1/3	1,0190	-0,3230	0,5594
5/19	1,4258	-0,5060	0,5497
3/13	1,7417	-0,5932	0,5255
1/5	2,1868	-0,6748	0,4902
1/7	3,8531	-0,8151	0,3925
1/11	8,6745	-0,9183	0,2696
1/15	15,4806	-0,9544	0,2029
1/23	35,0488	-0,9800	0,1347
0	<b>o</b> o	-1	0

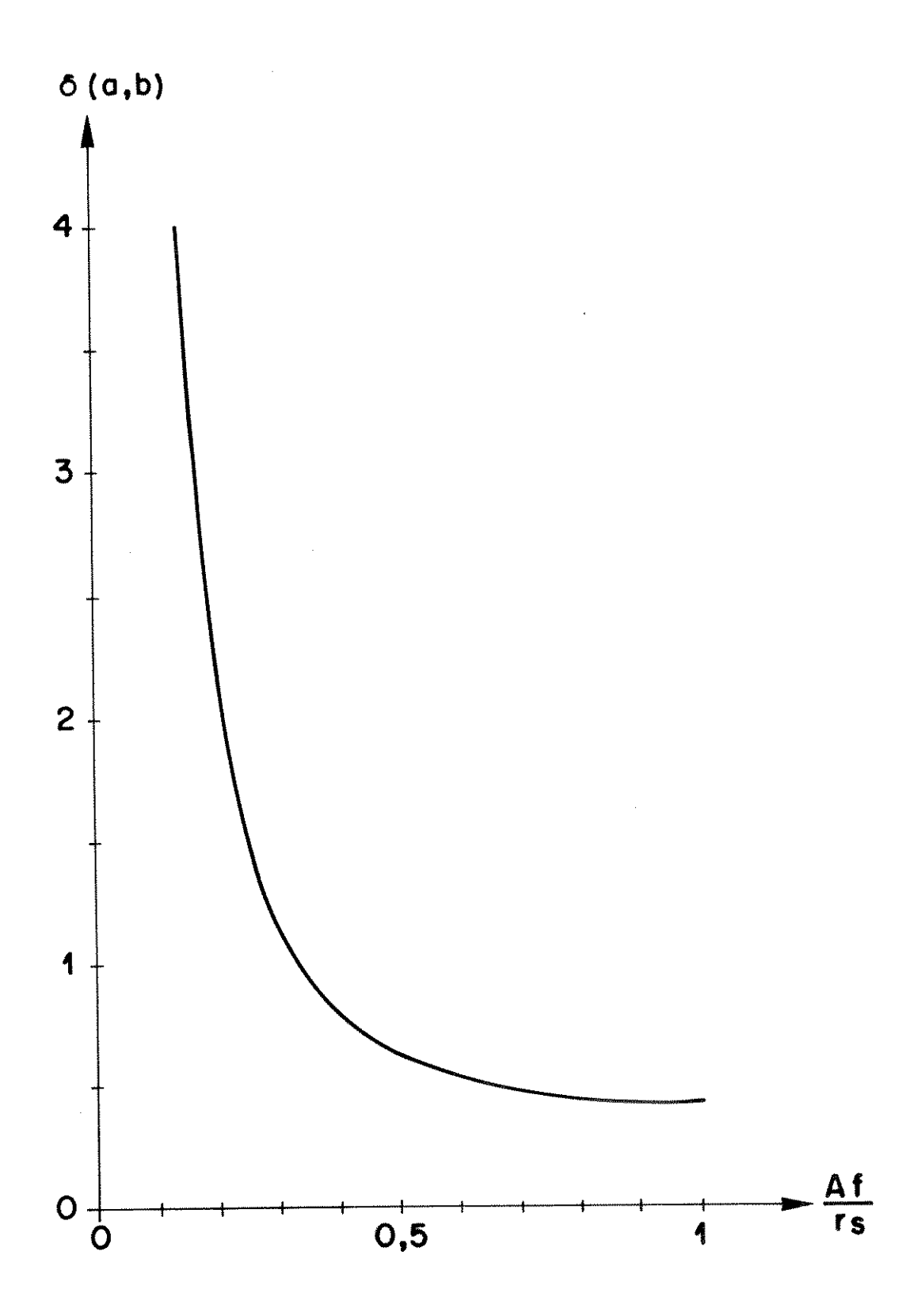


Fig . 3.4 Função  $\delta(a,b)$  em relação com o parâmetro  $\Delta f/r_s$ .

onde

$$F = \frac{[1 + K_1^2 + K_2^2]r(a,b) - 2}{(1 + K_1^2 + K_2^2) - 2r(a,b)[K_1^2 + K_2^2]}$$
(3.122)

Logo, podemos tirar as seguintes conclusões:

- 1. Os ruídos presentes nas saídas 1I e 1Q são não correlacionados;
- 2. Os ruídos presentes nas saídas 2I e 2Q são não correlacionados;
- 3. Certas correlações cruzadas são iguais, isto é:

$$< Q_{11}(T_s)Q_{21}(T_s) > = < Q_{10}(T_s)Q_{20}(T_s) > = N_0K_1F$$
 (3.123)

$$= - = N_0K_2F$$
 (3.124)

Os coeficientes de correlação cruzada  $K_1F$  e  $K_2F$  são também mostrados na Tabela 3.1.

Estes resultados serão utilizados para se deduzir o desempenho do sistema {QAM}<sup>2</sup> no próximo capítulo.

Como pode-se observar na Tab. 3.1 e na Fig. 3.4, a função  $\delta(a,b)$  afeta o ruído na banda de passagem do sinal  $\eta(r_S + \Delta f)$  de forma variável. Para valores de  $\Delta f/r_S$  acima de 1/3 a função  $\delta(a,b)$  atenua o ruído  $(\Delta f/r_S = 1/3, \ \delta(a,b) \cong 1)$ ; para valores de  $0 < \Delta f/r_S < 1/3$  a função  $\delta(a,b)$  amplifica o ruído de forma crescente  $(\Delta f/r_S \to 0)$ .

Pelo observado acima, pode-se esperar um comportamento não uniforme em relação ao desempenho e à eficiência do Sistema  $\{QAM\}^2$ . Melhores resultados são esperados para valores do parâmetro  $\Delta f/r_S$  não próximos de zero.

#### **CAPÍTULO 4**

### Generalização do Sistema de Transmissão Digital {QAM}<sup>2</sup>

Neste capítulo apresentam-se algumas aplicações do sistema de transmissão {QAM}<sup>2</sup>, assim como suas eficiências e desempenhos. Aborda-se também o estudo de seu funcionamento assíncrono.

### 4.1 Sistema Geral {QAM-m}<sup>2</sup>

Tomemos inicialmente as equações (3.65) e (3.118):

$$\begin{bmatrix} O_{11}(T_{s}) \\ O_{1Q}(T_{s}) \\ O_{21}(T_{s}) \\ O_{2Q}(T_{s}) \end{bmatrix} = \begin{bmatrix} A_{1}\cos\theta_{1} \\ A_{1}\sin\theta_{1} \\ A_{2}\cos\theta_{2} \\ A_{2}\sin\theta_{2} \end{bmatrix} + \begin{bmatrix} Q_{11}(T_{s}) \\ Q_{1Q}(T_{s}) \\ Q_{21}(T_{s}) \\ Q_{2Q}(T_{s}) \end{bmatrix}$$

$$(4.1)$$

$$N_{o} = \left\langle Q_{1I}^{2}(T_{s}) \right\rangle = \left\langle Q_{1Q}^{2}(T_{s}) \right\rangle = \left\langle Q_{2I}^{2}(T_{s}) \right\rangle = \left\langle Q_{2Q}^{2}(T_{s}) \right\rangle = N\delta(a,b) \tag{4.2}$$

As saídas  $O_{1I}(T_s)$ ,  $O_{1Q}(T_s)$ ,  $O_{2I}(T_s)$ , e  $O_{2Q}(T_s)$ , serão submetidas às regiões de decisão de modo a estimar-se os parâmetros de informação, que na transmissão foram

$$A_1 \cos \theta_1 \tag{4.3}$$

$$A_1 \sin \theta_1 \tag{4.4}$$

$$A_2 \cos \theta_2 \tag{4.5}$$

$$A_2 \operatorname{sen}\theta_2$$
 (4.6)

e, em seus percursos são perturbados por ruído, de potências médias  $\left\langle Q_{1I}^2 \Big( T_S \Big) \right\rangle, \, \left\langle Q_{1Q}^2 \Big( T_S \Big) \right\rangle, \, \left\langle Q_{2I}^2 \Big( T_S \Big) \right\rangle e \left\langle Q_{2Q}^2 \Big( T_S \Big) \right\rangle \, respectivamente, todas iguais a \, N_o.$ 

O sistema de transmissão {QAM}<sup>2</sup> resulta da superposição de dois sistemas QAM-m. Portanto, as regiões de decisão para sinais em quadratura e em fase são as mesmas usadas em decisão QAM. Deste modo, a probabilidade de erro unidimensional para cada uma das quatro regiões de decisão do sistema {QAM}<sup>2</sup> será

$$p_{e} = 2 \left( 1 - \frac{1}{\sqrt{m}} \right) Q \left( \sqrt{\frac{d^{2}}{\langle Q^{2}(T_{s}) \rangle}} \right)$$
(4.7)

onde

$$N_o = \langle Q^2(T_s) \rangle$$
 é a potência média do ruído atuando na região de decisão dada na equação (4.2) (4.10)

Para as duas saídas (1I, 1Q) temos que

$$\langle Q_{1I}(T_s)Q_{1Q}(T_s) \rangle = 0 \tag{4.11}$$

isto é, os ruídos são não correlacionados (ver 3.121). Portanto, podemos escrever que a probabilidade de detecção correta na saída número 1 (ver Figura 3.2(a)) será

$$P_{c_1} = (1 - p_e)^2 (4.12)$$

De modo semelhante, para as duas saídas (2I, 2Q) temos que

$$\langle Q_{2I}(T_s)Q_{2Q}(T_s) \rangle = 0 \tag{4.13}$$

e, portanto, a probabilidade de detecção correta na saída número 2 (ver Figura 3.2(a)) será

$$P_{c_2} = (1 - p_e)^2 (4.14)$$

Levando em conta agora as correlações cruzadas da matriz de correlação (3.121) e com os

valores de  $K_1F$  e  $K_2F$  mostrados na Tabela 3.1, vamos aceitar a seguinte aproximação para o desempenho do sistema  $\{QAM\}^2$ :

$$P_c \cong P_{c_1} P_{c_2} = (1 - p_e)^4 \approx 1 - 4p_e \quad \text{para} \quad p_e << 1$$
 (4.15)

A probabilidade de erro para cada símbolo transportado pelo sistema {QAM}<sup>2</sup> será então dada aproximadamente por

$$P_{M} = 1 - P_{c} \approx 4p_{e}$$

$$\approx 8 \left( 1 - \frac{1}{\sqrt{m}} \right) Q \left( \sqrt{\frac{d^{2}}{\langle Q^{2}(T_{S}) \rangle}} \right)$$
(4.16)

Por outro lado, relembrando que a potência média do sinal QAM-m no diagrama de sinais é dada por

$$P_s = \frac{(m-1)}{3}d^2 \tag{4.17}$$

e que a potência média total do sinal na entrada do sistema {QAM-m}<sup>2</sup> será

$$S = 2P_S \tag{4.18}$$

por tratar-se de duas constelações QAM-m da mesma potência P<sub>S</sub> trasmitidas de forma superposta.

Substituindo as expressões (4.17), (4.18) e (4.2) na equação (4.16), resulta

$$P_{M} \cong 8 \left( 1 - \frac{1}{\sqrt{m}} \right) Q \left( \sqrt{\frac{3}{2(m-1)\delta(a,b)}} \frac{S}{N} \right)$$
 (4.19)

Nas seções seguintes calcula-se a eficiência de transmissão do sistema {QAM-m}<sup>2</sup>, isto é, a representação deste no plano eficiência espectral versus relação sinal/ruído média por símbolo, para uma probabilidade de erro de símbolo P<sub>M</sub> determinada. Esta representação em geral é mostrada em gráfico conjuntamente com a curva de Shannon comentada no Capítulo 2.

Também calcula-se o desempenho do sistema  $\{QAM-m\}^2$ . Para isto calcula-se a probabilidade de erro de símbolo  $P_M$  versus a relação sinal/ruído média por símbolo, para diversos valores do parâmetro  $\Delta f/r_s$ .

Os resultados obtidos num sistema {QAM-m}<sup>2</sup> serão confrontados com os de um sistema comum QAM-M, de modo a ressaltar as particularidades de cada um. Para facilitar isto, pode-se agrupar as seguintes características de cada sistema para a mesma taxa de bits r<sub>b</sub> transmitida.

#### Sistema QAM-M:

- Taxa de Bits 
$$r_b$$
 [bit/s] (4.20)

- Taxa de Símbolos 
$$r_{s_{M}} = \frac{r_{b}}{\log_{2} M}$$
 [símbolo/s] (4.21)

- Faixa de Ocupação 
$$V = r_{S_{M}}[Hz]$$
 (4.22)

- Eficiência Espectral 
$$\Re_{\mathbf{M}} = \frac{\mathbf{r}_{\mathbf{b}}}{\mathbf{V}} = \log_2 \mathbf{M} \quad [\text{bit/s/Hz}]$$
 (4.23)

### Sistema {QAM-m}<sup>2</sup>:

- Taxa de Bits 
$$r_b[bit/s]$$
 (4.24)

- Taxa de Bit Transmitida em cada constelação QAM-m

$$\frac{\mathbf{r}_{\mathsf{b}}}{2} \ [\mathsf{bit}/\mathsf{s}] \tag{4.25}$$

- Taxa de Símbolo em cada Constelação QAM-m

$$r_{s} = \frac{r_{b}/2}{\log_{2} m} [simbolo/s]$$
 (4.26)

- Banda Necessária Total

$$W = r_{S} \left[ 1 + \frac{\Delta f}{r_{S}} \right] [Hz]$$
 (4.27)

- Eficiência Espectral

$$\mathfrak{R}_{m} = \frac{r_{b}}{W} = \frac{2\log_{2} m}{1 + \frac{\Delta f}{r_{s}}} \left[ \text{bit/s/Hz} \right]$$
 (4.28)

As comparações que serão feitas nos itens subsequentes, serão para o caso em que os dois sistemas QAM-M e o {QAM-m}<sup>2</sup>, apresentam mesma eficiência espectral e mesma faixa de ocupação. Deste modo resultam as seguintes relações entre os dois sistemas

- Taxa de símbolo

$$r_{s} = r_{s_{M}} \frac{\log_{2} M}{2\log_{2} m} \tag{4.29}$$

- Banda de Ocupação

$$V = W = 2r_s \frac{\log_2 m}{\log_2 M} \tag{4.30}$$

- Banda Necessária de cada Sistema QAM-m

$$W_1 = W_2 = r_s (4.31)$$

- Eficiência Espectral

$$\mathfrak{R} = \mathfrak{R}_{\mathbf{m}} = \mathfrak{R}_{\mathbf{M}} \tag{4.32}$$

- Parâmetro Δf/r<sub>s</sub>

$$\frac{\Delta f}{r_S} = 2 \frac{\log_2 m}{\log_2 M} - 1 \tag{4.33}$$

## 4.2 Sistema {QAM-4}<sup>2</sup>

Na Tabela 4.1 mostra-se a eficiência de transmissão do sistema  $\{QAM-4\}^2$  para uma probabilidade de erro de símbolo  $P_M = 10^{-6}$  e para diversos valores do parâmetro  $\Delta f/r_s$ . Comparou-se também os resultados com as eficiências obtidas nos sistemas QAM-M listadas na Tabela 2.2. Registrou-se ainda possíveis ganhos (ou perdas) entre os dois sistemas.

Na Fig.4.1 mostra-se os valores obtidos na Tabela 4.1.

Tabela 4.1 Eficiência espectral R e relação sinal/ruído S/N, para PM=10-6, num sistema {QAM-4}<sup>2</sup>.

		ı				
*			Srabi	Compara	Comparação QAM-M	Ganho
$\left[ \text{bit/s/Hz} \right] \qquad \delta\left(\frac{\Delta}{r_{\xi}}\right) \qquad \tilde{l}$		ı <b>-</b>		M	$\frac{S}{N}[dB]$	[gp]
2 0,4262 13		13	13,3434	4	12,6880	-0,6554
		1,	14,3300	•		•
			17,1290	8	17,5361	0,4071
			22,9054		<b>I</b>	•
8	8		8	16	19,8164	ŝ

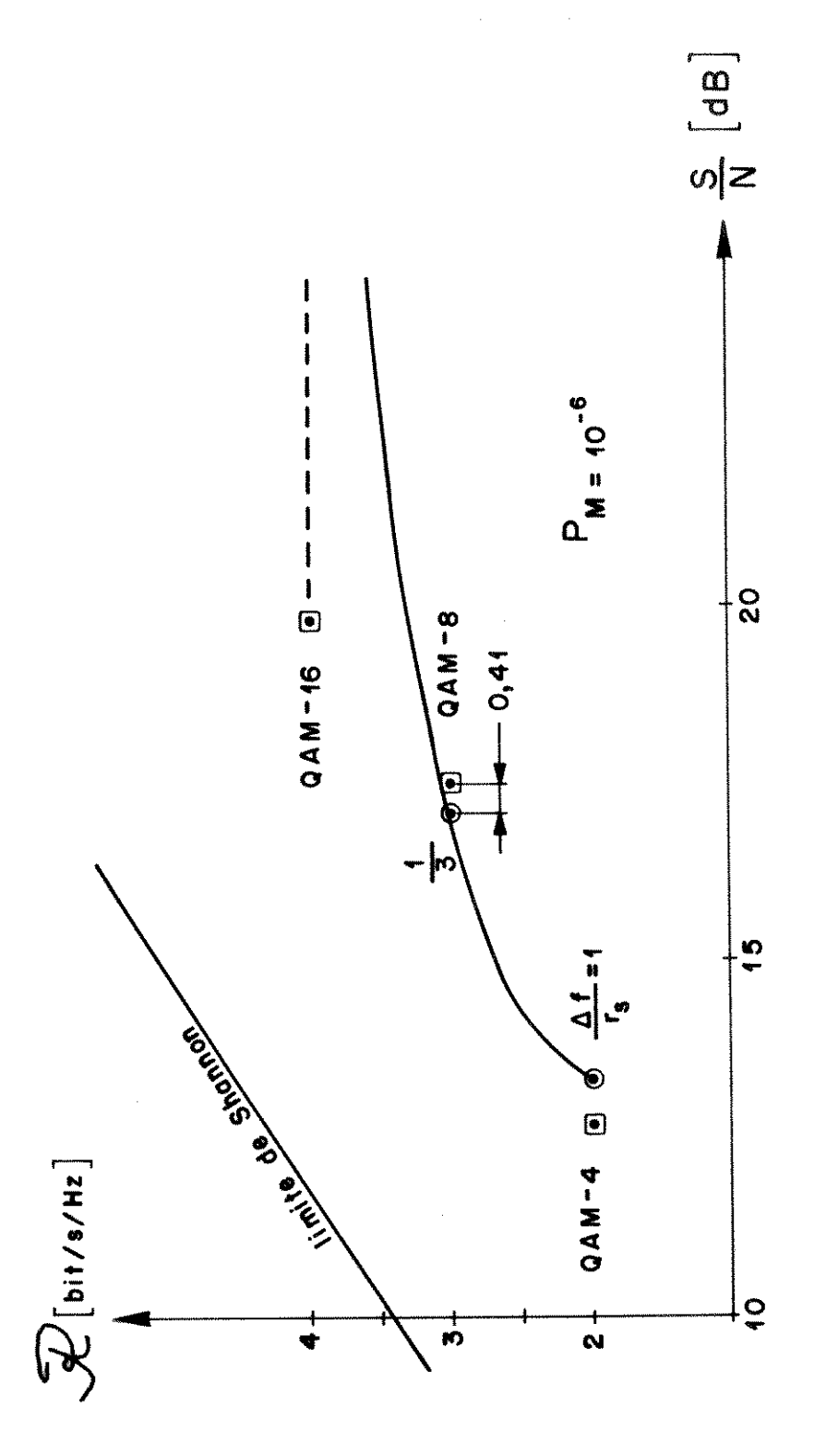


Fig. 4.1 Curva de eficiência de transmissão do sistema  $\{QAM-4\}^2$ , para  $P_M = 10^{-6}$ .

Observa-se que o sistema {QAM-4}<sup>2</sup> não apresenta muita vantagem sobre o sistema QAM-M. Por exemplo, para a mesma largura de banda e a mesma eficiência espectral, o sistema {QAM-4}<sup>2</sup> precisa 0,41dB menos de relação sinal/ruído que o sistema QAM-8 para obter-se uma probabilidade de erro de símbolo de 10<sup>-6</sup>.

Observa-se também que a curva mostrada na Fig. 4.1 cresce assintoticamente para o valor de eficiência espectral  $\Re=4$  bit/s/Hz. Neste ponto, o sistema  $\{QAM-4\}^2$  apresenta nível de ruído que cresce indefinidamente.

No começo da curva, isto é, para  $\Delta f/r_S = 1$ , o sistema  $\{QAM-4\}^2$  apresenta uma diferença de 0,65dB frente ao sistema QAM-4. Embora para  $\Delta f/r_S=1$  o sistema fique desacoplado, ou seja, os dois sistemas QAM-4 ficam espectralmente contíguos, a potência do ruído dada na equação (4.2) é calculada para uma largura de faixa correspondente a dois sistemas QAM-4 contíguos. Assim o desempenho do sistema  $\{QAM-4\}^2$  no ponto  $\Delta f/r_S=1$  fica reduzido em 0,65dB.

Na Tabela 4.2 registra-se o desempenho do sistema {QAM-4}<sup>2</sup>. Utilizou-se como suporte de cálculo, o programa computacional do apêndice D e tabelas estatísticas [28].

Na Fig. 4.2, são dados os valores obtidos na Tabela 4.2. Acompanha nesta figura a curva de desempenho do sistema QAM-8.

Observa-se nesta figura que o ganho de relação sinal/ruído do sistema  $\{QAM-4\}^2$  frente ao sistema QAM-8 (para  $\Delta f/r_s=1/3$ ) aumenta quando diminui a probabilidade de erro de símbolo  $P_M$  apresentando um efeito contrário para  $P_M>10^{-2}$ .

## 4.3 Sistema {QAM-16}<sup>2</sup>

Utilizando as equações (4.19) e (4.28) registram-se na Tabela 4.3 valores de eficiência espectral  $\Re$  e de relação sinal/ruído S/N para uma probabilidade de erro de símbolo  $P_M > 10^{-6}$  e diversos valores do parâmetro  $\Delta f/r_s$ .

Da mesma forma como feito no item anterior, mostram-se ganhos comparativos com os sistemas QAM-M.

Na Fig. 4.3 mostra-se em forma gráfica os resultados obtidos na Tabela 4.3.

Observa-se que, para  $\Delta f/r_s = 1/3$ , o sistema  $\{QAM-16\}^2$  apresenta um ganho de 1,85dB em relação ao sistema QAM-64. Isto é obtido para uma eficiência espectral  $\Re = 6$  bit/s/Hz e para uma largura de faixa  $W = 4/3 r_s$ .

Um ganho menor é obtido para  $\Delta f/r_S = 3/5$ , que neste caso é de 1,41 dB melhor que do sistema QAM-32. Aqui  $\Re = 5$  bit/s/Hz e W = 8/5  $r_S$ .

O sistema  $\{QAM-16\}^2$  não apresenta vantagens para  $\Delta f/r_S = 1/7$ , já que perde de 0,87dB frente ao sistema QAM-128. Aqui  $\Re = 7$  bit/s/Hz e W = 8/7  $r_S$ .

Tabela 4.2 Probabilidade de erro de símbolo P<sub>M</sub> e relação sinal/ruído média por símbolo S/N, para o sistema {QAM-4}2.

Δf				$\frac{S}{N}[dB]$	IB]			
P.				- HANNER				
				PM		•	-	
	-	10-2	10-3	10-4	10-5	10-6	10-7	10-8
				,, (,,,,,,,,,,,,,,,,,,,,,,,,,,,,,,,,,,,	00.17 0.	10000	14 0452	14 6521
-	5 15 5	8 2805	10.1860	11,4941	12,5120	13,3434	14,0402	14,0041
3	0 0270	12.0660	13 9715	15 2797	16.2975	17,1289	17,8308	18,4376
<u> </u>	0,427.0	14,0000	(*, ), ()					

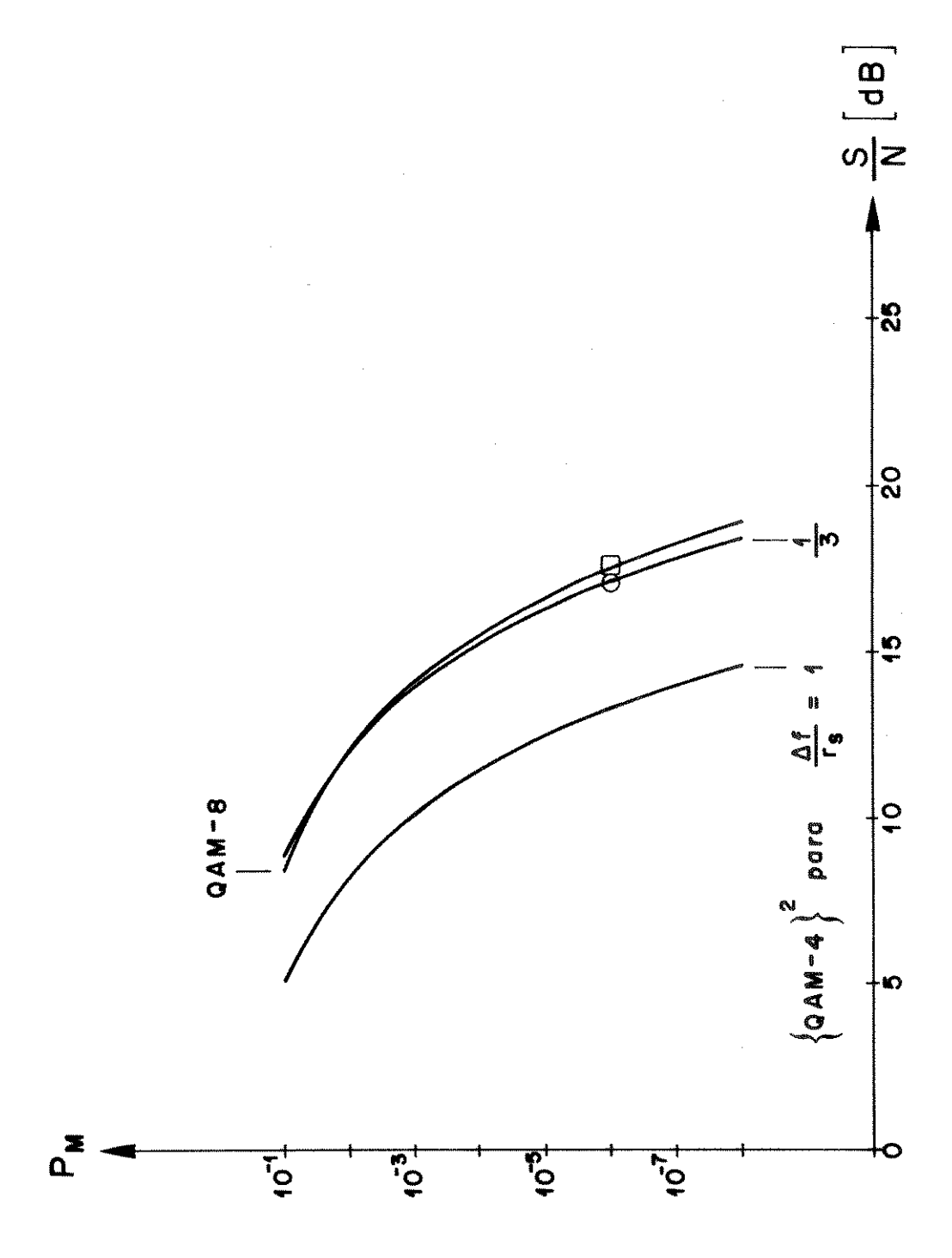


Fig. 4.2 Curvas de desempenho parametrizadas em  $\Delta f/r_s$  para sistema  $\{QAM-4\}^2$ .

Tabela 4.3 Eficiência espectral  $\Re$  e relação sinal/ruído S/N, para  $P_{M}=10^{-6}$  num sistema {QAM-16}<sup>2</sup>.

Ganho	[dB]	-0,6485		1,4147	ı	1,8500		0,8682	•	
Comparação QAM-M	S [dB]	19,8164	•	22,8662	*	26,1005	•	29,1587		32,1954
Comp	M	91		32	•	64	•	128	•	256
	$\frac{S}{N}[dB]$	20,4649	20,7622	21,4515	22,5968	24,2505	26,5785	30,0269	36,0667	8
	$\delta \frac{\Delta f}{r_{\rm s}}$	0,4262	0,4564	0,5349	0,6963	1,0190	1,7417	3,8531	15,4806	8
æ	[bit/s/Hz]	4	4,5	\$	5,5	9	6,5	7	7,5	8
	∆f r₅		6/L	3/5	5/11	1/3	3/13	1/7	1/15	0

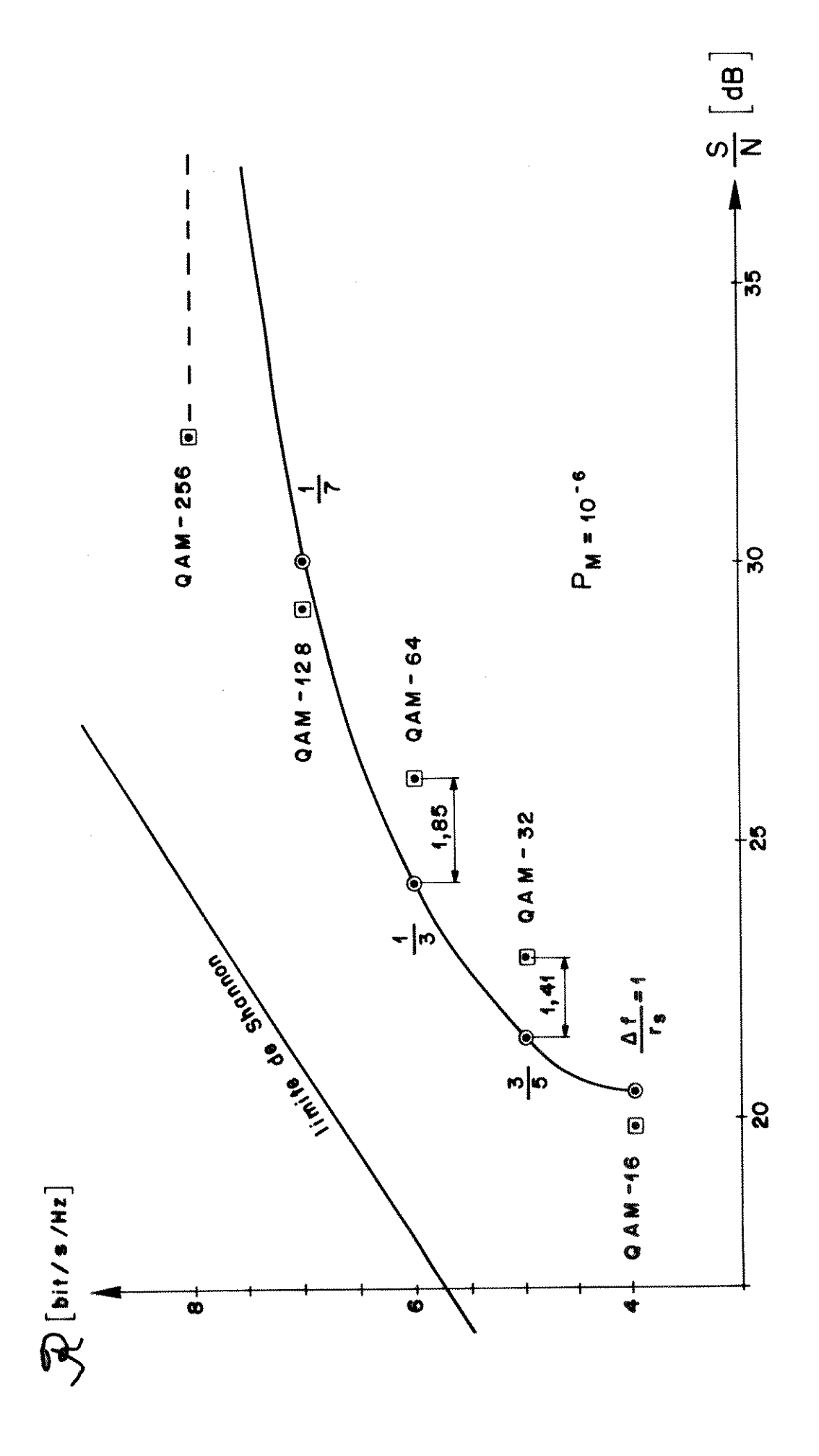


Fig. 4.3 Curva de eficiência de transmissão do sistema  $\{QAM-16\}^2$ , para  $P_M=10^{-6}$ .

Na Fig. 4.4 mostram-se diversas situações de comparação entre o sistema {QAM-16}<sup>2</sup> e o sistema QAM-M, com respeito à largura de faixa de ocupação e do afastamento das portadores  $f_1$  e  $f_2$ . Observa-se que, para  $\Delta f/r_s = 1$ , os dois sistemas QAM-16 ficam com seus espectros disjuntos, ocupando toda a faixa de passagem. Conforme  $\Delta f/r_s$  tende para

zero, os dois sistemas vão se superpondo e, no caso limite, quando  $\frac{\Delta f}{r_s} = 0$ , isto é,  $f_1 = f_2$ , os dois espectros QAM-4 ficam superpostos. Esta figura pode auxiliar na compreensão da Fig. 4.3.

Um aspecto a destacar, que é interessante não deixar de lado, é que o sistema  $\{QAM-16\}^2$  apresenta uma variação contínua em sua curva de eficiência, alocando os espaços vazios que ficam entre sistemas QAM-M. Por exemplo, para  $\Delta f/r_S = 5/11$ , obtem-se para o sistema  $\{QAM-16\}^2$  uma eficiência espectral  $\Re = 5,5$  bit/s/Hz, alocado entre o QAM-32 e o QAM-64.

Na Tabela 4.4 registra-se a relação sinal/ruído média por símbolo S/N versus a probabilidade de erro de símbolo  $P_M$ , para diversos valores do parâmetro  $\Delta f/r_S$ .

Na Fig. 4.5 são dadas curvas de desempenho do sistema {QAM-16}<sup>2</sup>, juntamente com curvas de desempenho para os sistemas QAM-32 e QAM-64.

## 4.4 Sistema {QAM-64}<sup>2</sup>

Este sistema resulta da superposição de dois sistemas QAM-64. Na Tabela 4.5 registram-se a eficiência espectral  $\Re$  e a relação sinal/ruído S/N do sistema {QAM-64} para uma probabilidade de erro de símbolo  $P_M=10^{-6}$  e para diversos valores do parâmetro  $\Delta f/r_s$ .

Na Fig. 4.6 mostra-se a curva de eficiência de transmissão do sistema {QAM-64}<sup>2</sup> com ajuda da Tabela 4.5.

Observa-se que, para  $\Delta f/r_s = 5/7$ , na condição de mesma eficiência espectral igual a 7 bit/s/Hz, o sistema  $\{QAM-64\}^2$  precisa de 1,93dB menos de relação sinal/ruído comparado ao sistema QAM-128, para uma probabilidade de símbolo de  $10^{-6}$ .

Também, para  $\Delta f/r_s = \frac{1}{2}$ , o sistema ganha 3,75 dB quando comparado com o sistema QAM-256 e, para  $\Delta f/r_s = 1/5$ , o sistema apresenta um ganho significativo de 4,39dB quando comparado com o sistema QAM-1024.

Para o caso  $\Delta f/r_s = 1/3$ , o sistema  $\{QAM-64\}^2$  possui um ganho ainda mais expressivo de 4,69dB frente ao sistema QAM-512.

Observando o comportamento do sistema {QAM-M}<sup>2</sup> através dos itens 4.2, 4.3 e 4.4, resulta que os ganhos obtidos no sistema, comparados com os ganhos dos sistemas QAM-M, aumentam conforme aumenta a constelação. Em outras palavras, obtem-se ganhos

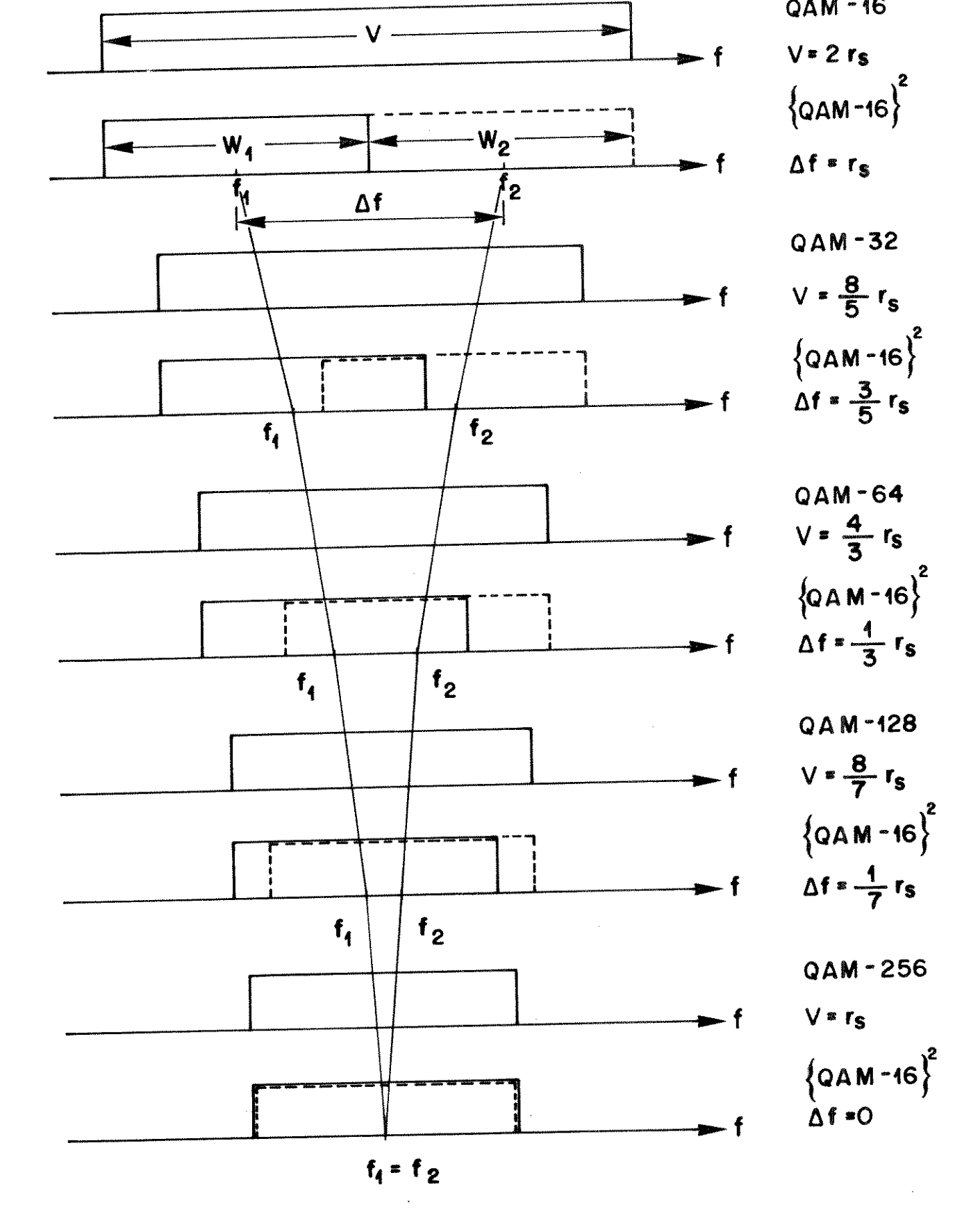


Fig. 4.4 Comportamento do sistema {QAM-16}<sup>2</sup> no espectro em relação ao sistema QAM, com taxa de bit fixa.

Tabela 4.4 Probabilidade de erro de símbolo  $P_{M}$  e relação sinal/ruído média por símbolo S/N, para o sistema  $\{QAM-16\}^{2}$ .

				U				
				ت_ Z	[dB]			
				Δ	D .			
<b>ষ</b>				-	W			
ي.	101	10.2	10.3	10-4	10-5	10-6	10-7	10.8
	12 8569	15 6433	17.4343	18,6803	19,6596	20,4649	21,1479	21,7406
3/5	13 8433	16,6297	18,4208	19,6667	20,6460	21,4513	22,1343	22,7270
1/3	16,6424	19,4288	21,2199	22,4658	23,4451	24,2504	24,9334	25,5261
1/7	22,4189	25,2054	26,9964	28,2423	29,2216	30,0269	30,7100	31,3026
		,	1					

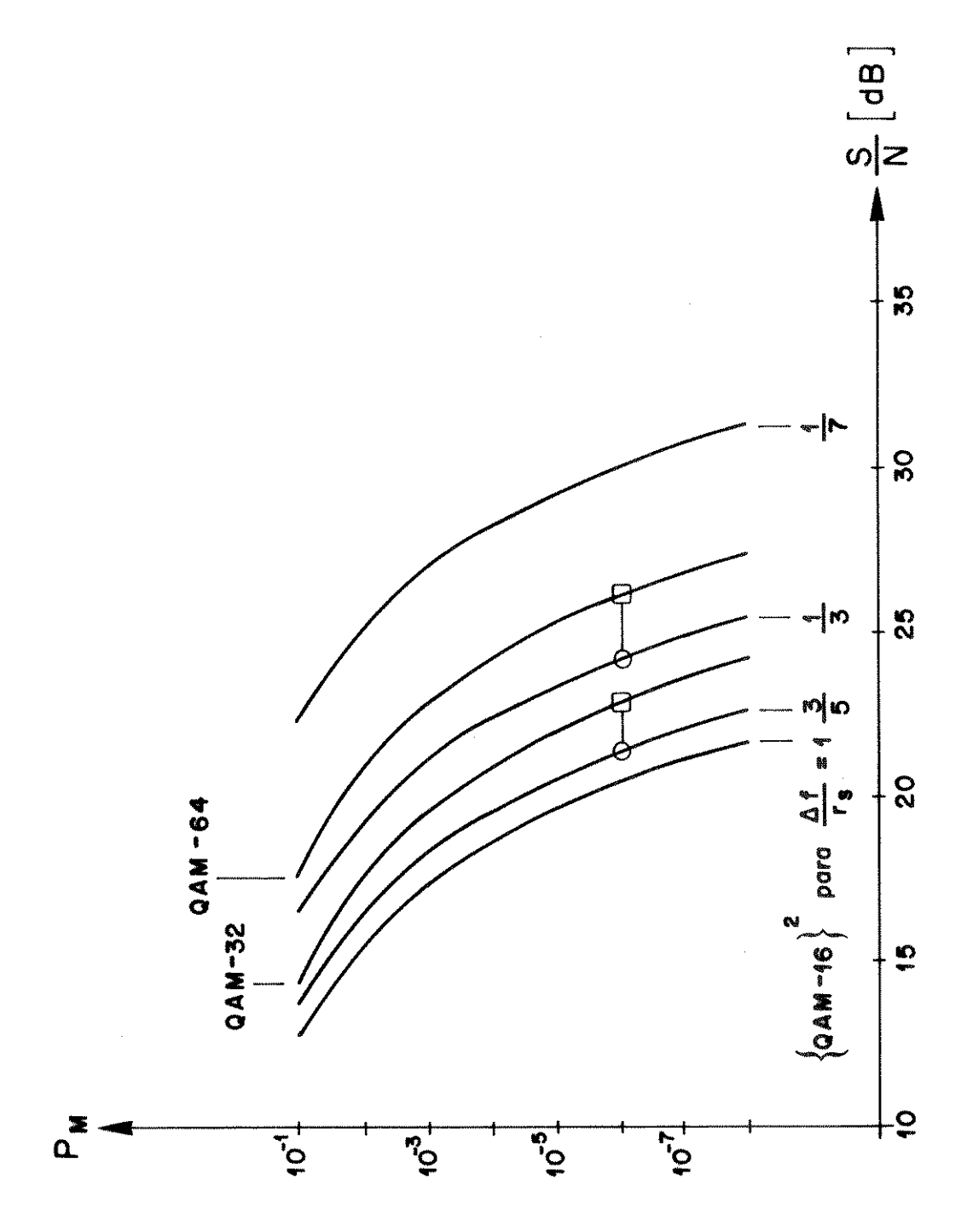


Fig. 4.5 Curvas de desempenho parametrizadas em  $\Delta f/r_s$  para o sistema {QAM-16}<sup>2</sup>.

Tabela 4.5 Efficiência espectral  $\Re$  e relação sinal/ruído S/N, para  $P_{\rm M}=10^{-6}$ , num sistema {QAM-64}2.

	ж			Comparação QAM-M	QAM-M	Ganho
$\frac{\Delta f}{r_{\rm s}}$	[bit/s/Hz]	$\delta \left( \frac{\Delta f}{r_s} \right)$	[gp] N	Σ	S [dB]	[qB]
1	9	0,4262	26,7465	64	26,1005	-0,646
11/13	6,5	0,4425	26,9095		***	
5/7	7	0,4758	27,2246	128	29,1587	1,9341
3/5	7,5	0,5349	27,7331	•	•	
1/2	8	0,6301	28,4445	256	32,1954	3,7509
7/17	8,5	0,7795	29,3686		ŧ	
1/3	6	1,0190	30,5321	512	35,2206	4,6885
5/19	9,5	1,4257	31,9907	*		ı
1/5	10	2,1868	33,8485	1024	38,2396	4,3911
1/7	10,5	3,8531	36,3085	-	1	6
1/11	<b>;</b>	8,6745	39,8328	2048	41,2551	1,4223
1/23	11,5	35,0488	45,8971	P		409
0	12	8	8	4096	44,2687	A TOTAL CONTRACTOR CON

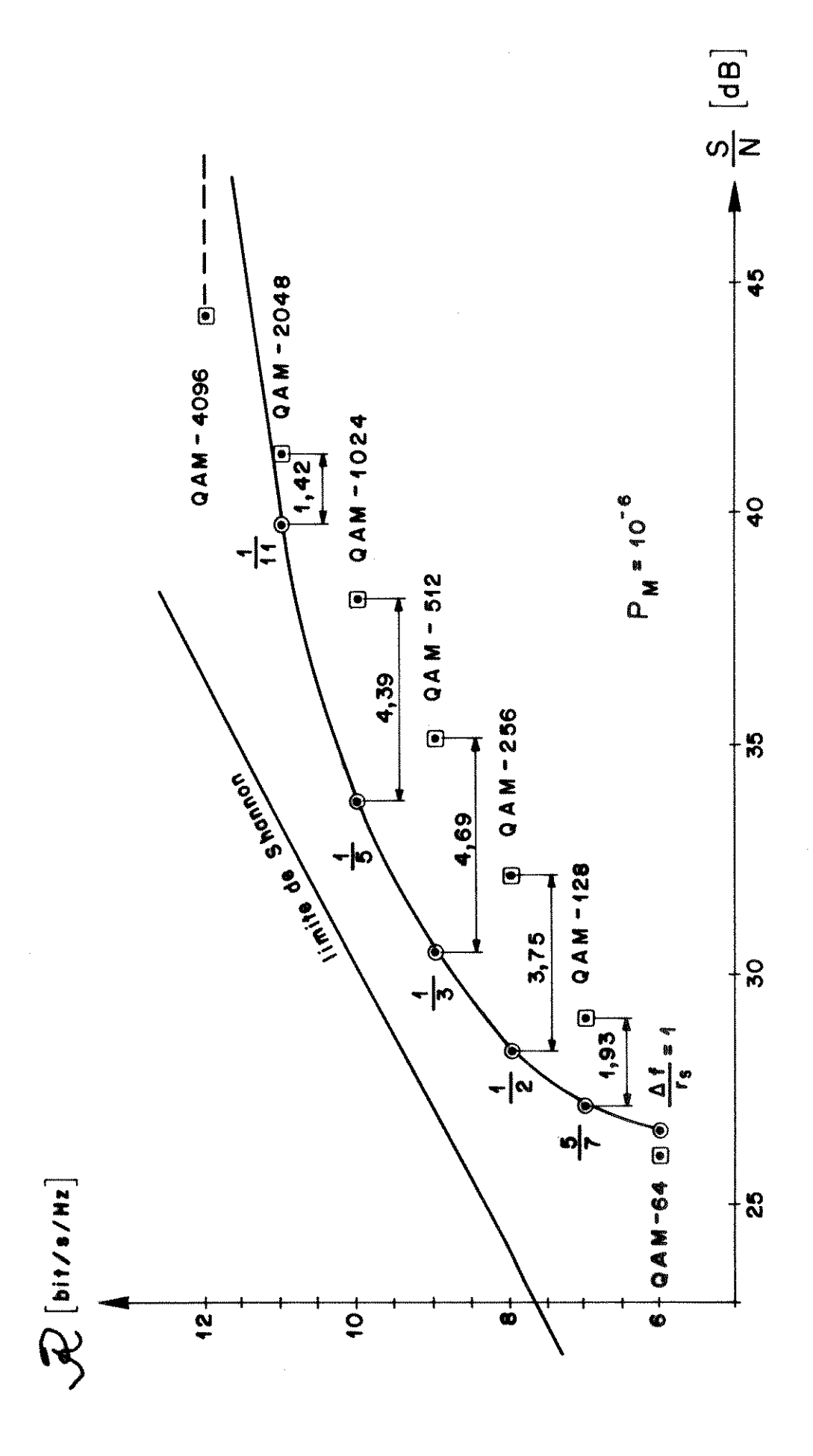


Fig. 4.6 Curva de eficiência de transmissão do sistema {QAM-64}<sup>2</sup>, para P<sub>M</sub> = 10-6.

maiores para constelações maiores. Isto é justificado pelo fato de que quando aumenta a constelação de sinais nos sistemas QAM-M, o diagrama de sinais fica mais compacto sendo mais facilmente perturbado por ruído. Aqui o sistema {QAM-m}<sup>2</sup> apresenta vantagens significativas porque utiliza duas constelações de ordem menor, ou seja, menos compactas e independentes entre si.

No caso de constelações robustas, como as QAM-4 e QAM-8, que não são tão compactas, não é possível obter-se no sistema {QAM-m}<sup>2</sup> ganhos tão significativos.

Na Tabela 4.6 registram-se as relações sinal/ruído média por símbolo S/N e suas probabilidades de erro de símbolo  $P_M$ , para distintos valores do parâmetro  $\Delta f/r_s$ . Com ajuda desta tabela, constroem-se as curvas de desempenho do sistema  $\{QAM-64\}^2$ , parametrizadas em  $\Delta f/r_s$ , mostradas na Fig. 4.7. Acompanham também nesta figura, as curvas de desempenho dos sistema QAM-128/256/512/1024/2048.

# 4.5 Sincronização do Sistema {QAM}<sup>2</sup>

No Capítulo 3 analisou-se o sistema  $\{QAM\}^2$  considerando-se o procedimento de deteção no primeiro período  $T_S$  de amostragem. Isto é, considerou-se que as portadoras, vide Fig. 3.2(a), possuem no instante zero defasagem nula. O mesmo ocorre para os sinais de informação  $s_1(t)$  e  $s_2(t)$  enviados pelo transmissor.

Neste item vai-se analisar o sistema {QAM}<sup>2</sup> para subsequentes períodos de amostragem.

Para o h-ésimo intervalo de amostragem o sinal recebido no receptor fica

$$s(t) = A_1 \cos[\omega_1 t + \theta_1 + (h-1)\omega_1 T_S] + A_2 \cos[\omega_2 t + \theta_2 + (h-1)\omega_2 T_S] + + n_I(t) \cos[\omega_0 t + (h-1)\omega_0 T_S] - n_O(t) \cos[\omega_0 t + (h-1)\omega_0 T_S]$$
(4.34)

para

$$0 \le t \le T_S$$

Do mesmo modo, os osciladores locais do receptor, ficam

$$\cos[\omega_1 t + (h-1)\omega_1 T_S]$$
 (4.36)

$$\cos[\omega_2 t + (h-1)\omega_2 T_S] \tag{4.37}$$

Segundo as expressões (4.34-37), a resposta do circuito tipo  $\gamma$  mostrada na Fig. 3.2(b), será

Tabela 4.6 Probabilidade de erro de símbolo PM e relação sinal/ruído média por símbolo S/N, para o sistema {QAM-64}².

					i de mandre de la companya del companya del companya de la company			
				νZ	$\frac{2}{N}$ [dB]			
				<u></u>	PM			
ষ				•	E			
r <sub>io</sub>	10-1	10-2	10-3	10-4	10-5	10_6	10-7	10-8
	19,3389	22,0004	23,7615	24,9853	25,9507	26,7465	27,4226	28,0101
5/7	19,8167	22,4782	24,2394	25,4631	26,4285	27,2243	27,9004	28,4879
1/2	21,0367	23,6982	25,4593	26,6831	27,6485	28,4442	29,1204	29,7079
1/3	23,1244	25,7859	27,5471	28,7708	29,7362	30,5320	31,2082	31,7956
1/5	26,4408	29,1023	30,8635	32,0872	33,0526	33,8484	34,5246	35,1120
	32,4252	35,0867	36,8479	38,0716	39,0370	39,8328	40,5090	41,0964
2								

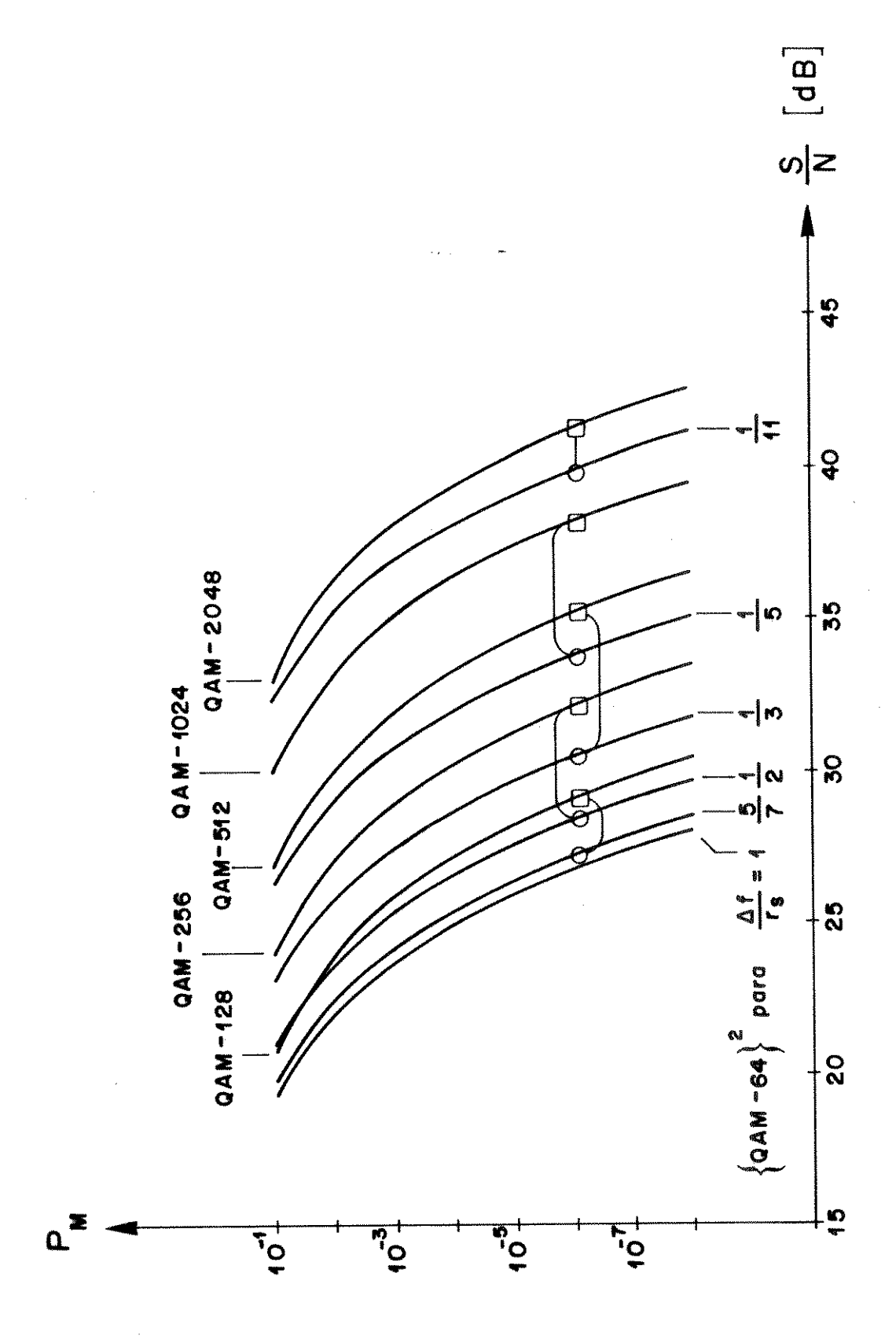


Fig. 4.7 Curvas de desempenho parametrizadas em Af/rs para o sistema {QAM-64}2.

$$0\delta(t) = A_1 \cos\{(\omega_1 - \omega_i)[t + (h-1)T_S] + \theta_1\} + A_2 \cos\{(\omega_2 - \omega_i)[t + (h-1)T_S] + \theta_2\} + n_I(t) \cos\{(\omega_0 - \omega_i)[t + (h-1)T_S]\} - n_O(t) \sin\{(\omega_0 - \omega_i)[t + (h-1)T_S]\}$$
(4.38)

De forma similar, para a resposta do circuito tipo β, mostrada na fig. 3.2(c), tem-se

$$0\beta(t) = A_1 \operatorname{sen}\{(\omega_1 - \omega_i)[t + (h-1)T_S] + \theta_1\} + A_2 \operatorname{sen}\{(\omega_2 - \omega_i)[t + (h-1)T_S] + \theta_2\} + \Pi_1(t) \operatorname{sen}\{(\omega_0 - \omega_i)[t + (h-1)T_S]\} + \Pi_0(t) \operatorname{cos}\{(\omega_0 - \omega_i)[t + (h-1)T_S]\}$$
(4.39)

Integrando as expressões (4.38) e (4.39), no período de amostragem T<sub>S</sub>, obtem-se

$$O\gamma(T_s) = T_s \left\{ \frac{sen(\omega_1 - \omega_i)T_s}{(\omega_1 - \omega_i)T_s} \right\} A_1 \cos[(\omega_1 - \omega_i)(h-1)T_s + \theta_1] +$$

$$+ \left[ \frac{\cos(\omega_1 - \omega_i)T_s - 1}{(\omega_1 - \omega_i)T_s} \right] A_1 sen[(\omega_1 - \omega_i)(h-1)T_s + \theta_1] +$$

$$+ \left[ \frac{sen(\omega_2 - \omega_i)T_s}{(\omega_2 - \omega_i)T_s} \right] A_2 \cos[(\omega_2 - \omega_i)(h-1)T_s + \theta_2] +$$

$$+ \left[ \frac{\cos(\omega_2 - \omega_i)T_s - 1}{(\omega_2 - \omega_i)T_s} \right] A_2 sen[(\omega_2 - \omega_i)(h-1)T_s + \theta_2] +$$

$$+ Q\gamma(T_s)$$

$$(4.40)$$

onde

$$Q_{\gamma}(T_{s}) = \int_{0}^{T_{s}} n_{I}(t) \cos\{(\omega_{o} - \omega_{i}) \left[t + (h - 1)T_{s}\right]\} dt -$$

$$-\int_{0}^{T_{s}} n_{Q}(t) \sin\{(\omega_{o} - \omega_{i}) \left[t + (h - 1)T_{s}\right]\} dt$$

$$(4.41)$$

e

$$O_{\beta}(T_s) = T_s \left\{ \frac{sen(\omega_1 - \omega_i)T_s}{(\omega_1 - \omega_i)T_s} \right] A_1 sen[(\omega_1 - \omega_i)(h-1)T_s + \theta_1] - \left[ \frac{\cos(\omega_1 - \omega_i)T_s - 1}{(\omega_1 - \omega_i)T_s} \right] A_1 con[(\omega_1 - \omega_i)(h-1)T_s + \theta_1] + \left[ \frac{sen(\omega_2 - \omega_i)T_s}{(\omega_2 - \omega_i)T_s} \right] A_2 sen[(\omega_2 - \omega_i)(h-1)T_s + \theta_2] - \left[ \frac{\cos(\omega_2 - \omega_i)T_s - 1}{(\omega_2 - \omega_i)T_s} \right] A_2 cos[(\omega_2 - \omega_i)(h-1)T_s + \theta_2] \right\} + Q_{\beta}(T_s)$$

$$(4.42)$$

onde

$$Q_{\beta}(T_{s}) = \int_{0}^{T_{s}} n_{I}(t) \operatorname{sen}\left\{\left(\omega_{o} - \omega_{i}\right) \left[t + (h - 1)T_{s}\right]\right\} dt +$$

$$+ \int_{0}^{T_{s}} n_{Q}(t) \cos\left\{\left(\omega_{o} - \omega_{i}\right) \left[t + (h - 1)T_{s}\right]\right\} dt$$

$$(4.43)$$

Assim, os sinais depois dos integradores serão

$$a'(T_s) = O\gamma(T_s)|_{i=1}$$

$$= T_s\{x_1 + x_2[k_1\cos\phi + k_2\sin\phi] + y_2[-k_1\sin\phi + k_2\cos\phi]\} + Q'a(T_s)$$
(4.44)

onde

$$Q_{a}(T_{S}) = \int_{0}^{T_{S}} \left\{ n_{I}(t) \cos \zeta - n_{Q}(t) \operatorname{sen} \zeta \right\} dt$$
(4.45)

$$\phi = \Delta\omega(h-1)T_s = 2\pi(h-1)\frac{\Delta f}{r_s}$$
(4.46)

$$\varsigma = \frac{\Delta\omega}{2} \left[ t + (h - 1)T_s \right] \tag{4.47}$$

Também

$$b'(T_s) = O_{\beta}(T_s)|_{i=1}$$

$$= T_s \{ Y_1 - X_2 [ -K_1 \operatorname{sen} \phi + K_2 \cos \phi ] + Y_2 [ K_1 \cos \phi + K_2 \operatorname{sen} \phi ] \} + Q_b'(T_s)$$
(4.48)

onde

$$Q_b(T_s) = \int_0^{T_s} \left\{ n_I(t) \operatorname{sen}\varsigma + n_Q(t) \cos\varsigma \right\} dt$$
(4.49)

e

$$c'(T_s) = O_{\gamma}(T_s)|_{i=2}$$

$$= T_s\{x_1[k_1\cos\phi + k_2\sin\phi] - y_1[-k_1\sin\phi + k_2\cos\phi] + x_2\} + Q'c(T_s)$$
 (4.50)

onde

$$Q_c(T_s) = \int_0^{T_s} \left\{ n_I(t) \cos \varsigma + n_Q(t) \sin \varsigma \right\} dt$$
 (4.51)

e

$$d'(T_s) = O_{\beta}(T_s)|_{i=2}$$

$$= T_s\{x_1[-k_1 sen\phi + k_2 cos\phi] + y_1[k_1 cos\phi + k_2 sen\phi] + y_2\} + Q'd(T_s)$$
(4.52)

onde

$$Q_{d}^{\prime}(T_{S}) = \int_{0}^{T_{S}} \left\{ -n_{I}(t) \operatorname{sen} \zeta + n_{Q}(t) \cos \zeta \right\} dt$$
(4.53)

Reescrevendo as equações (4.44-53) em forma matricial, tem-se

$$\overrightarrow{O'} = T_{S}\widetilde{M'} \overrightarrow{S} + \overrightarrow{Q'}$$
 (4.54)

onde

$$\overrightarrow{O'} = \begin{bmatrix} a'(T_S) \\ b'(T_S) \\ c'(T_S) \\ d'(T_S) \end{bmatrix}$$
 novo vetor de saídas (4.55)

$$\vec{S} = \begin{bmatrix} A_1 \cos \theta_1 \\ A_1 \sin \theta_1 \\ A_2 \cos \theta_2 \\ A_2 \sin \theta_2 \end{bmatrix} \quad \text{novo vetor de sinais}$$

$$(4.56)$$

$$\vec{Q}' = \begin{bmatrix} \vec{Q}_a(T_S) \\ \vec{Q}_b(T_S) \\ \vec{Q}_c(T_S) \\ \vec{Q}_d(T_S) \end{bmatrix}$$
 nova matriz de ruído (4.57)

$$\widetilde{\mathbf{M}}' = \begin{bmatrix} 1 & 0 & \beta_1 & \beta_2 \\ 0 & 1 & -\beta_2 & \beta_1 \\ \beta_1 & -\beta_2 & 1 & 0 \\ \beta_2 & \beta_1 & 0 & 1 \end{bmatrix} \text{nova matriz de acoplamento entre sistemas}$$
 (4.58)

e

$$\beta_1 = k_1 \cos \phi + k_2 \sin \phi \tag{4.59}$$

$$\beta_2 = -k_1 \operatorname{sen} \phi + k_2 \operatorname{cos} \phi \tag{4.60}$$

No diagrama em blocos do receptor, como mostrado na Figura 3.2(a), realiza-se a seguinte transformação linear no sistema de equações (4.54)

$$\vec{S} + (T_S)^{-1} (\tilde{M}')^{-1} \vec{Q}' = (T_S)^{-1} (\tilde{M}')^{-1} \vec{O}'$$
(4.61)

onde

$$(\widetilde{\mathbf{M}}')^{-1} = \frac{1}{\mathbf{K}} \begin{bmatrix} 1 & 0 & -\beta_1 & -\beta_2 \\ 0 & 1 & \beta_2 & -\beta_1 \\ -\beta_1 & \beta_2 & 1 & 0 \\ -\beta_2 & -\beta_1 & 0 & 1 \end{bmatrix}$$
(4.62)

$$K = 1 - (K_1^2 + K_2^2) (4.63)$$

Pode-se observar que o ruído será

$$\begin{bmatrix} Q_{1I}(T_S) \\ Q_{1Q}(T_S) \\ Q_{21}(T_S) \\ Q_{2Q}(T_S) \end{bmatrix} = (T_S)^{-1} (\widetilde{M}')^{-1} \overrightarrow{Q}' = \frac{1}{KT_S} \begin{bmatrix} 1 & 0 & -\beta_1 & -\beta_2 \\ 0 & 1 & \beta_2 & -\beta_1 \\ -\beta_1 & \beta_2 & 1 & 0 \\ -\beta_2 & -\beta_1 & 0 & 1 \end{bmatrix} \begin{bmatrix} Q_a(T_S) \\ Q_b(T_S) \\ Q_c(T_S) \\ Q_d(T_S) \end{bmatrix}$$
(4.64)

A seguir, analisa-se a potência média quadrática do ruído dada na expressão (4.64). De forma similar como feito no item 3.2 do capítulo anterior, as potências médias dos ruídos nos estágios de decisão, vide Fig. 3.2(a), serão

$$\left\langle Q_{1I}^{'2}(T_s) \right\rangle = \frac{1}{K^2 T_s^2} \left\{ \left\langle Q_a^{'2}(T_s) \right\rangle + \beta_1^2 \left\langle Q_c^{'2}(T_s) \right\rangle + \beta_2^2 \left\langle Q_d^{'2}(T_s) \right\rangle + \\ + 2 \left[ -\beta_1 \left\langle Q_a^{'}(T_s) Q_c^{'}(T_s) \right\rangle - \beta_2 \left\langle Q_a^{'}(T_s) Q_d^{'}(T_s) \right\rangle + \\ + \beta_1 \beta_2 \left\langle Q_c^{'}(T_s) Q_d^{'}(T_s) \right\rangle \right] \right\}$$

$$(4.65)$$

$$\left\langle Q_{1Q}^{'2}(T_s) \right\rangle = \frac{1}{K^2 T_s^2} \left\{ \left\langle Q_b^{'2}(T_s) \right\rangle + \beta_1^2 \left\langle Q_d^{'2}(T_s) \right\rangle + \beta_2^2 \left\langle Q_c^{'2}(T_s) \right\rangle + \left. + 2 \left[ -\beta_1 \left\langle Q_b^{'}(T_s) Q_d^{'}(T_s) \right\rangle + \beta_2 \left\langle Q_b^{'}(T_s) Q_c^{'}(T_s) \right\rangle - \right. \right.$$

$$\left. -\beta_1 \beta_2 \left\langle Q_d^{'}(T_s) Q_c^{'}(T_s) \right\rangle \right\}$$

$$\left. \left\{ (4.66) \right\}$$

$$\left\langle Q_{2I}^{'2}(T_s) \right\rangle = \frac{1}{K^2 T_s^2} \left\{ \left\langle Q_c^{'2}(T_s) \right\rangle + \beta_1^2 \left\langle Q_a^{'2}(T_s) \right\rangle + \beta_2^2 \left\langle Q_b^{'2}(T_s) \right\rangle + \\
+ 2 \left[ -\beta_1 \left\langle Q_c^{'}(T_s) Q_a^{'}(T_s) \right\rangle + \beta_2 \left\langle Q_c^{'}(T_s) Q_b^{'}(T_s) \right\rangle - \\
- \beta_1 \beta_2 \left\langle Q_a^{'}(T_s) Q_b^{'}(T_s) \right\rangle \right] \right\}$$

$$(4.67)$$

$$\left\langle Q_{2Q}^{'2}(T_s) \right\rangle = \frac{1}{K^2 T_s^2} \left\{ \left\langle Q_d^{'2}(T_s) \right\rangle + \beta_1^2 \left\langle Q_b^{'2}(T_s) \right\rangle + \beta_2^2 \left\langle Q_a^{'2}(T_s) \right\rangle +$$

$$+ 2 \left[ -\beta_1 \left\langle Q_d^{'}(T_s) Q_b^{'}(T_s) \right\rangle - \beta_2 \left\langle Q_d^{'}(T_s) Q_a^{'}(T_s) \right\rangle +$$

$$+ \beta_1 \beta_2 \left\langle Q_b^{'}(T_s) Q_a^{'}(T_s) \right\rangle \right]$$

$$(4.68)$$

Também, de forma similar, com ajuda do apêndice B, tem-se

$$\left\langle Q_a^{'2}(T_s) \right\rangle = \left\langle Q_b^{'2}(T_s) \right\rangle = \left\langle Q_c^{'2}(T_s) \right\rangle = \left\langle Q_d^{'2}(T_s) \right\rangle = \eta W_{T_s}^2 I(a,b) \tag{4.69}$$

$$\langle Q_a(T_s) Q_b(T_s) \rangle = \langle Q_c(T_s) Q_d(T_s) \rangle = 0$$
 (4.70)

$$\left\langle Q_a(T_s)Q_c(T_s) \right\rangle = \left\langle Q_b(T_s)Q_d(T_s) \right\rangle = K_1 \eta W_{T_s}^2 I(a,b) r(a,b) \tag{4.71}$$

$$\left\langle Q_a(T_s)Q_d(T_s) \right\rangle = -\left\langle Q_c(T_s)Q_b(T_s) \right\rangle = K_2 \eta W_{T_s}^2 I(a,b) r(a,b)$$
(4.72)

onde

$$a = \pi r_{S} \left( 1 + \frac{\Delta f}{r_{S}} \right) \tag{4.73}$$

$$b = \pi r_{\rm S} \left( \frac{\Delta f}{r_{\rm S}} \right) \tag{4.74}$$

Deste modo, substituindo as expressões (4.69-74) nas equações (4.65-68), e segundo as expressões (4.46) e (4.47), tem-se

$$\left\langle Q_{1I}^{'2}(T_s) \right\rangle = \left\langle Q_{1Q}^{'2}(T_s) \right\rangle = \left\langle Q_{2I}^{'2}(T_s) \right\rangle = \left\langle Q_{2Q}^{'2}(T_s) \right\rangle = \left\langle Q_{2Q}^{'2}(T_s)$$

$$= \eta W \frac{\left\{1 + \left[1 - 2r(a,b)\right] \left(K_1^2 + K_2^2\right)\right\} I(a,b)}{\left[1 - \left(K_1^2 + K_2^2\right)\right]^2}$$
(4.75)

que é igual a potência de ruído analisada no item 3.2, como se esperava, já que realizar a deteção do sistema  $\{QAM\}^2$  em diferentes intervalos de tempo  $T_S$  não deveria alterar a potência média do ruído.

Assim, para realizar a deteção no sistema  $\{QAM\}^2$  no intervalo h-ésimo de amostragem, é necessário conhecer a inversa da matriz de acoplamento entre sistemas mostrada na equação (4.58). Isto nos leva a manter um controle do parâmetro h; em outras palavras, deve-se manter uma contagem dos intervalos de amostragem  $T_s$  desde o instante em que as portadoras de freqüências angulares  $\omega_1$  e  $\omega_2$  partiram com a mesma fase zero. Deste modo é possível realizar a transformação linear mostrada na Figura 3.2(a) e lograr a separação dos dois sistemas QAM transmitidos de forma superposta.

### **CAPÍTULO 5**

### Discussão Geral sobre os Sistemas {QAM}<sup>2</sup>

Neste capítulo analisam-se os resultados obtidos para o sistema {QAM}<sup>2</sup>. Discutem-se os prós e os contras que apresenta o sistema e compara-se o mesmo com o TCM com o propósito de ressaltar as particularidades de cada um deles. Apresentam-se também dificuldades de implementações práticas do sistema {QAM}<sup>2</sup> e sugestões para futuros trabalhos.

#### 5.1 Análise dos Resultados

No Capítulo 1 realizou-se uma revisão detalhada dos sistemas QAM convencionais, considerando-os como sistemas de banda limitado. Os resultados obtidos serviram mais tarde para a comparação do sistema {QAM}² com o sistema QAM convencional.

Nas Fig. 4.2, 4.5 e 4.7 comparam-se os desempenhos dos sistemas {QAM}² com os QAM. Além de se observar ganhos ou perdas com relação aos sistemas QAM, observa-se que o desempenho do sistema {QAM}² aumenta conforme diminui a probabilidade de erro de símbolo P<sub>M</sub>. De outro modo, o sistema {QAM}² parece ser mais robusto à interferência por ruído AWGN para valores altos de relação sinal/ruído.

As Fig. 4.1, 4.3 e 4.6 mostram curvas de eficiência dos sistemas  $\{QAM\}^2$ , mas agora para uma probabilidade de erro de símbolo determinada. Observa-se que os ganhos obtidos nestes sistemas, para um determinado  $\Delta f/r_s$ , acontecem para valores de eficiência espectral constante. Por exemplo, na Fig.4.3, o sistema  $\{QAM-16\}^2$  com  $\Delta f/r_s=1/3$ , possui um ganho de 1,85 dB de relação sinal/ruído com relação ao sistema convencional QAM-64 para uma eficiência espectral de 6 bit/s/Hz.

Pode-se tambem observar as particularidades dos sistemas de outro ponto de vista. Como por exemplo, considerando-se fixa a relação sinal/ruído, iríamos ter casos de ganhos e de perdas de eficiência espectral.

Na Fig. 5.1, mostra-se esta situação para o sistema {QAM-16}<sup>2</sup>. Assim para uma relação sinal/ruído de aproximadamente 22,9 dB, o sistema {QAM-16}<sup>2</sup> é aproximadamente 0,6 bit/s/Hz mais eficiente que o sistema QAM-32. Isto é o sistema {QAM-16}<sup>2</sup> ocupa menos banda de passagem.

No caso do sistema  $\{QAM-16\}^2$  para S/N = 26,1 dB, ganha 0,4 bit/s/Hz em eficiência espectral frente ao sistema QAM-64 para uma probabilidade de erro de símbolo de  $P_M = 10^{-6}$ .

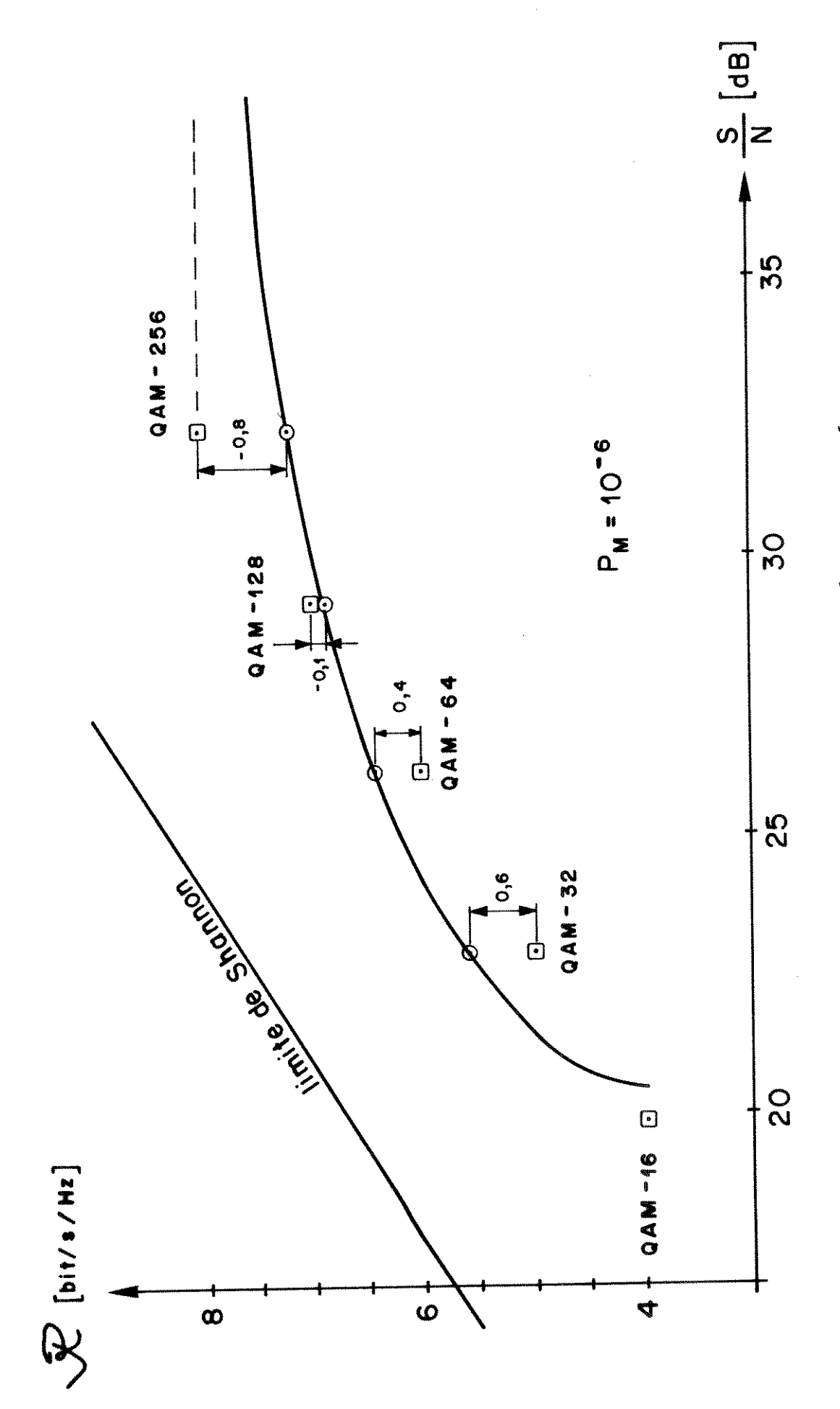


Fig. 5.1 Curva de eficiência de transmissão do sistema {QAM-16}<sup>2</sup> para P<sub>M</sub>=10-6, mostrando ganho ou atenuação de R para S/N constante.

Diferente são os resultados para o sistema QAM-128. Embora o sistema {QAM-16}<sup>2</sup> tenha eficiência espectral pouco menor do que a do QAM-128, provavelmente será mais fácil implementar o {QAM -16}<sup>2</sup>.

Algo similar acontece com o sistema QAM-256 para S/N = 32,2 dB. O sistema {QAM-16}<sup>2</sup> perde aproximadamente 0,8 bit/s/Hz frente a seu competidor, mas por outro lado transmitir uma constelação QAM-256 é mais dificil de implementar que duas constelações QAM-16.

Na Tabela 5.1 mostram-se os resultados aqui comentados, acrescentando-se conclusões em relação aos ganhos ou atenuação para o caso do sistema  $\{QAM-64\}^2$ . Os resultados fornecidos tanto para o parâmetro  $\Delta f/r_{\rm S}$  como para a eficiência espectral  $\Re$ , foram valores aproximados obtidos da interpolação da função  $\delta(a, b)$  da Figura 3.4 devido à dificuldade encontrada em separar o parâmetro  $\Delta f/r_{\rm S}$  na equação (3.119).

## 5.2 Características Gerais do Sistema {QAM}<sup>2</sup>

Pode-se agrupar as características gerais dos sistemas {QAM}<sup>2</sup> segundo os itens como segue.

### 5.2.1 Simplicidade do Transmissor

Como mostrado na Fig. 3.1, o transmissor usado para implementar o sistema {QAM-m}² é composto por dois transmissores QAM-m, trabalhando aditivamente. Porém, estruturalmente o transmissor não apresenta complexidade em relação a transmissão usada nos sistemas QAM-M convencionais.

### 5.2.2 Simplicidade do Receptor

Nas Figs. 3.2 e 3.3 mostram-se o receptor para o sistema {QAM-m}<sup>2</sup>. Sem considerar os bancos de correlatores e a transformação linear, o resto do sistema receptor é composto por estágios do mesmo tipo que dos sistemas QAM-M convencionais. Mais ainda, estes estágios são de menor complexidade que os do QAM-M por serem sistemas que trabalham com constelações de ordem menor.

Com respeito aos correlatores e ao estágio de transformação linear, não existem problemas do ponto de vista circuital. Já a implementação dos defasadores de  $90^{\circ}$  não é tão imediata para um espectro de faixa  $r_{\rm S}$ , pois pode necessitar de sintetização de circuitos com resposta de fase plana em segmentos do espectro.

Tabela 5.1 Ganho-atenuação de eficiência espectral nos sistemas  $\{QAM-16\}^2$  e  $\{QAM-64\}^2$ , para  $P_M=10^{-6}$ .

	QAM-M		{QAM	л-16} <sup>2</sup>	Ganho G <sub>93</sub>
М	$\frac{S}{N}[dB]$	R [bit/s/Hz]	$\frac{\Delta f}{r_s}$	ห' [bit/s/Hz]	[bit/s/Hz]
32	22,8662	5	0,43	5,6	0,6
64	26,1005	6	0,25	6,4	0,4
128	29,1587	7	0,17	6,8	-0,1
256	32,1954	8	0,12	7,1	-0,8

	QAM-M		{QAI	M-16} <sup>2</sup>	Ganho G <sub>R</sub>
M	$\frac{S}{N}[dB]$	N [bit/s/Hz]	$\frac{\Delta f}{r_s}$	R' [bit/s/Hz]	[bit/s/Hz]
128	29,1587	7	0,43	8,4	1,4
256	32,1954	8	0,26	9,5	1,5
512	35,2206	9	0,17	10,2	1,2
1024	38,2396	10	0,12	10,7	0,7
2048	41,2551	11	0,08	11,1	0,1
4096	44,2687	12	.0,06	11,3	-0,7

# 5.2.3 Ganhos em Relação ao Sistema QAM

Nas tabelas 4.1, 4.3 e 4.5 mostram-se ganhos, em alguns casos perdas, dos sistemas {QAM-m}<sup>2</sup>, com eficiência espectral constante. Em forma gráfica mostram-se estes resultados nas Figs. 4.1, 4.3 e 4.6.

Por outro lado na Tabela 5.1 mostrou-se ganhos do sistema {QAM-m}<sup>2</sup> com respeito aos sistemas QAM-M convencionais, mas agora com relação sinal/ruído constante.

#### 5.2.4 Ganho Assintótico

Define-se o ganho assintótico  $G_a$ , à relação existente entre a relação sinal/ruído do sistema QAM-M convencional e a relação sinal/ruído do sistema  $\{QAM-m\}^2$ , quando as relações sinal/ruído são muito altas.

Relembrando que para a probabilidade de erro de símbolo do sistema QAM-M, temse

$$P_{M_{M}} \cong 4\left(1 - \frac{1}{\sqrt{M}}\right) Q\left(\sqrt{\frac{3}{0,7737(M-1)}\left(\frac{S}{N}\right)}_{M}\right)$$
 (5.1)

e para o sistema {QAM-m}<sup>2</sup> tem-se

$$P_{\mathbf{M}_{\mathbf{m}}} \cong 8 \left( 1 - \frac{1}{\sqrt{m}} \right) Q \left( \sqrt{\frac{3}{2(m-1)\delta(\mathbf{a}, \mathbf{b})}} \left( \frac{\mathbf{S}}{\mathbf{N}} \right)_{\mathbf{m}} \right)$$
 (5.2)

Agora se as relações sinal/ruído das equações (5.1) e (5.2), são muito altas, as probabilidades de erro de símbolo  $P_{M_M}e\ P_{M_m}$  serão muito pequenas. Assim pode-se escrever

$$Q\left(\sqrt{\frac{3}{0,7737(M-1)}\left(\frac{S}{N}\right)}_{M}\right) \cong Q\left(\sqrt{\frac{3}{2(m-1)\delta(a,b)}\left(\frac{S}{N}\right)}_{m}\right)$$
(5.3)

segundo a definição de ganho assintótico, tem-se da expressão (5.3)

$$G_{a} = \frac{\left(\frac{S}{N}\right)_{M}}{\left(\frac{S}{N}\right)_{m}} \cong 0,3868 \frac{(M-1)}{(m-1)} \frac{1}{\delta(a,b)}$$
 (5.4)

que resulta em termos de decibéis

$$G_a[dB] \cong 10\log_{10} \frac{M-1}{m-1} - 10\log_{10} \delta(a,b) - 4{,}1246$$
 (5.5)

Na Tabela 5.2 mostram-se ganhos assintóticos dos sistemas {QAM-m}<sup>2</sup> para m=4,16 e 64 em relação os sistemas QAM-M convencionais.

## 5.2.5 Não há Necessidade de Codificação

Como já comentado anteriormente, os sistemas de transmissão digital, visando melhorar a proteção de erro devido à pertubação no canal de transmissão, são submetidos a processos de codificação-decodificação. Nestas circunstâncias, a eficiência dos sistemas não aumenta, devido ao fato de que a codificação expande a faixa de ocupação do sistema.

Com o sistema{QAM-m}<sup>2</sup> está se introduzindo uma alternativa de transmissão, agora sem codificação. Obtêm-se eficiências, na maioria dos casos, maiores que as dos correspondentes QAM, sem modificar a eficiência espectral.

# 5.2.6 Sincronização

No item 4.5 do Capítulo 4 desenvolveu-se uma análise da sincronização do sistema {QAM-m}<sup>2</sup>, tendo em vista que os dois sistemas QAM-m transmitidos de forma superposta não possuem a mesma frequência.

Mostrou-se a necessidade de conhecer o número h de intervalos de amostragem durante a transmissão, facilitando assim a deteção. Esta contagem do parâmetro h é necessária para poder-se realizar a transformação linear no receptor, como mostra a Fig. 3.2.

Uma outra alternativa para sincronizar o sistema é observar em quantos períodos T<sub>s</sub> as duas portadoras atingem a mesma fase, e assim verificar a quantidade necessária de ciclos por, portadora para "zerar" o sistema.

Em outras palavras

$$T_0 = n_1/f_1 = n_2/f_2 \tag{5.6}$$

$$T_0$$
 é o tempo para que as duas portadoras atinjam a mesma fase (5.7)

$$n_1$$
 é o número de ciclos da portadora de frequência  $f_1$  (5.8)

Tabela 5.2 Ganhos assintóticos do sistema  $\{QAM-m\}^2$ , para m=4, 16 e 64.

m = 4					
$\frac{\Delta f}{r_s}$	N [bit/s/Hz]	М	G <sub>a</sub> [dB]		
1/3	3	8	-0,5265		

m = 16					
$\frac{\Delta f}{r_s}$	R [bit/s/Hz]	М	G <sub>a</sub> [dB]		
3/5	5	32	1,7454		
1/3	6	64	2,0262		

m = 64					
$\frac{\Delta f}{r_s}$	N [bit/s/Hz]	М	G <sub>a</sub> [dB]		
5/7	7	128	2,1458		
1/2	8	256	3,9533		
1/3	9	512	4,8845		
1/5	10	1024	4,5826		
1/11	11	2048	1,6108		

A equação (5.6) fornece a condição para zerar a contagem do parâmetro, já que as portadoras encontram-se com a mesma fase reiteradamente a cada  $T_{\rm O}$  segundos.

O exemplo mostrado no ítem seguinte servirá para esclarecer mais esta questão.

# 5.2.7 Um Exemplo Prático

Antes de apresentar um exemplo que abrange todas as particularidades do sistema {QAM-m}<sup>2</sup>, mostra-se uma fórmula útil para cálculos.

Combinando as equações

$$n_1 f_2 = n_2 f_1 \tag{5.10}$$

$$f_1 = f_0 - \Delta f \tag{5.11}$$

$$f_2 = f_0 + \Delta f \tag{5.12}$$

$$r_b = r_s 2\log_2 m \tag{5.13}$$

Chega-se a seguinte expressão

$$\frac{r_{b}}{f_{o}} = \frac{2\log_{2}m}{\frac{\Delta f}{r_{s}}} \left( \frac{\frac{n_{2}}{n_{1}} - 1}{\frac{n_{2}}{n_{1}} + 1} \right)$$
 (5.14)

## Exemplo:

Deseja-se transmitir uma taxa de bits de informação de  $r_b$ =100kb/s para uma frequência central de transmissão de  $f_o$ =123,2 kHz, utilizando uma constelação QAM-256 e  $P_M$  = 10-6.

Deseja-se saber com quais parâmetros da arquitetura {QAM}<sup>2</sup> é possível satisfazer as condições indicadas acima, e quais seriam os ganhos obtidos (largura de banda constante e relação sinal/ruído constante) com respeito ao sistema QAM-256.

### Solução:

Escolhe-se o sistema {QAM-64}<sup>2</sup> e assim, de acordo com a Fig. 4.6, têm-se

m = 64  
M = 256  

$$\Delta f/r_s = 1/2$$
  
 $\Re = 8 \text{ bit/s/Hz}$   
G = 3,75 dB para  $P_M = 10^{-6}$ 

Portanto a taxa de símbolo para um sistema QAM-64, será

$$r_{\rm S} = \frac{r_{\rm b}}{2\log_2 m} \cong 8,333 \text{ kb/s}$$

Tem-se para o afastamento das portadoras

$$\Delta f = \frac{1}{2} r_S \cong 4,167 \text{ kHz}$$

A frequência da primeira portadora

$$f_1 = f_0 - \Delta f \cong 119,033 \text{ kHz}$$

e para a segunda portadora

$$f_2 = f_0 + \Delta f \cong 127,367 \text{ kHz}$$

Portanto para a relação do número de ciclos das portadoras, têm-se

$$\frac{n_2}{n_1} = \frac{f_2}{f_1} = 1,07 = \frac{107}{100}$$

Portanto cada 107 ciclos da portadora  $f_2$  ou cada 100 ciclos da portadora  $f_1$ , podese zerar a contagem do parâmetro h porque as duas portadoras possuem mesma fase. O ganho obtido com largura de banda constante é de G = 3,75 dB.

Uma análise em forma similar, mas agora considerando o sistema atuando a relação sinal/ruído constante, segundo a Tabela 5.1, têm-se

$$\frac{\Delta f}{r_{\rm S}} = 0.26$$

e

$$G_{\Re} = 1.5 \text{ bit / s / Hz}$$
 para  $P_{M} = 10^{-6}$ 

Assim, para o afastamento das portadoras tem-se

$$\Delta f = 0,26r_S \cong 2,167kHz$$

As frequências das portadoras serão

$$f_1 = f_0 - \Delta f \cong 121,033 \text{ kHz}$$

$$f_2 = f_0 + \Delta f \cong 125,367 \text{ kHz}$$

A relação entre os ciclos das portadoras é

$$\frac{n_2}{n_1} = \frac{f_2}{f_1} = 1,036 = \frac{1036}{1000}$$

Isto indica que a cada 1036 ciclos da portadora de frequência  $f_2$ , ou a cada 1000 ciclos da portadora de frequência  $f_1$ , pode-se zerar o parâmetro h. Mas, esta relação entre as portadoras é um pouco crítica no aspecto de implementação prática. Uma saída para este problema é modificar ligeiramente a frequência central. Assim, se

$$f_0 = 110,5 \text{ kHz}$$

então

$$f_1 \cong 108,333 \text{ kHz}$$

e a nova relação entre os números de ciclos das portadoras, será

$$\frac{n_2}{n_1} \cong 1,04 = \frac{104}{100}$$

que resulta uma implementação prática factível.

Nesta outra condição o ganho correspondente de eficiência espectral com relação sinal/ruído constante é de 1,5 bit/s/Hz aproximadamente.

Por outro lado, para ambos os casos examinados neste exemplo, o tempo de símbolo relacionado com o sistema QAM-M e o tempo de símbolo de uma das constelações do sistema {QAM-m}<sup>2</sup> ficam vinculadas pela equação (4.29) que reescreve-se em seguida

$$T_{S} = T_{SM} \frac{2 \log_2 m}{\log_2 M} \tag{5.15}$$

Substituindo nesta última expressão os valores correspondentes para este exemplo, têm-se

$$2T_s = 3T_{sM}$$

Isto significa que por cada 2 símbolos de um sistema QAM-64, transmite-se 3 símbolos do sistema QAM-256. Como os dois sistemas QAM-64 são transmitidos simultaneamente, no tempo  $2T_{\rm S}$  têm-se 24 bits. Também têm-se 24 bits num tempo  $3T_{\rm SM}$ .

# 5.3 Comparação do Sistema {QAM}<sup>2</sup> com o Sistema TCM.

Escolheu-se o sistema que utiliza modulação codificada com códigos convolucionais (TCM) devido à sua utilização ampla em sistemas modernos de transmissão digital, aumentando a eficiência dos mesmos.

Pode-se comparar estes dois tipos de sistemas nos seguintes itens

#### 1. Aspectos em comum:

Tanto o sistema {QAM}<sup>2</sup> como o TCM, contribuem para melhorar a eficiência sobre o sistema no qual atuam, sem modificar a largura de banda de ocupação nem alterar a taxa de informação.

#### 2. Densidade da Constelação Transmitida:

Quando a compactação dos sinais de canal aumenta, a pertubação por ruído AWGN é maior sobre a constelação transmitida. No caso do sistema TCM, este problema é solucionado mediante a codificação, criando redundâncias para a proteção de erro.

No sistema {QAM}<sup>2</sup> transmite-se duas constelações, por um lado, de ordem menor e, por outro lado, independentes entre si. Isto leva o sistema {QAM}<sup>2</sup> a não precisar de codificação por possuir constelações menos compactas.

Expressando a situação de uma outra forma, enquanto o sistema TCM utiliza constelações de ordem maior em seu funcionamento, o sistema {QAM}<sup>2</sup> procura a solução nas constelações de ordem menor.

# 3. Variação Contínua obtida em termos de Eficiência Espectral

A eficiência espectral obtida no sistema TCM é de forma discreta e igual a potências de 2.

O sistema  $\{QAM\}^2$  apresenta uma variação contínua em termos de eficiência espectral, dependendo do afastamento entre as portadoras, que é especificado pelo parâmetro  $\Delta f/r_S$ , isto é, pode-se preencher os lugares existentes em termos de eficiência espectral, entre os espaços deixados nos sistemas convencionais.

#### 4. Ganho Assintótico

Nas Tabelas 2.4 e 5.2 mostram-se os ganhos assintóticos dos sistemas TCM e {QAM}<sup>2</sup>, respectivamente, para o caso de constelações QAM.

Para sistemas TCM que utilizam até 32 estados os ganhos assintóticos são da ordem daqueles obtidos pelo sistems {QAM}<sup>2</sup>. Mas são para diferentes constelações.

Observa-se que, para o sistema TCM, o ganho assintótico aumenta quando cresce o número de estados juntamente com o grau de complexidade do sistema. Assim obtêm-se o maior ganho para 256 estados.

#### 5. Complexidade de Implementação

O sistema TCM é mais complexo que o sistema {QAM}<sup>2</sup> devido ao seu funcionamento sequêncial-combinacional. Algoritmos de decodificação devem ser usados a fim de estimar a sequência transmitida.

Embora o sistema {QAM}<sup>2</sup> apresente a necessidade de sincronização, ele é menos complexo que o sistema com modulação codificada.

# 5.4 Sugestões para Futuras Pesquisas

Este trabalho certamente abre novas alternativas para a transmissão digital. Por isso, numerosas possibilidades neste tema podem ser analisadas e desenvolvidas. Cremos que

com esta contribuição estamos introduzindo bases suficientes para encaminhar futuras pesquisas.

Nossas sugestões são as seguintes:

- 1. Que melhorias em termos de ganhos de relação sinal/ruído e/ou de eficiência espectral poderia se obter combinando o funcionamento do {QAM}<sup>2</sup> com o TCM num mesmo sistema?
- 2. O conceito de superposição pode ser extendido para um número finito de constelações, configurando o sistema {QAM}<sup>μ</sup>, onde μ é um inteiro positivo? Como deveria ser o sistema e que vantagens poderiam resultar?
- 3. Um estudo da sensibilidade do sistema {QAM}<sup>2</sup> em relação à rotação de fase do sinal transmitido.
- 4. Com respeito a dificuldades de implementações práticas, poderiam se desenvolver os desfasadores de 90° necessários ao sistema {QAM}<sup>2</sup>, assim como o sistema de sincronização do mesmo.

## APÊNDICE A

## SOLUÇÃO DAS INTEGRAIS

Neste apêndice apresenta-se a solução de dois tipos de integrais que são utilizadas no transcurso deste trabalho. Elas são:

$$G_1 = \int_0^{T_s} \int_0^{T_s} f(t_2 - t_1) dt_1 dt_2$$
 (A.1)

$$G_2 = \int_0^{T_s} \int_0^{T_s} f(t_2 - t_1) p(t_2 + t_1) dt_1 dt_2$$
 (A.2)

onde as funções  $f(t_2 - t_1)e$   $p(t_2 + t_1)$  estão definidas nas regiões de integração de suas variáveis.

# 1) Solução da Integral $G_1$ :

A função  $f(t_2 - t_1)$  depende unicamente da diferença entre as variáveis de integração  $t_1$  e  $t_2$ . Portanto, na reta dada por  $\tau = t_2 - t_1$  a função  $f(t_2 - t_1)$  é constante.

Na Fig. A.1 mostra-se a região de integração definida pela expressão (A.1).

Pretende-se substituir a integral dupla, dada pela equação (A.1), por uma integral simples [12], dada na variável  $\tau$ . Assim, de acordo com a Fig. A.1, na reta dada pela equação  $\tau = t_2 - t_1$  a variável  $\tau$  percorre a região de integração para valores desde  $\tau = -T_s$  até  $\tau = T_s$ .

A integração em  $\tau$  será realizada sobre o eixo  $\xi$ , perpendicular à reta  $\tau = t_2 - t_1$ , que é o eixo onde a função  $f(\tau)$  possui variação.

Define-se um diferencial de área, para a região de integração, como:

$$dA = \ell d\xi \tag{A.3}$$

$$\ell = \sqrt{2} \left( T_s - |\tau| \right) \tag{A.4}$$

$$d\xi = \frac{d\tau}{\sqrt{2}} \tag{A.5}$$

Deste modo, a integral G1 dada pela expressão (A.1) fica, depois das substituições:

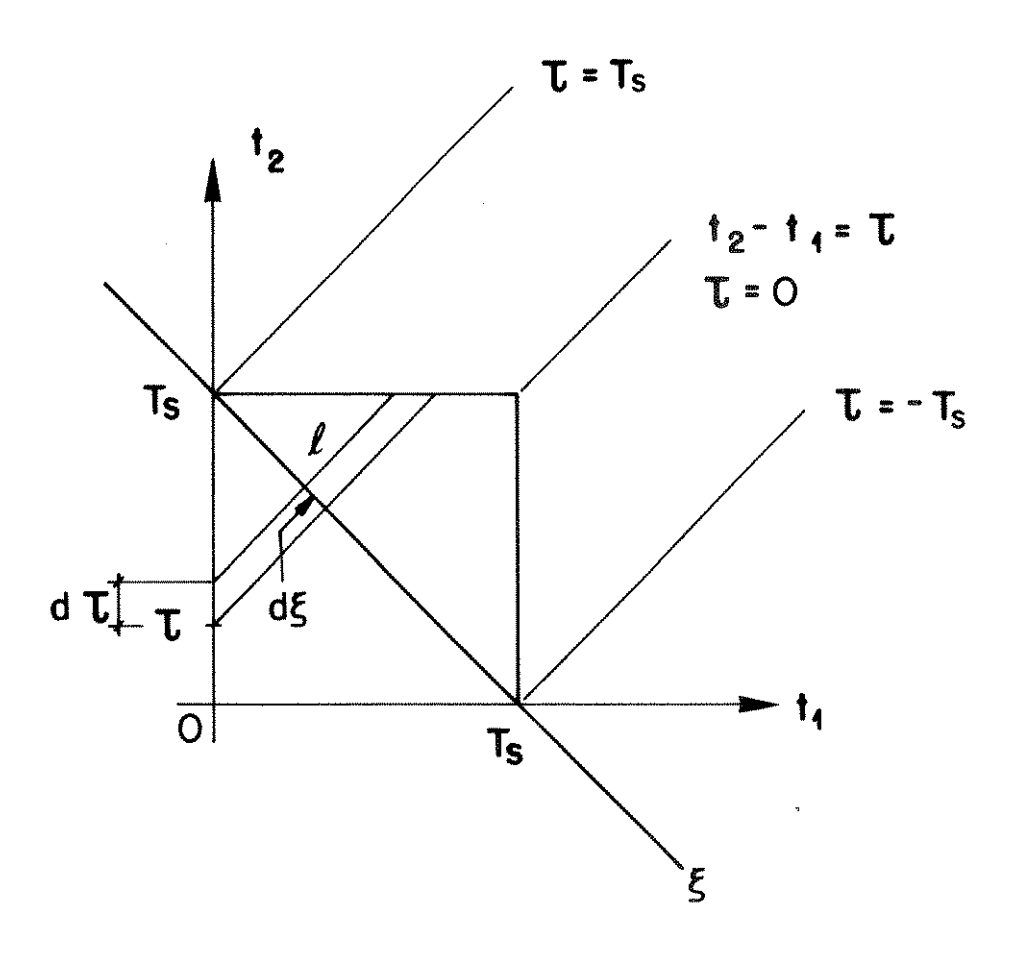


Fig. A.1 Região de integração em função das variáveis  $t_1$ ,  $t_2$  e  $\tau$ .

onde

$$G_1 = \int_{\tau} f(\tau) dA \tag{A.6}$$

$$G_1 = \int_{-T_s}^{T_s} (T_s - |\tau|) f(\tau) d\tau$$
 (A.7)

### 2) Solução da Integral G<sub>2</sub>:

Define-se uma nova variável  $\lambda = t_2 + t_1$  e conjuntamente com a variável  $\tau = t_2 - t_1$ , realiza-se uma transformação entre o plano das variáveis  $t_1$  e  $t_2$  e o plano das variáveis  $\tau$  e  $\lambda$ , como mostrado na Fig. A2.

As equações desta transformação mapeiam a região de integração 1-2-3-4 do plano  $(t_1,t_2)$ , na nova região de integração 1-2-3-4 mas agora no plano  $(\tau,\lambda)$ , como indicado na Fig. A.2(b).

Observa-se que os diferenciais de área destas duas regiões ficam vinculados da seguinte forma:

$$dA_{t_1,t_2} = \frac{1}{2} dA_{\tau,\lambda} \tag{A.8}$$

Assim, a equação (A.2), pode ser expressa:

$$G_2 = \int_{A_{t_1,t_2}} f(t_2 - t_1) p(t_2 + t_1) dA_{t_1,t_2} = \frac{1}{2} \int_{A_{\tau,\lambda}} f(\tau) p(\lambda) dA_{\tau,\lambda}$$
 (A.9)

Identifica-se a integral (A.9) como uma integral de área (ou integral dupla [28]), cuja solução é mostrada a seguir:

Para a função  $f(\tau)$ .  $p(\lambda)$  definida na região  $A_{\tau,\lambda}$  do plano  $(\tau,\lambda)$ , a integral de  $f(\tau)$   $p(\lambda)$  em  $A_{\tau,\lambda}$  é dada da seguinte forma:

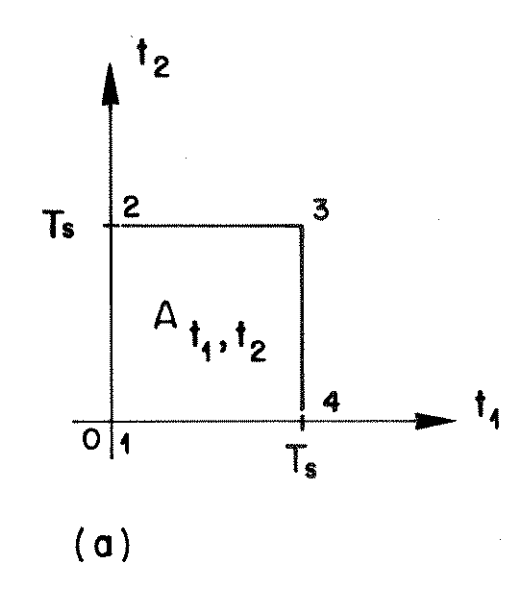
$$G_2 = \frac{1}{2} \int_{\tau = -T_s}^{\tau = T_s} f(\tau) \left\{ \int_{\lambda = f_1(\tau)}^{\lambda = f_2(\tau)} p(\lambda) d\lambda \right\} d\tau$$
(A.10)

onde:

 $f_1(\tau)$ : é a equação da fronteira 4-1-2 da região  $A_{\tau,\lambda}$  da Fig. A.2(b)

e

 $f_2(\tau)$ : é a equação da fronteira 4-3-2 da região  $A_{\tau,\lambda}$  da Fig. A.2(b)



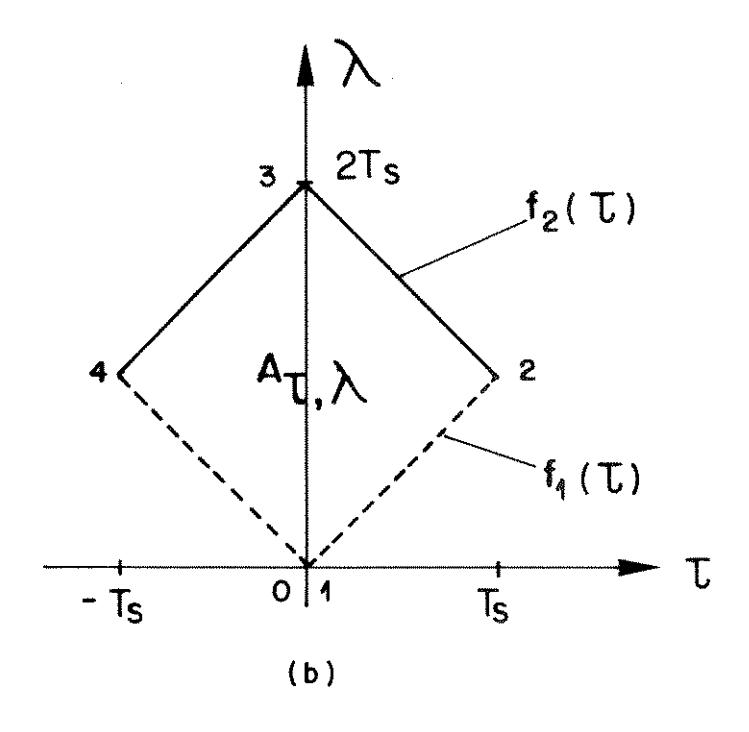


Fig. A.2 Região de integração.

- a) No plano (t<sub>1</sub>, t<sub>2</sub>).
- b) No plano  $(\tau, \lambda)$ .

Observando a Fig. A.2(b), as funções  $f_1(\tau)$  e  $f_2(\tau)$ , serão:

$$f_1(\tau) = |\tau| \tag{A.11}$$

e

$$f_2(\tau) = 2T_s - |\tau| \tag{A.12}$$

Assim, substituindo as expressões (A.11) e (A.12) na equação (A.10), a integral em questão fica:

$$G_2 = \frac{1}{2} \int_{\tau = -T_s}^{\tau = T_s} f(\tau) \left\{ \int_{\tau}^{2T_s - |\tau|} p(\lambda) d\lambda \right\} d\tau \tag{A.13}$$

Que é uma integral de mais fácil resolução que a integral original dada pela expressão (A.2).

# APÊNDICE B

# SOLUÇÃO PARTICULAR DAS INTEGRAIS

Neste apêndice apresentam-se as soluções das seguintes integrais:

$$I_1 = \int_0^{T_s} \int_0^{T_s} \frac{\sin a(t_2 - t_1) \cos b(t_2 - t_1)}{t_2 - t_1} dt_1 dt_2$$
(B.1)

$$I_2 = \int_0^{T_s} \int_0^{T_s} \frac{\sin a(t_2 - t_1) - \sin b(t_2 - t_1)}{t_2 - t_1} dt_1 dt_2$$
(B.2)

$$I_3 = \int_0^{T_s} \int_0^{T_s} \frac{\sin a(t_2 - t_1) \cos b(t_2 + t_1)}{t_2 - t_1} dt_1 dt_2$$
(B.3)

$$I_4 = \int_0^{T_s} \int_0^{T_s} \frac{\sin a(t_2 - t_1) - \sin b(t_2 + t_1)}{t_2 - t_1} dt_1 dt_2$$
(B.4)

$$I_{5} = \int_{0}^{T_{s}} \int_{0}^{T_{s}} \frac{\operatorname{sen} a(t_{2} - t_{1}) \cos [b(t_{2} + t_{1}) + \phi]}{t_{2} - t_{1}} dt_{1} dt_{2}$$
(B.5)

$$I_6 = \int_0^{T_s} \int_0^{T_s} \frac{\sin a(t_2 - t_1) - \sin [b(t_2 + t_1) + \phi]}{t_2 - t_1} dt_1 dt_2$$
 (B.6)

para valores reais de a,b,T<sub>s</sub> e φ.

#### 1 - Solução da Integral I<sub>1</sub>:

Esta integral corresponde ao tipo  $G_1$  dada pela expressão (A.1), cuja solução intermediária foi obtida na equação (A.7). Identifica-se neste caso que:

$$f(\tau) = \frac{\operatorname{sena}\tau \cos b\tau}{\tau} \tag{B.7}$$

Substituindo esta última expressão na equação (A.7), tem-se:

$$I_{l} = \int_{-T_{s}}^{T_{s}} (Ts - |\tau|) \frac{\operatorname{sena}\tau \cos b\tau}{\tau} d\tau$$
(B.8)

Mas, como a função f(τ) é função par, para a equação (B.8), tem-se:

$$I_1 = 2 \int_0^{T_s} (Ts - \tau) \frac{\operatorname{sena}\tau \cos b\tau}{\tau} d\tau$$
 (B.9)

Esta última integral pode ser decomposta em duas partes, da seguinte forma:

$$I_1 = I_{11} + I_{12} \tag{B.10}$$

onde:

$$I_{11} = 2T_s \int_0^{T_s} \frac{\operatorname{sena}\tau \cos b\tau}{\tau} d\tau \tag{B.11}$$

$$I_{12} = -2\int_0^{T_s} \operatorname{sena}\tau \cos b\tau \, d\tau \tag{B.12}$$

Solução de I11:

Substituindo na expressão (B.11) a seguinte função trigonométrica:

$$senA \cos B = \frac{1}{2} \left\{ sen(A+B) + sen(A-B) \right\}$$
 (B.13)

tem-se:

$$I_{11} = T_{s} \left\{ \int_{0}^{T_{s}} \frac{\sin(a+b)\tau}{\tau} d\tau + \int_{0}^{T_{s}} \frac{\sin(a-b)\tau}{\tau} d\tau \right\}$$
 (B.14)

$$I_{11} = T_{s} \left\{ \int_{0}^{(a+b)T_{s}} \frac{\text{sen}\upsilon}{\upsilon} d\upsilon + \int_{0}^{(a-b)T_{s}} \frac{\text{sen}\mu}{\mu} d\mu \right\}$$
 (B.15)

Por outro lado, sabe-se que [28]:

$$S_{i}(\theta) = \int_{0}^{\theta} \frac{\sin x}{x} dx = \sum_{i=0}^{\infty} \frac{(-1)^{i} \theta^{2i+1}}{(2i+1)!(2i+1)}$$
(B.16)

Substituindo esta última expressão na equação (B.15), resulta:

$$I_{11} = T_s \sum_{i=0}^{\infty} \frac{(-1)^i}{(2i+1)!(2i+1)} \left\{ \left[ (a+b)T_s \right]^{2i+1} + \left[ (a-b)T_s \right]^{2i+1} \right\}$$
(B.17)

Se nesta última expressão colocar-se em evidência a T<sub>s</sub>, obtem-se:

$$I_{11} = aT_s^2 \sum_{i=0}^{\infty} \frac{(-1)^i}{(2i+1)!(2i+1)} \left\{ (1+\frac{b}{a}) \left[ (a+b)T_s \right]^{2i} + (1-\frac{b}{a}) \left[ (a-b)T_s \right]^{2i} \right\}$$
 (B.18)

Solução de I<sub>12</sub>:

Substituindo a expressão trigonométrica (B.13) na expressão (B.12), tem-se:

$$I_{12} = -\int_0^{T_s} \sin(a+b)\tau \,d\tau - \int_0^{T_s} \sin(a-b)\tau \,d\tau$$
 (B.19)

Por outro lado, sabe-se que:

Substituindo esta última expressão na (B.19), resulta:

$$I_{12} = -\sum_{i=0}^{\infty} \frac{(-1)^{i}}{(2i+1)!} \left\{ \left[ (a+b)^{2i+1} + (a-b)^{2i+1} \right] \int_{0}^{T_{s}} \tau^{2i+1} d\tau \right\}$$
(B.21)

Resolvendo a integral da expressão (B.21) e pondo em evidência a  $T_s^2$ , obtem-se:

$$I_{12} = -aT_s^2 \sum_{i=0}^{\infty} \frac{(-1)^i}{(2i+1)!(2i+2)} \left\{ (1+\frac{b}{a}) \left[ (a+b)T_s \right]^{2i} + (1-\frac{b}{a}) \left[ (a-b)T_s \right]^{2i} \right\}$$
 (B.22)

Somando as expressões (B.18) e (B.22), resulta a solução da integral I<sub>1</sub>, como:

$$I_1 = aT_s^2 I(a,b)$$
 (B.23)

onde:

$$I(a,b) = \sum_{i=0}^{\infty} \frac{(-1)^{i}}{(2i+1)!(2i+1)(2i+2)} \left\{ (1+\frac{b}{a}) \left[ (a+b)T_{s} \right]^{2i} + (1-\frac{b}{a}) \left[ (a-b)T_{s} \right]^{2i} \right\}$$
 (B.24)

No apêndice D lista-se o programa computacional para avaliar a série de potências I(a,b) dada na expressão (B.24). Na Tabela B.1 mostram-se avaliações numéricas de I(a,b) para valores de  $\Delta f/r_s$  a serem utilizados, onde:

$$a = \pi r_{s} \left( 1 + \frac{\Delta f}{r_{s}} \right) \tag{B.25}$$

$$b = \pi r_s \left( \frac{\Delta f}{r_s} \right) \tag{B.26}$$

## 2 - Solução da Integral I2:

Esta integral corresponde também ao tipo  $G_1$  da expressão (A.1), cuja solução intermediária encontra-se na equação (A.7). Neste caso, tem-se:

$$f(\tau) = \frac{\text{sena}\tau \text{ senb}\tau}{\tau}$$
 (B.27)

assim a integral I2, fica:

$$I_2 = \int_{-T_s}^{T_s} (T_s - |\tau|) \frac{\operatorname{sena}\tau \operatorname{senb}\tau}{\tau} d\tau$$
(B.28)

Aqui é mais imediato:

A equação (B.28) mostra que temos duas funções par  $\left[\left(T_s - |\tau|\right) e \frac{\mathrm{sena}\tau}{\tau}\right]$  multiplicando uma função impar [senb  $\tau$ ] numa integral que vai de - $T_s$  até + $T_s$ . Logo, esta integral é nula.

Tabela B.1 Avaliação das séries de potências I(a,b), H(a,b), J(a,b) e da relação  $r(a,b) \ para \ diversos \ valores \ do \ parâmetro \ \frac{\Delta f}{r_s}.$ 

$\frac{\Delta f}{r_s}$	I(a,b)	H(a,b)	J(a,b)	r(a,b)
1	0,4262	0,5613	0,1849	∞
11/13	0,4578	0,5996	0,1658	1,9996
7/9	0,4739	0,6141	0,1594	1,6965
5/7	0,4903	0,6274	0,1560	1,5335
3/5	0,5241	0,6562	0,1582	1,3502
1/2	0,5588	0,6939	0,1675	1,2417
5/11	0,5763	0,7171	0,1726	1,2012
7/17	0,5936	0,7430	0,1769	1,1669
1/3	0,6273	0,8020	0,1806	1,1124
5/19	0,6590	0,8676	0,1749	1,0722
3/13	0,6739	0,9016	0,1681	1,0564
1/5	0,6880	0,9359	0,1585	1,0430
1/7	0,7141	1,0034	0,1315	1,0226
1/11	0,7371	1,0675	0,0950	1,0094
1/15	0,7474	1,0977	0,0736	1,0051
1/23	0,7569	1,1264	0,0506	1,0022
0	0,7737	1,1790	0	-∞

## 3 - Solução da Integral I3:

Esta integral corresponde ao tipo G<sub>2</sub> apresentada na expressão (A.2). A solução parcial encontra-se na equação (A.13) que reescrita de um outro modo, resulta:

$$I_{3} = \frac{1}{2} \left\{ \int_{-T_{s}}^{0} f(\tau) \int_{-\tau}^{2T_{s} + \tau} p(\lambda) d\lambda + \int_{0}^{T_{s}} f(\tau) \int_{\tau}^{2T_{s} - \tau} p(\lambda) d\lambda \right\} d\tau$$
 (B.29)

onde:

$$f(\tau) = \frac{\operatorname{sen} a\tau}{\tau} \tag{B.30}$$

$$p(\lambda) = \cosh \lambda$$
 (B.31)

A solução das integrais na variável λ serão:

$$\int_{-\tau}^{2T_s + \tau} \cos b\lambda d\lambda = 2T_s[K_1 \cos b\tau + K_2 \sin b\tau]$$
(B.32)

е

$$\int_{\tau}^{2T_s - \tau} \cos b \lambda d\lambda = 2T_s[K_1 \cos b\tau - K_2 \sin b\tau]$$
 (B.33)

onde:

$$K_{l} = \frac{\operatorname{sen} 2bT_{s}}{2bT_{s}} \tag{B.34}$$

$$K_2' = \frac{\cos 2bT_s + 1}{2bT_s}$$
 (B.35)

Substituindo as expressões (B.30-35) na equação (B.29), tem-se:

$$I_3 = 2T_s \left\{ K_1 \int_0^{T_s} \frac{\operatorname{sena} \tau \cos b \tau}{\tau} d\tau - K_2' \int_0^{T_s} \frac{\operatorname{sena} \tau \operatorname{senb} \tau}{\tau} d\tau \right\}$$
(B.36)

Mas, a solução da primeira integral da expressão (B.36) foi achada na equação (B.11) e (B.18), que agora chamaremos:

$$\int_0^{T_s} \frac{\operatorname{sena}\tau \cos b\tau}{\tau} d\tau = \frac{1}{2T_s} a T_s^2 H(a,b)$$
(B.37)

onde:

$$H(a,b) = \sum_{i=0}^{\infty} \frac{(-1)^{i}}{(2i+1)!(2i+1)} \left\{ (1+\frac{b}{a})[(a+b)T_{s}]^{2i} + (1-\frac{b}{a})[(a-b)T_{s}]^{2i} \right\}$$
(B.38)

Só resta achar a solução da segunda integral da expressão (B.36) que, usando a seguinte propriedade trigonométrica

$$senA\tau senB\tau = \frac{1}{2} \{cos(A - B) - cos(A + B)\tau\}$$
(B.39)

resulta:

$$\int_{0}^{T_{s}} \frac{\operatorname{sena}\tau \operatorname{senb}\tau}{\tau} d\tau = \frac{1}{2} \left\{ \int_{0}^{T_{s}} \frac{\cos(a-b)\tau}{\tau} d\tau - \int_{0}^{T_{s}} \frac{\cos(a+b)\tau}{\tau} d\tau \right\}$$
 (B.40)

Mas, sabendo que:

$$\int \frac{\cos Ax}{x} dx = \log_n x - \sum_{i=0}^{\infty} \frac{(-1)^i}{(2i+2)!(2i+2)} (Ax)^{2i+2}$$
 (B.41)

a expressão (B.40) fica:

$$\int_{0}^{T_{s}} \frac{\operatorname{sena}\tau \operatorname{senb}\tau}{\tau} d\tau = \frac{1}{2} \sum_{i=0}^{\infty} \frac{(-1)^{i}}{(2i+2)!(2i+2)} \left\{ [(a+b)T_{s}]^{2i+2} - [(a-b)T_{s}]^{2i+2} \right\}$$
(B.42)

Colocando em evidência aT<sub>s</sub> nesta última expressão, resulta:

$$\int_0^{T_s} \frac{\operatorname{sena}\tau \operatorname{senb}\tau}{\tau} d\tau = \frac{aT_s}{2} J(a,b)$$
 (B.43)

onde:

$$J(a,b) = \sum_{i=0}^{\infty} \frac{(-1)^i}{(2i+2)!(2i+2)} \left\{ (1+\frac{b}{a})[(a+b)T_s]^{2i+1} - (1-\frac{b}{a})[(a-b)T_s]^{2i+1} \right\}$$
(B.44)

Substituindo as expressões (B.37), (B.38), (B.43) e (B.44) na equação (B.36) obtemos:

$$I_3 = aT_s^2 [K_1 H(a,b) - K_2 J(a,b)]$$
(B.45)

Nesta última expressão, colocando em evidência K1 I(a,b), resulta:

$$I_{3} = aK_{1}T_{s}^{2}I(a,b) \left[ \frac{H(a,b)}{I(a,b)} - \frac{K_{2}'}{K_{1}} \frac{J(a,b)}{I(a,b)} \right]$$
(B.46)

e chamando:

$$r(a,b) = \frac{H(a,b)}{I(a,b)} - \frac{K_2}{K_1} \frac{J(a,b)}{I(a,b)}$$
(B.47)

obtem-se para a integral I3:

$$I_3 = aK_1 T_s^2 I(a,b)r(a,b)$$
 (B.48)

As séries de potências H(a,b), J(a,b) e a relação r(a,b), acham-se avaliadas na Tabela B.1 para diversos valores do parâmetro a e b, segundo as equações (B.25) e (B.26) respectivamente.

Os programas computacionais utilizados para H(a,b) e J(a,b) encontram-se no apêndice D.

### 4 - Solução da Integral I4:

A solução desta integral é igual à obtida na expressão (B.29) que, para este caso, pode-se escrever:

$$I_{4} = \frac{1}{2} \left\{ \int_{-T_{s}}^{0} f(\tau) \int_{-\tau}^{2T_{s} + \tau} p(\lambda) d\lambda + \int_{0}^{T_{s}} f(\tau) \int_{\tau}^{2T_{s} - \tau} p(\lambda) d\lambda \right\} d\tau$$
(B.49)

onde:

$$f(\tau) = \frac{\operatorname{sen} a\tau}{\tau} \tag{B.50}$$

$$p(\lambda) = \operatorname{senb}\lambda$$
 (B.51)

Trabalhando com as integrais na variável λ obtem-se:

$$\int_{-\tau}^{2T_s + \tau} \operatorname{senb} \lambda d\lambda = 2T_s[-K_2 \cos b\tau + K_1 \operatorname{senb} \tau]$$
 (B.52)

e:

$$\int_{\tau}^{2T_s - \tau} \operatorname{senb} \lambda d\lambda = 2T_s[-K_2 \cos b\tau - K_1 \operatorname{senb} \tau]$$
(B.53)

onde:

$$K_2 = \frac{\cos 2bT_s - 1}{2bT_s}$$
 (B.54)

Substituindo as expressões (B.50-54)na equação (B.49), resulta:

$$I_4 = 2T_s \left\{ -K_2 \int_0^{T_s} \frac{\operatorname{sena}\tau \cos b\tau}{\tau} d\tau - K_1 \int_0^{T_s} \frac{\operatorname{sena}\tau \operatorname{senb}\tau}{\tau} d\tau \right\}$$
(B.55)

Mas as soluções das integrais que fazem parte da equação (B.55) já foram calculadas no item anterior, resultando neste caso:

$$I_4 = aT_s^2 \left[ -K_2 H(a,b) - K_1 J(a,b) \right]$$
(B.56)

Pondo em evidência -K<sub>2</sub>I(a,b) nesta última expressão:

$$I_4 = -aK_2T_s^2I(a,b)\left[\frac{H(a,b)}{I(a,b)} + \frac{K_1}{K_2}\frac{J(a,b)}{I(a,b)}\right]$$
(B.57)

mas, como:

$$\frac{K_1}{K_2} = -\frac{K_2'}{K_1} = -\frac{\cos bT_s}{\sin bT_s}$$
 (B.58)

A solução da integral I4, fica:

$$I_4 = -aK_2T_s^2I(a,b)r(a,b)$$
 (B.59)

# 5 - Solução da Integral I<sub>5</sub>:

Esta integral pode ser escrita, segundo o apêndice A, da seguinte forma:

$$I_{5} = \frac{1}{2} \left\{ \int_{-T_{s}}^{0} f(\tau) \int_{-\tau}^{2T_{s} + \tau} p(\lambda) d\lambda + \int_{0}^{T_{s}} f(\tau) \int_{\tau}^{2T_{s} - \tau} p(\lambda) d\lambda \right\} d\tau$$
 (B.60)

onde:

$$f(\tau) = \frac{\operatorname{sen} a\tau}{\tau} \tag{B.61}$$

$$p(\lambda) = \cos[b\lambda + \phi] \tag{B.62}$$

Usando a seguinte igualdade trigonométrica:

$$cos(A+B)=cosA cosB - senA senB$$
 (B.63)

a expressão (B.62), fica:

$$p(\lambda) = \cosh \cosh \cosh - \sinh \sinh \sinh (B.64)$$

Resolvendo as integrais na variável λ, da expressão (B.60) obtem-se:

$$\int_{-\tau}^{2T_s + \tau} \cos[b\lambda + \phi] d\lambda = 2T_s[(K_1 \cos \phi + K_2 \sin \phi) \cos b\tau + (K_2 \cos \phi - K_1 \sin \phi) \sinh\tau]$$
 (B.65)

e:

$$\int_{\tau}^{2T_{s}-\tau} \cos[b\lambda + \phi] d\lambda = 2T_{s}[(K_{1}\cos\phi + K_{2}\sin\phi)\cos b\tau + (-K_{2}^{'}\cos\phi + K_{1}\sin\phi)\sinh\tau]$$
 (B.66)

onde as soluções dadas em (B.32), (B.33), (B.52) e (B.53) são utilizadas novamente aqui.

Substituindo as expressões (B.61-66) na equação (B.60), resulta:

$$I_{5} = 2T_{s} \left\{ (K_{1}\cos\phi + K_{2}\mathrm{sen}\phi) \int_{0}^{T_{s}} \frac{\mathrm{sena}\tau\cos b\tau}{\tau} d\tau - (K_{2}^{'}\cos\phi - K_{1}\mathrm{sen}\phi) \int_{0}^{T_{s}} \frac{\mathrm{sena}\tau\mathrm{sen}b\tau}{\tau} d\tau \right\}$$
 (B.67)

As integrais na variável τ achadas nos ítens anteriores, conduzem ao seguinte resultado:

$$I_{5} = aT_{s}^{2} \{ (K_{1} \cos \phi + K_{2} \sin \phi) H(a, b) - (K_{2} \cos \phi - K_{1} \sin \phi) J(a, b) \}$$
 (B.68)

Depois de isolar I(a,b) na última expressão, obtemos:

$$I_{5} = aT_{s}^{2}I(a,b)\left\{K_{1}\cos\phi\left[\frac{H(a,b)}{I(a,b)} - \frac{K_{2}^{'}}{K_{1}}\frac{J(a,b)}{I(a,b)}\right] + K_{2}\operatorname{sen}\phi\left[\frac{H(a,b)}{I(a,b)} + \frac{K_{1}}{K_{2}}\frac{J(a,b)}{I(a,b)}\right]\right\}$$
(B.69)

Finalmente, a solução da integral I5, pode ser escrita, como segue:

$$I_5 = aT_s^2 I(a,b) r(a,b) [K_1 \cos \phi + K_2 \sin \phi]$$
(B.70)

6 - Solução da Integral I<sub>6</sub>:

A integral I<sub>6</sub> pode ser escrita como segue:

$$I_{6} = \frac{1}{2} \left\{ \int_{-T_{s}}^{0} f(\tau) \int_{-\tau}^{2T_{s} + \tau} p(\lambda) d\lambda + \int_{0}^{T_{s}} f(\tau) \int_{\tau}^{2T_{s} - \tau} p(\lambda) d\lambda \right\} d\tau$$
 (B.71)

onde:

$$f(\tau) = \frac{\sin a\tau}{\tau} \tag{B.72}$$

$$p(\lambda) = \operatorname{sen}[b\lambda + \phi] \tag{B.73}$$

e utilizando a seguinte propriedade trigonométrica:

$$sen(A+B)=senA cosB + cosA senB$$
(B.74)

a expressão (B.73) fica:

$$p(\lambda) = \operatorname{senb} \lambda \, \cos \phi + \cos b \lambda \, \operatorname{sen} \phi$$
 (B.75)

Em seguida resolvem-se as duas integrais na variável λ, da expressão (B.71):

$$\int_{-\tau}^{2T_s+\tau} \operatorname{sen}[b\lambda + \phi] d\lambda = 2T_s[(-K_2 \cos\phi + K_1 \sin\phi) \cos b\tau + (K_1 \cos\phi + K_2 \sin\phi) \sin b\tau]$$
(B.76)

e:

$$\int_{-\tau}^{2T_s - \tau} \operatorname{sen}[b\lambda + \phi] d\lambda = 2T_s[(-K_2 \cos \phi + K_1 \operatorname{sen} \phi) \cos b\tau - (K_1 \cos \phi + K_2 \operatorname{sen} \phi) \operatorname{senb} \tau]$$
 (B.77)

Substituindo agora as equações (B.72-77) na equação (B.71), resulta:

$$I_6 = 2T_s \left\{ (-K_2 \cos \phi + K_1 \operatorname{sen} \phi) \int_0^{T_s} \frac{\operatorname{sena} \tau \cos b \tau}{\tau} d\tau - (K_1 \cos \phi + K_2' \operatorname{sen} \phi) \int_0^{T_s} \frac{\operatorname{sena} \tau \operatorname{senb} \tau}{\tau} d\tau \right\}$$
 (B.78)

Mas, as integrais na variável  $\tau$  desta última expressão foram solucionadas nos item anteriores, resultando neste caso:

$$I_{6} = aT_{s}^{2} \left[ (-K_{2}\cos\phi + K_{1}\sin\phi)H(a,b) - (K_{1}\cos\phi + K_{2}^{'}\sin\phi)J(a,b) \right]$$
 (B.79)

Isolando nesta última expressão a série de potências I(a,b), obtem-se:

$$I_{6} = aT_{s}^{2}I(a,b) \left\{ -K_{2}\cos\phi \left[ \frac{H(a,b)}{I(a,b)} + \frac{K_{1}}{K_{2}} \frac{J(a,b)}{I(a,b)} \right] + K_{1}\operatorname{sen}\phi \left[ \frac{H(a,b)}{I(a,b)} - \frac{K_{2}^{'}}{K_{1}} \frac{J(a,b)}{I(a,b)} \right] \right\}$$
(B.80)

Assim, a solução da integral I6, resulta:

$$I_6 = aT_s^2 I(a,b)r(a,b)[-K_2\cos\phi + K_1\sin\phi]$$
 (B.81)

Os resultados numéricos das integrais  $I_1$ ,  $I_3$  e  $I_4$  obtidos pelo software "MATHEMATICA V2.2" via estação de trabalho "SUN", resultaram numericamente iguais aos obtidos neste trabalho.

# APÊNDICE C

## TRANSFORMADA DE HILBERT

A transformada de Hilbert de uma função real x(t) sobre o intervalo  $-\infty < t < \infty$  é definida como [27]:

$$\hat{\mathbf{x}}(\mathbf{t}) = \mathbf{x}(\mathbf{t}) * \frac{1}{\pi \mathbf{t}} \tag{C.1}$$

$$= -\frac{1}{\pi} \int_{-\infty}^{\infty} \frac{x(t+\beta)}{\beta} d\beta \tag{C.2}$$

onde \* indica a operação convolução.

Também, o processo inverso é definido como:

$$x(t) = -\frac{1}{\pi} \int_{-\infty}^{\infty} \frac{\hat{x}(t+\beta)}{\beta} d\beta$$
 (C.3)

Em seguida mostram-se algumas propriedades:

a) Se 
$$x(t) = cos(\omega t + \phi)$$
 (C.4)

então 
$$\hat{x}(t) = sen(\omega t + \phi)$$
 (C.5)

b) Se 
$$x(t) = sen(\omega t + \phi)$$
 (C.6)

então 
$$\hat{x}(t) = -\cos(\omega t + \phi)$$
 (C.7)

c) A transformada de Fourier da função x(t) é:

$$\Im\{\hat{\mathbf{x}}(t)\} = -j\mathbf{X}(\mathbf{f})\operatorname{sign}(\mathbf{f}) \tag{C.8}$$

onde:

$$sign(f) = \begin{cases} 1; & se f > 0 \\ 0; & se f = 0 \\ -1; & se f < 0 \end{cases}$$
(C.9)

d) A transformada da transformada de Hilbert da função x(t) é:

$$\hat{\hat{\mathbf{x}}}(\mathbf{t}) = -\mathbf{x}(\mathbf{t}) \tag{C.10}$$

e) Se o sinal a(t) possui a transformada de Fourier A(f) de faixa limitada, isto é:

$$A(f) \begin{cases} \neq 0 & \text{para} |f| \leq W \\ = 0 & \text{caso contrário} \end{cases}$$
 (C.11)

então:

$$\hat{\mathbf{x}}(t) = [\mathbf{a}(t)\cos\omega_{\mathbf{c}}t] = \mathbf{a}(t)\sin\omega_{\mathbf{c}}t \tag{C.12}$$

$$\hat{y}(t) = [a(t) \sin \omega_c t] = -a(t) \cos \omega_c t$$
 (C.13)

onde:

$$f_c \gg W$$
 (C.14)

## Prova da expressão (C.12):

Reescrevendo a equação (C.12) têm-se:

$$x(t) = \frac{a(t)}{2}e^{j\omega_{c}t} + \frac{a(t)}{2}e^{-j\omega_{c}t}$$
 (C.15)

Aplicando a transformada de Fourier a esta última expressão:

$$X(f) = \int_{-\infty}^{\infty} \frac{a(t)}{2} e^{-j(\omega - \omega_{c})t} dt + \int_{-\infty}^{\infty} \frac{a(t)}{2} e^{-j(\omega + \omega_{c})t}$$
(C.16)

$$= \begin{cases} \frac{A(f - f_c)}{2} & \text{para } f \rangle 0 \\ \frac{A(f + f_c)}{2} & \text{para } f \langle 0 \end{cases}$$
 (C.17)

Usando a propriedade (c), neste caso, resulta:

$$\Im\{\hat{\mathbf{x}}(t)\} = \begin{cases} -\frac{1}{2} j \mathbf{A} (\mathbf{f} - \mathbf{f}_{c}) \operatorname{para} \mathbf{f} \rangle 0 \\ \frac{1}{2} j \mathbf{A} (\mathbf{f} + \mathbf{f}_{c}) \operatorname{para} \mathbf{f} \langle 0 \end{cases}$$
 (C.18)

Aplicando agora, a antitransformada de Fourier na expressão (C.18), obtem-se:

$$\hat{\mathbf{x}}(t) = \int_{f_c - W}^{f_c + W} \left[ -\frac{1}{2} j \mathbf{A} (\mathbf{f} - \mathbf{f}_c) \right] e^{j\omega t} d\mathbf{f} + \int_{-f_c - W}^{-f_c + W} \left[ \frac{1}{2} j \mathbf{A} (\mathbf{f} + \mathbf{f}_c) \right] e^{j\omega t} d\mathbf{f}$$
 (C.19)

Realizando um intercâmbio de variável para a primeira integral e ordenando, tem-se:

$$\hat{\mathbf{x}}(t) = \left[\frac{e^{j\omega_c t} - e^{-j\omega_c t}}{2j}\right] \int_{-W}^{W} \mathbf{A}(\mathbf{u}) e^{2\pi u t_{du}}$$
 (C.20)

Mas, a integral desta última expressão é a transformada inversa de Fourier de A(f). Logo:

$$\hat{\mathbf{x}}(\mathbf{t}) = \mathbf{a}(\mathbf{t}) \operatorname{sen} \boldsymbol{\omega}_{\mathbf{c}} \mathbf{t}$$
 cqd.

Da mesma forma prova-se a expressão (C.13).

Segundo a propriedade mostrada em (d), tem-se para a expressão (C.12):

$$[a(t) \sin \omega_c t] = -a(t) \cos \omega_c t$$
 (C.21)

f) Seja o processo estocástico de faixa estreita:

$$u(t) = x(t)\cos\omega_c t - y(t)\sin\omega_c t$$
 (C.22)

onde as densidades espectrais de x(t) e y(t) existem somente dentro da banda de passagem; então a transformada de Hilbert de u(t) resulta:

$$\hat{\mathbf{u}}(t) = \mathbf{x}(t)\operatorname{sen}\omega_{\mathbf{c}}t + \mathbf{y}(t)\operatorname{cos}\omega_{\mathbf{c}}t \tag{C.23}$$

que pode ser demostrado mediante a propriedade (e).

## APÊNDICE D

### **PROGRAMAS COMPUTACIONAIS**

Os programas computacionais listados neste apêndice foram escritos na linguagem BASIC e executados num computador de bolso [29], SHARP EL-5500 III.

a) O programa computacional utilizado para avaliar as séries de potências I(a,b), H(a,b) e J(a,b) dadas pela expressões (B.24), (B.38) e (B.44) respectivamente, está listado na Tabela D.1.

Neste trabalho utilizou-se 17 termos para as séries de potências, fornecendo assim uma precisão de 8 dígitos decimais.

c) A função cauda definida por:

$$Q(y) = \frac{1}{\sqrt{2\pi}} \int_{y}^{\infty} e^{-z^{2}/2} dz$$
 (D.1)

é a integral à direita, desde z=y até z=∞, da função Distribuição Normal ou Distribuição de Gauss [11], definida como:

$$\frac{1}{\sqrt{2\pi}} \int_{y}^{\infty} e^{-z^{2}/2} dz \tag{D.2}$$

Se y>>1 (y≥4), a função cauda Q(y), pode ser aproximada por:

$$Q(y) = \frac{1}{y\sqrt{2\pi}} e^{-y^{2}/2}$$
 (D.3)

O programa computacional para calcular o valor de y da equação (D.3), utilizando o método iterativo de Newton-Raphson [30], é listado na Tabela D.2. Neste programa utilizou-se os seguintes parâmetros:

$$y_0 = 4 \tag{D.4}$$

$$aproxim. = 1E-10 (D.5)$$

Na situação em que a variável y < 4, não podendo-se utilizar a aproximação dada pela expressão (D.3), utilizou-se tabelas estatísticas de Distribuição Normal [28] com o programa para interpolação linear listado na Tabela D.3.

# Tabela D.1 Programa computacional para as séries de potências I(a,b), H(a,b) e J(a,b).

```
1950: PRINT "Iterações Maximas=34"
1960: CLEAR:INPUT "Iterações=";C:D=-1:F=0
1970: INPUT"Ts=";T
1980: INPUT "a=";A
1990: INPUT "b=";B
2000: INPUT "Integral?I,H o J = ";P$
2010: IF P$<>"I" AND P$<>"H" AND P$<>"J" THEN 2000
2020: INPUT "Mostra?SoN=";G$
2030: IF G$<>"S" AND G$<>"N" THEN 2020
2040: FOR I=0 TO C
2050: D=-D
2060: IF P$ = "J" THEN LET K=1 : GOTO 2080
2070: K=0
2080:E=(EXP((2*I+K)*LN(T*ABS(A+B))))*(1+B/A)
2090: IF A=B THEN LET H=0: GOTO 2110
2100: H=(EXP((2*I+K)*LN(T*ABS(A-B))))*(1-B/A)
2110: IF P$="J" THEN LET K=-1:GOTO 2130
2120: K=1
2130: E=E+K*H
2140: IF P$="I" THEN LET U=(2*I+1) *(2*I+2)*FACT(2*I+1)
2150:IF PS="H"THEN LET U=(2*I+1)*FACT(2*I+1)
2160: IF P$="J" THEN LET U=(2*I+2)*FACT(2*I+2)
2170: E=E*D/U
2180: IF G$="N" THEN 2200
2190: PRINT P$;I; "="; E
2200: F=F+E
2210: NEXT I
2220: PRINT P$; "(a,b)"; F:GOTO 1960
```

# Tabela D.2 Programa computacional para a função Q(y).

```
890: CLEAR: PRINT "Função Q(y)"
```

920: F=A-(D/(E\*B))

930: IF C< ABS F THEN 960

940: PRINT "y=";B

950: END

960: D=(D/E)\*(1+1/B\*B)

970: B=B-(F/D)

980: GOTO 910

Tabela D.3 Programa computacional para interpolação linear.

```
1720: CLEAR: PRINT "Interpolação Px"
```

1730: INPUT "Ps=";A

1740: INPUT "y<sub>s</sub>=";C

1750: INPUT "P;=";B

1760: INPUT "y<sub>i</sub>=";D

1770: INPUT "P<sub>x</sub>=";E

1780: F=C-(C-D)\*(A-E)/(A-B)

1790: PRINT "y<sub>x</sub>=";F

1800: GOTO 1720

# REFERÊNCIAS BIBLIOGRÁFICAS

- [1] Ungerboeck, G., "Channel Coding with Multileval Phase Signals", *IEEE Transactions* on *Information Theory*, vol. IT-28, no 1, pp. 55-67, Janeiro 1982.
- [2] Ungerboeck, G., "Trellis Coded Modulation with Redundant Signals Sets, Part I: Introduction", *IEEE Communications Magazine*, vol. 25, nº 2, pp. 5-11, Fevereiro 1987.
- [3] Ungerboeck, G., "Trellis Coded Modulation with Redundant Signals Sets, Part II: State of the Art", *IEEE Communications Magazine*, vol. 25, nº 2, pp. 12-21, Fevereiro 1987.
- [4] Liskov, N. e Curtis, R., "Performance of Coherent Phase and Amplitude Digital Modulations with Carrier Recovery Noise", *IEEE Transactions on Communications*, vol. COM-35, nº 9, pp. 972-976, Setembro 1987.
- [5] Benedetto, S. e Poggiolini, P., "Performance Evaluation of Multilevel Polarization Shift Keying Modulation Schemes", *Electronics Letters*, vol. 26, nº 4, pp. 244-246, Fevereiro 1990.
- [6] Betti, S., Curti, F., de Marchis, G. e Iannone E., "A Novel Multilevel Coherent Optical System: 4 Quadrature Signaling", *Journal of Lightwave Technology*, vol. 9, nº 4, pp. 514-523, Abril 1991.
- [7] Cusani, R., Iannone E., Salonico, A.M. e Todaro, M., "An Efficient Multilevel Coherent Optical System: M-4Q-QAM", *Journal of Lightwave Technology*, vol. 10, nº 6, pp. 777-786, Junho 199.
- [8] Shara, D. e Birdsall, T.G., "Quadrature Quadrature Phase-Shift Keying", *IEEE Transactions on Communications*, vol. 37, no 5, pp. 437-448, Maio 1989.
- [9] Proakis, J.G., Digital Communications, McGraw-Hill, 1989.
- [10] Schwartz, M., Bennett, W.R. e Stein, S., Communication System and Techniques, McGraw-Hill, 1966.

- [11] Feher, K., Digital Communications Satellite/Earth Station Engineering, Prentice-Hall, 1983.
- [12] Papoulis, A., Probability, Random Variables, and Stochastic Processes, McGraw-Hill, 1991.
- [13] Shu Lin, D. e Costello Jr., D., Error Control Coding: Fundamentals and Applications. Prentice-Hall, 1983.
- [14] Massey, J.L., "Coding and Modulation in Digital Communications", Proc. 1974 Int. Zurich Seminar on Digital Communication, Zurich, Switzerland, pp. E2(1)-(4), Março 1974.
- [15] Lee-Fang Wei, "Rotationally Invariant Convolutional Channel Coding with Expanded Signal Space Part I: 180 Degrees", *IEEE Trans. Selected Areas in Communication*, vol. SAC-2, pp. 659-672, Setembro 1984.
- [16] Lee-Fang Wei, "Rotationally Invariant Convolutional Channel Coding with Expanded Signal Space Part II: Nonlinear Codes", IEEE Trans. Selected Areas in Communication, vol. SAC-2, pp. 672-686, Setembro 1984.
- [17] Divsalar, D. e Simon, M.K., "Combined Trellis Coding with a Symmetric Modulation", in *Proc. GLOBECOM'85*, pp. 21.2.1-21.2.7.
- [18] Benedetto, S. Marsan, M.A., Albertengo, G. e Giachin, E., "Combined Coding and Modulation: Theory and Applications", *IEEE Transactions on Information Theory*, vol. 34, nº 2, pp. 223-236, Março 1988.
- [19] Lee-Fang Wei, "Trellis-Coded Modulation with Multidimensional Constellations", *IEEE Transactions on Information Theory*, vol. IT-33, nº 4, pp. 483-501, Julho 1987.
- [20] Wolf, J.K. e Padovani, R., "A Generalization of Ungerboeck Codes", Second Joint Swedish - Soviet International Workshop on Information Theory, Gräna, Sweden, pp. 231-238, Abril 1985.
- [21] Baldini Fo, R. e Farrell, P.G., "Coded Modulation Based on Rings of Integers Modulo-q Part 2: Convolutional Codes", *IEE Proc. Communications*, vol. 141, no 3, pp. 137-142, Junho 1994.

- [22] Cusak, E.L., "Error Control Codes for QAM Signalling", *Electron. Lett.*, vol. 20, pp. 62-63, Janeiro 1984.
- [23] Sayegh, S.I., "A Class of Optimum Block Codes in Signal Space", *IEEE Transactions on Communications*, vol. COM-34, nº 10, pp. 1043-1045, Outubro 1986.
- [24] Williams, R.G.C., "Low Complexity Block Coded Modulation", Ph.D Thesis, University of Manchester, Agosto 1988.
- [25] Baldini F<sup>o</sup>, R. e Farrell, P.G., "Coded Modulation Based on Rings of Integers Moduloq Part 1: Block Codes", *IEE Proc. Communications*, vol. 141, n<sup>o</sup> 3, pp. 129-136, Junho 1994.
- [26] Forney Jr., G.D., Gallager, R.G., Lang, G.R., Longstaff, F.M. e Qureshi, S.U., "Efficient Modulation for Band-Limited Channels", *IEEE Journal on Selected Areas in Communications*, vol. SAC-2, no 5, pp. 632-647, Setembro 1984.
- [27] Whalen, A.D., Detection of Signals in Noise, Academic Press, 1971.
- [28] Spiegel, M.R., Manual de Fórmulas e Tabelas Matemáticas. McGraw-Hill, 1973.
- [29] Sharp, Scientific Computer EL-5500 III Operational Manual, Sharp Corporation.
- [30] Albrecht, P., Análise Numérico. Um Curso Moderno, Série Ciência de Computação, Rio de Janeiro GB/Brasil, 1973.